



ILMATIEEN LAITOS  
METEOROLOGISKA INSTITUTET  
FINNISH METEOROLOGICAL INSTITUTE

RAPORTTEJA  
RAPPORTER  
REPORTS  
2015:1

SALAMAHAVAINNOT 2014  
LIGHTNING OBSERVATIONS IN  
FINLAND, 2014

ANTTI MÄKELÄ  
TERHI LAURILA

RAPORTTEJA  
RAPPORTER  
REPORTS

No. 2015:1                    551.506.1 (480)  
                                  551.594.221

SALAMAHAVAINNOT 2014

LIGHTNING OBSERVATIONS IN FINLAND, 2014

Antti Mäkelä  
Terhi Laurila

Ilmatieteen laitos  
Meteorologiska institutet  
Finnish Meteorological Institute

Helsinki 2015

ISBN 987-951-697-856-0  
ISSN 0782-6079 (Raportteja – Rapporter – Reports)  
ISSN 1235-1466 (Salamahavainnot –  
Lightning Observations in Finland)

Julkaisija  Ilmatieteen laitos <i>Erik Palménin aukio 1</i> PL 503 00101 Helsinki	Julkaisusarjan nimi ja numero  Raportteja 2015:1	
	Julkaisuaika  Elokuu 2015	
Tekijä(t)  Mäkelä, Antti Laurila, Terhi	Projektin nimi  Toimeksiantaja	
Nimeke  Salamahavainnot 2014		
Tiivistelmä  <i>Ilmatieteen laitos on koottu ja julkaisut salamanlaskijoiden havainnot vuosilta 1960–1997. Vuodesta 1998 lähtien kaikki järjestelmälliset maasalamahavainnot perustuvat salamanpaikantimeen, jonka nykyinen malli aloitti toimintansa elokuussa 1997. Se käsitti 2014 kahdeksan anturia, pohjoisin Lokassa. Vuodesta 2002 mukana ovat olleet lisäksi Norjan ja Ruotsin anturit, joiden ansiosta koko Lappi on katettu ja suorituskyky on parantunut myös muualla Suomessa, sekä yksi anturi Virossa (mukaan vuonna 2005) ja kolme anturia Liettuassa (mukaan 2014). Laitteisto paikantaa maasalamoista erikseen jokaisen osaiskun ja ryhmittelee ne kokonaaksi salamoiksi. Paikannettu salama voi sisältää 1–15 iskua; keskiarvo Suomessa on vajaa kaksi iskua/salama. Tilastoinnin pohjana käytetään salama- eikä iskumääriä, koska salama on ilmastollisesti edustavampi suure. Kesän 2014 aikana paikannettiin Suomen alueella noin 200 000 maasalamaa, mikä on selvästi yli keskimääräisen (138 000). Kuukausista touko-, heinä- ja elokuu ylsvivät salamoinniltaan yli keskimääräisen, kesäkuussa salamointi oli vähäistä.</i>		
Julkaisijayksikkö  Tutkimus ja kehitys / Ilmastokeskus		
Luokitus 551.506.1 : 551.594.221 (480)	Avainsanat salama, salamanpaikannin, ukkonen	
ISSN ja avainnimeke ISSN 0782-6079 Raportteja, ISSN 1235-1466 Salamahavainnot		
Kieli suomi – englanti	ISBN ISBN 978-951-697-856-0	
Myynti <i>Ilmatieteen laitos</i> PL 503 00101 Helsinki e-mail: <a href="mailto:kirjasto@fmi.fi">kirjasto@fmi.fi</a>	Sivumäärä 47	Hinta
	Yhteydet p. 029 539 4166, f. –3146 e-mail: <a href="mailto:antti.makela@fmi.fi">antti.makela@fmi.fi</a>	

Published by	Series title and number	
Finnish Meteorological Institute P.O. Box 503 FIN-00101 Helsinki Finland	Reports 2015:1	
Author(s)	Date	
Mäkelä, Antti Laurila, Terhi	August 2015	
Title	Name of project	
Lightning Observations in Finland, 2014		
Abstract		
<i>The Finnish Meteorological Institute has collected and published lightning flash counter results in 1960-1997. Since 1998, all systematic ground lightning observations are based on the location system, the present model of which started its operation in August 1997. In 2014 it had eight ground-lightning sensors, which cover the country. In 2014, the Norwegian and Swedish sensors were also connected, completing the coverage up to the north and also improving the performance in other parts of Finland. Also, one sensor in Estonia was connected as well as three sensors in Lithuania. The system locates separately every stroke and groups them into whole flashes. A located flash may contain 1-15 strokes; the mean in Finland is about two strokes per flash. The statistics are based on flashes rather than strokes because the flash is a more appropriate climatic quantity. In summer 2014, a total of about 200,000 ground flashes were located within Finland's borders, which is largely above the average (138,000). The monthly flash numbers in May, July and August were above the average; in June the activity was low.</i>		
Publishing unit		
Research and Development / Climate Service Centre		
Classification (UDC) 551.506.1 : 551.594.221 (480)	Keywords lightning, lightning location system, thunder	
ISSN and key name ISSN 0782-6079 Reports ISSN 1235-1466 Lightning Observations in Finland		
Language Finnish – English	ISBN ISBN 978-951-697-856-0	
Sold by Finnish Meteorological Institute P.O. Box 503 FIN-00101 Helsinki, Finland e-mail: <a href="mailto:kirjasto@fmi.fi">kirjasto@fmi.fi</a>	Pages 47	Price
	Contact p. 029 539 4166, f. -3146 e-mail: <a href="mailto:antti.makela@fmi.fi">antti.makela@fmi.fi</a>	

**Sisällyss****Contents**

	p.		
1 Johdanto	7	1	Introduction
2 Salamahavaintojen yhteenvetö 2014	13	2	Summary of lightning observations in 2014
3 Kesän 2014 tärkeimmät ukkosjaksot	23	3	Main thunderstorm periods in summer 2014
4 Salamoiden kerrannaisuudet ja voimakkuudet	31	4	Flash multiplicities and strengths
5 Salama- ja iskutihedyt vuosina 1960 – 2014	33	5	Flash and stroke densities in 1960 – 2014
Lähdeviitteet	35		References
Liite 1: Salamanpaikannin	38		Appendix 1: Lightning location system
Liite 2: Ukkosten pitkän jakson tilastot	40		Appendix 2: Long-period time series of thunderstorms
Liite 3: Salamatilheys	41		Appendix 3: Flash density



## 1 Johdanto

Suomessa käytettiin vuodesta 1959 lähtien salamanlaskijoita, joiden tulokset julkaistiin vuodesta 1960 alkaen. Laskijoita oli vuoteen 1988 toiminnassa 50-60 kpl kesäisin (touko-syyskuu); vuosina 1989-97 laskijatuloksia kerätettiin vain Lapista. Salamanlaskijan rakenne on kuvattu ja vuotta 1984 edeltävät salamanlaskijaselosteet lueteltu ensimmäisessä Salamahavainnot-julkaisussa. Salamahavainnot ennen vuotta 2006 ovat ilmestyneet sarjassa Geofysikaalisia julkaisuja; luettelo on tämän kirjan lopussa ennen Raportteja-luetteloa.

Vuonna 1984 hankittiin Ilmatieteen laitokselle automaattinen maasalamanpaikannin (ks. Salamahavainnot 1997), joka korvattiin vuonna 1997 samalta valmistajalta hankitulla uudella paikantimella (liite 1). Siitä käytetään alkuperäisen anturityypin mukaisesti tässä nimitystä IMPACT. Vuonna 2001 hankittiin myös Lounais-Suomen kattava SAFIR-pilvisalamanpaikannin, joka toimi aluksi koekäytössä. Elokuussa 2004 IMPACT-verkon keskusyksikkö vaihdettiin uuteen CP8000-yksikköön, joka vastaanotti myös SAFIR-anturien tiedot. Vuodesta 2011 alkaen SAFIR-järjestelmä ei ole ollut käytössä, koska liian moni sen antureista hajosi, eikä varaosia ollut enää kaupallisesti saatavilla.

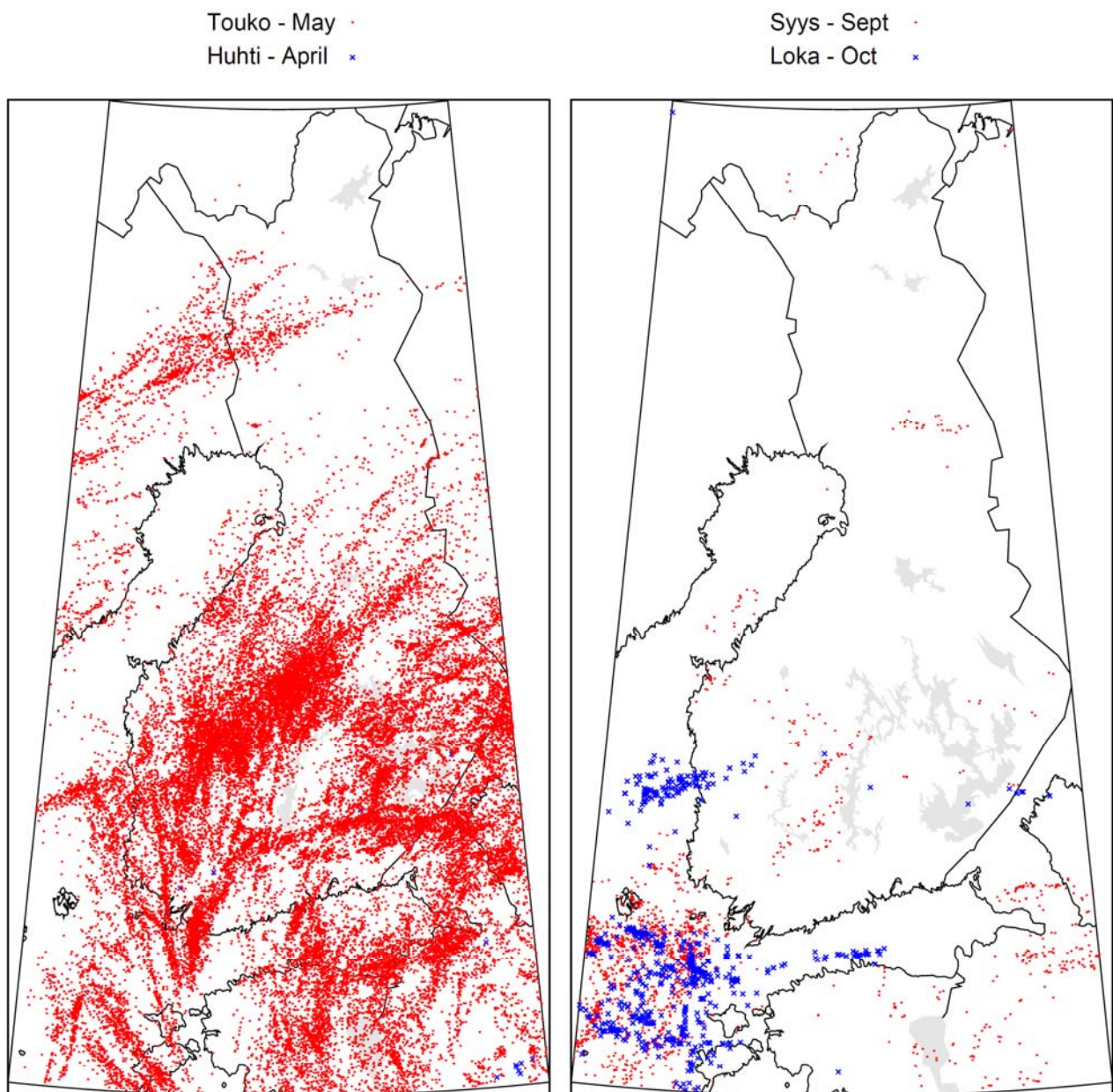
Vuodesta 2001 alkaen salamanpaikan-nusta on tehty yhteistyössä Norjan, Ruotsin (v. 2002 alkaen), Viron (v. 2005 alkaen), ja Liettuan (v. 2014 alkaen) kanssa. Yhteistyön tuloksena on muodostunut pohjoismainen NORDLIS-havaintoverkko (kuva 34 julkaisun lopussa). Vaikka jokaisella maalla onkin periaatteessa edelleen oma kansallinen verkonsa, käytännössä on mielekästä puhua vain NORDLIS-verkosta, sillä ilman yhteistyötä kunkin

## 1 Introduction

Lightning flash counters were used in Finland since 1959 and the results were published since 1960. Until 1988 the number of counters was 50-60, and in 1989-97, only northern Finland was covered by a counter network. The normal season was from May to September. A description of the counters and a list of publications before 1984 are given in the first issue of Lightning Observations. All issues before 2006 have appeared in the series Geophysical Publications, listed at the end of this issue before the Reports list.

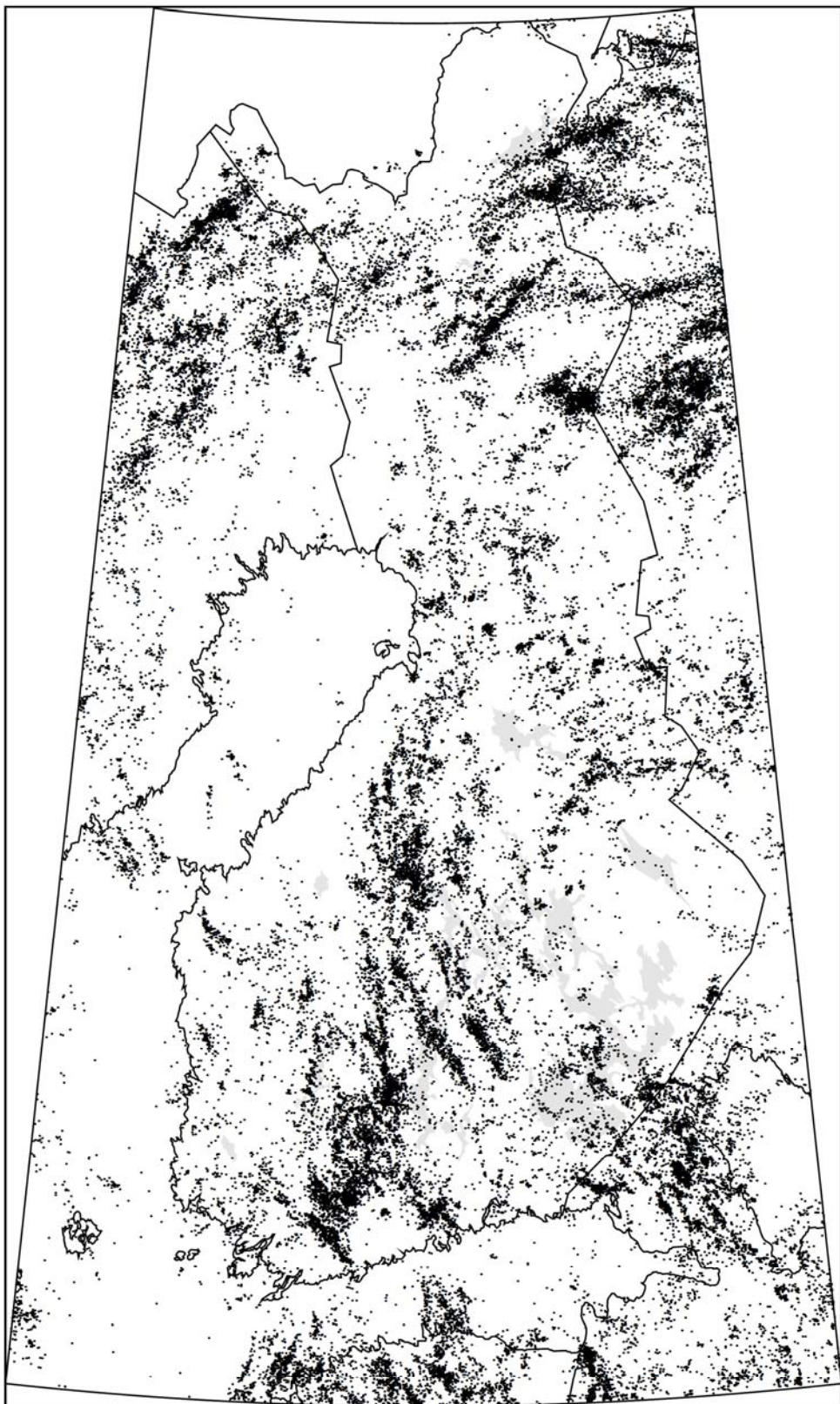
In 1984, the Finnish Meteorological Institute (FMI) set up an automatic ground lightning location system (see Lightning Observations 1997), which in 1997 was replaced by a new system supplied by the same manufacturer (Appendix 1). It is called here IMPACT according to the original sensor type. In 2001, a SAFIR cloud lightning location system was installed to cover SW Finland, first for test use. In August 2004, the IMPACT network was furnished by a new CP8000 central unit, which received also the SAFIR sensor data. Since 2011, the SAFIR network has not been operated anymore, because too many its sensors broke down and spare parts were no longer commercially available.

Since 2001, lightning location at FMI has been done in cooperation with Norway, Sweden (since 2002), Estonia (since 2005), and Lithuania (2014); this NORDLIS (Nordic Lightning Information System, see Fig. 34 at the end of this report) network locates ground flashes all around the Nordic countries. Although each of the participating countries still have their national networks, it is practical to discuss only about the whole combined

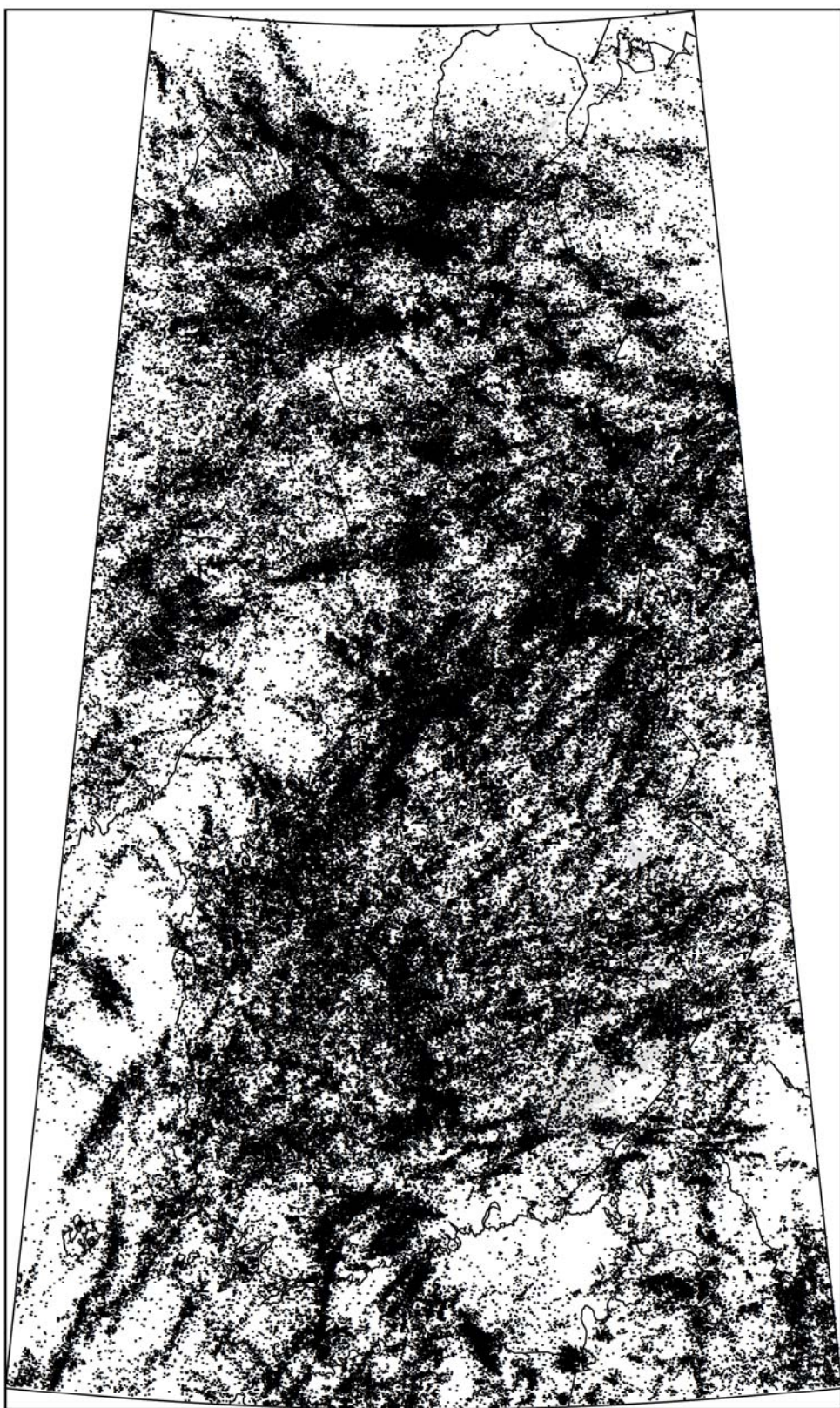


Kuva 1. Vasen: Huhti- (x) ja toukokuun (.) 2014 paikannetut salamat, yhteensä 12 ja 41 248 kpl.  
Oikea: Syys- (.) ja lokakuun (x) 2014 paikannetut salamat, yhteensä 1751 ja 599 kpl.

*Fig. 1. Left: Located flashes in April (x) and May (.) 2014. Totals are 12 and 41,248.  
Right: Located flashes in September (.) and October (x) 2014. Totals are 1751 and 599.*

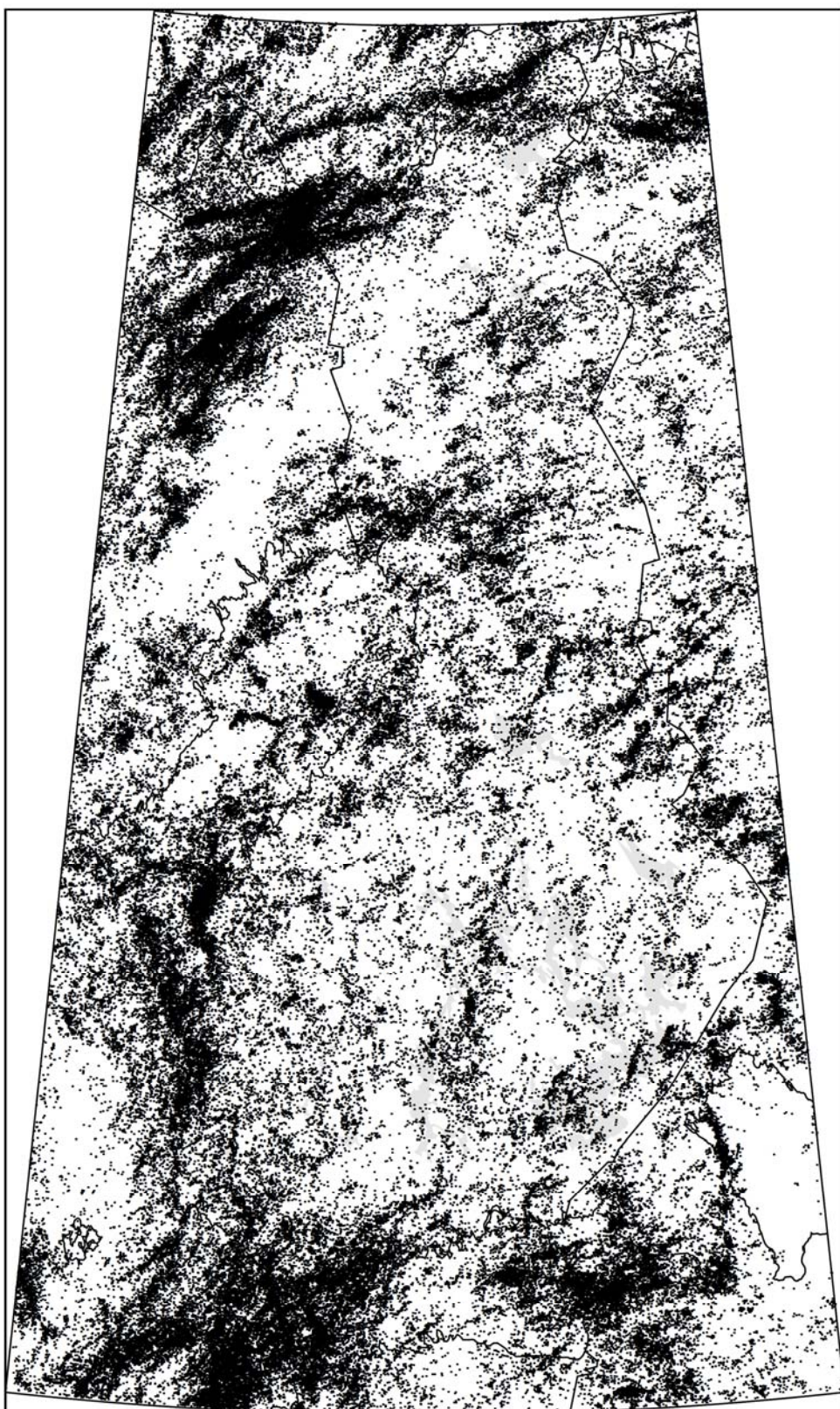


Kuva 2. Kesäkuun 2014 paikannetut maasalamat, yhteensä 52 339 kpl.  
*Fig. 2. Located ground flashes in June 2014. Total number is 52,339.*



Kuva 3. Heinäkuun 2014 paikannetut maasalamat, yhteensä 355 554 kpl.

*Fig. 3. Located ground flashes in July 2014. Total number is 355,554.*



Kuva 4. Elokuun 2014 paikannetut maasalamat, yhteensä 180 824 kpl.

*Fig. 4. Located ground flashes in August 2014. Total number is 180,824.*

jäsenmaan paikannuksen tehokkuus olisi varsin heikkoa: yhteistyön ansiosta sen sijaan havaintoalue on laaja ja paikannustarkkuus ja havaintotehokkuus ovat parantuneet huomattavasti koko alueella.

NORDLIS-verkon rakenne on seuraavankinainen: kunkin jäsenmaan anturisanomat lähtevät Norjan, Ruotsin ja Suomen keskusyksiköille, jotka prosessoivat paikannukset itsenäisesti. Nämä siis esimerkiksi mahdolliset ongelmat yhden jäsenmaan keskusyksikössä eivät vaikuta naapurimaiden paikantimen toimintaan. NORDLIS-verkossa oli vuonna 2014 käytössä yli 30 anturia (kuva 34).

Järjestelmä paikantaa erikseen salaman jokaisen osaiskun. Tässä julkaisussa kuitenkin tilastoidaan (maa)salamat, sillä salamamääriä on ilmastollisena suureena parempi ja laajemmin käytetty kuin osaiskujen määriä. Salaman aika, paikka, napaisuus ja voimakkuus viittaavat sen ensimmäiseen (tai ainoaan) osaiskuun. Iskumääri ilmaistaan kerrannaisuudella. Osaiskujen ja salamoiden lukumäärien suhdetta käsitellään luvussa 4.

Salamahavaintojen yhteenvetö vuodelta 2014 on luvussa 2. Luvussa 3 kuvataan paikannustulosten perusteella kesän ukkosjaksoja. Muita paikantimen antamia tuloksia (salamoiden huippuvirta, napaisuus ja kerrannaisuus) esitetään luvussa 4.

Luvussa 5 tehdään yhteenvetö kaikista salamamäärämittauksista 1960-2014 korjattuna salamatiheyksiksi. Lisäksi esitetään keskiarvot maasalamoiden alueellisesta ja päivittäisestä jakautumisesta jaksolta 1998-2014. Samoin tehdään selkoaa viime vuosien voimakkaimmista ukkosista.

network; without the cooperation, the performance of lightning location in each of the countries would be dramatically poorer than with the present collaboration.

The composition of NORDLIS is the following: sensor reports from each country are transmitted to all national central processors in Norway, Sweden and Finland, and lightning data is then processed individually by each central processor. This way each country obtains better performance but is still independent from other countries. The total number of NORDLIS sensors in 2014 was more than 30 (Fig. 34).

The lightning location system locates separately each stroke. In this publication, however, the basis of the statistics is *flash*, because it is a more appropriate and widely used climatic quantity. The time of occurrence, position, polarity and peak current of a flash are those of its first (or only) stroke. The number of strokes is expressed as the multiplicity. The relation between the numbers of strokes and flashes is discussed in Chapter 4.

The lightning observations in 2014 are summarized in Chapter 2. In Chapter 3, the thunderstorm periods are described in terms of the location results. Other results (the peak current, polarity and multiplicity of flashes) are given in Chapter 4.

Chapter 5 summarizes all lightning detection data, as corrected flash densities, for 1960-2014. In addition, the average spatial and daily distributions of the ground flashes are presented for 1998-2014. Also, the occurrence of extremely violent thunderstorms in recent years is reported.

Salamahavainnot-vuosikirjoissa ei tilastoida pilvisalamoita, vaikka salamanpaikannin havaitsee niitäkin.

Salamanpaikannustuloksia on myös Ilmatieteen laitoksen verkkosivuilla ([ilmatieteenlaitos.fi](http://ilmatieteenlaitos.fi)). Ukkosista on ilmestynyt suomenkielinen yleisteos (Tuomi & Mäkelä 2009).

## 2 Salamahavaintojen yhteenvetö 2014

Salamanpaikantimen tulokset voidaan esittää karttoina, joihin jokainen paikannettu osaisku tai salama on merkitty erikseen (kuvat 1-4). Karttojen salamamäärit riippuvat tietysti käytetystä kartta-alueesta, ja muiden pohjoismaisten anturien mukaantulo on lisännyt Suomen ulkopuolisia paikannuksia. Tästä syystä tekstissä mainitaan vain Suomen alueen (paitsi avomerien) paikannetut maasalamamäärit, ellei toisin mainita.

Tilastoitaessa alueellista jakautumista kannattaa paikannetut pistet voidaan sopiaalle karttaruudukolle. Peruskarttaruudukko (ruutukoko  $10 \times 10 \text{ km}^2$ ) on vuosikirjatason esityksessä tarpeettoman tarkka ja ruutujen lukumääriä on suuri. Yleismaastokartat (mittakaava 1:50 000) perustuvat yleislehtijäon mukaisiin noin  $30 \text{ km} \times 40 \text{ km}$  lehtiin, joille tässä käytetään nimitystä *paikalliskarttaruutu*. Yleislehtijäosta poiketen kaikkien ruutujen leveys tässä on 0,75 pituusastetta (42-29 km) ja ala vastaavasti noin  $1260-860 \text{ km}^2$ , mutta niille käytetään samaa nelinumeroina numeroointia. Ainakaan toistaiseksi ei käytetä uutta ETRS-TM35FIN-järjestelmää (Julkisen hallinnon suositus JHS 154), jonka ruudukko koostuu  $3 \text{ km} \times 3 \text{ km}$  yksiköistä; perusnelioni sivu olisi joko 24 tai 48 km, eli jako olisi selvästi hienompi tai karkeampi kuin nyt käytetty.

In Lightning Observations, statistics on cloud flashes are not presented, although they are detected to some extent.

Lightning location results are also given (in Finnish) on the web pages of FMI ([www.fmi.fi](http://www.fmi.fi)). A recent popular-level book on lightning has appeared in Finnish (Tuomi & Mäkelä 2009).

## 2 Summary of lightning observations in 2014

The strokes or flashes detected by the lightning location system can be presented as separate dots on a map (Figs. 1-4). The numbers of flashes on a map depend, of course, on the displayed area, and the contribution from other Nordic sensors has increased the locations outside Finland. For this reason, in the text the numbers of ground flashes refer only to those located within contiguous Finland, unless reported otherwise.

For a statistical evaluation of spatial variations, located points should be distributed on a grid of suitably sized areas. The basic map-square grid (square size  $10 \times 10 \text{ km}^2$ ) is unnecessarily accurate for a yearbook level and the number of squares is large. General topographic maps (scale 1:50,000) are based on sheets of about  $30 \text{ km} \times 40 \text{ km}$  size, which are called here *local map squares*. Unlike the squares used in the map sheet system, here the width of all squares is 0.75 degrees of longitude (42-29 km) and the areas are respectively about  $1260-860 \text{ km}^2$ , but the same four-digit numbering will be used. So far, the new map system ETRS-TM35FIN will not be used; the maps are built from units of  $3 \text{ km} \times 3 \text{ km}$ , and a basic square needed here would have its side either 24 or 48 km, i.e. the grid would be clearly finer or coarser than that presently used.

Taulukko 1. Paikannetut salamat ja ukkospäivät 4-numeroisilla karttaruuuduilla 2014.

Table 1. Numbers of located flashes and thunder days on 4-digit map squares in 2014.

No	km <sup>2</sup>	May	Jun	Jul	Aug	Sep	Total	May	Jun	Jul	Aug	Sep	Tot
2011 Hanko	1257	359	17	74	608	1	1062	2	3	6	13	1	27
2013 Jussarö	1257	83	13	271	628	0	995	1	4	4	13	0	22
1012 Mariehamn	1247	1	9	53	66	13	145	1	1	5	6	2	17
1014 Föglö	1247	13	1	246	90	38	392	2	1	8	10	2	25
1032 Korppoo	1247	60	4	179	339	50	635	1	1	5	12	2	23
1034 Nauvo	1247	147	12	129	328	18	634	2	2	8	12	2	26
2012 Kemiö	1247	272	25	194	532	4	1027	1	4	7	12	1	25
2014 Tammisaari	1247	165	20	350	533	0	1068	1	3	7	13	0	24
2032 Espoo	1247	12	63	196	651	0	922	2	4	6	15	0	27
2034 Helsinki	1247	26	8	548	167	0	749	4	3	5	11	0	23
1021 Geta	1237	0	12	47	33	20	112	0	2	6	6	2	16
1023 Kumlinge	1237	21	2	155	60	5	244	3	2	7	10	1	24
1041 Iniö	1237	77	9	260	218	7	571	1	3	6	12	1	23
1043 Turku	1237	121	49	192	238	0	601	2	3	9	13	0	28
2021 Salo	1237	57	35	78	308	0	478	3	4	7	14	0	28
2023 Suomusj.	1237	223	197	518	289	0	1227	2	6	7	15	0	30
2041 Lohja	1237	17	116	390	375	0	898	2	6	8	14	0	30
2043 Kerava	1237	27	9	787	285	0	1108	5	3	6	12	0	26
3021 Porvoo	1237	131	55	100	111	0	397	5	3	5	11	0	24
3023 Kotka	1237	20	5	10	132	0	167	4	5	5	5	0	19
1042 Vehmaa	1226	62	13	298	195	8	576	2	1	8	14	2	27
1044 Mynämäki	1226	125	37	264	239	5	670	2	3	6	12	1	24
2022 Marttila	1226	94	94	116	316	0	621	2	5	8	10	0	26
2024 Somero	1226	93	199	246	125	1	665	2	5	8	11	1	28
2042 Karkkila	1226	87	315	619	86	0	1108	2	5	9	10	0	27
2044 Hyvinkää	1226	38	131	705	173	0	1047	2	4	9	8	0	23
3022 Lapinjärvi	1226	50	173	130	117	0	470	3	6	7	9	0	25
3024 Anj.koski	1226	32	41	34	77	0	184	3	3	6	9	0	21
3042 Hamina	1226	9	15	67	139	0	231	3	3	6	7	0	20
1131 Uusikaup.	1216	83	13	194	207	6	503	3	3	10	11	2	29
1133 Yläne	1216	92	22	265	183	0	562	2	3	9	12	0	26
2111 Loimaa	1216	287	47	493	163	0	990	2	5	10	10	0	27
2113 Forssa	1216	86	60	358	116	6	626	3	4	8	9	2	26
2131 Hämeenl.	1216	210	239	226	34	7	716	2	7	9	7	1	26
2133 Kärkölä	1216	91	131	211	37	1	471	3	6	9	8	1	27
3111 Lahti	1216	155	25	265	89	0	534	2	6	7	8	0	23
3113 Kouvolan	1216	124	34	279	63	0	500	2	4	6	8	0	20
3131 Luumäki	1216	87	28	126	135	0	376	3	3	8	6	0	20
3133 Ylämaa	1216	62	64	121	50	0	297	5	5	7	8	0	25
1132 Rauma	1206	76	10	275	276	0	637	3	2	8	14	0	27
1134 Kokemäki	1206	144	30	423	207	0	804	2	3	8	11	0	24
2112 Huittinen	1206	163	5	537	139	0	844	3	2	9	9	0	23
2114 Toijala	1206	107	68	517	93	7	792	2	8	10	10	2	32
2132 Hauho	1206	296	285	305	72	2	960	2	5	11	9	1	28
2134 Lamm	1206	229	118	753	20	6	1126	3	9	8	5	1	26
3112 Heinola	1206	123	17	425	49	0	614	4	6	11	7	0	28
3114 Jaala	1206	195	36	412	96	0	739	2	4	8	8	0	22
3132 Savitaip.	1206	156	29	430	166	0	781	2	5	8	8	0	23
3134 Lappeenr.	1206	299	68	245	111	0	723	4	5	9	7	0	25
4112 Imatra	1206	338	89	354	16	0	797	6	8	6	5	0	25
1141 Luvia	1195	126	25	181	468	0	801	3	2	4	15	0	25
1143 Pori	1195	142	15	500	174	0	831	3	5	8	11	0	27
2121 Vammala	1195	181	11	345	144	0	682	3	6	9	11	0	30
2123 Tampere	1195	118	73	324	106	0	621	2	6	11	8	0	27

2141	Kangasala	1195	107	187	265	93	14	666	2	7	9	9	1	28
2143	Padasjoki	1195	53	318	519	29	5	924	3	7	9	8	1	28
3121	Sysmä	1195	40	25	805	96	0	966	3	5	12	8	0	28
3123	Mäntyharju	1195	127	29	172	76	0	404	4	4	9	5	0	22
3141	Ristiina	1195	363	43	211	155	0	773	4	8	9	7	0	29
3143	Puumala	1195	263	65	117	173	0	618	4	5	10	11	0	30
4121	Ruokolahti	1195	179	111	43	57	0	391	3	7	9	6	0	26
4123	Parikkala	1195	217	220	82	115	0	634	4	6	8	6	0	24
1142	Ahlainen	1185	125	13	248	461	0	874	3	6	5	13	0	29
1144	Pomarkku	1185	169	25	521	250	0	968	2	4	8	12	0	28
2122	Ikaalinen	1185	269	11	372	87	0	739	2	4	9	9	0	24
2124	Teisko	1185	128	73	434	98	2	735	2	4	10	9	1	26
2142	Orivesi	1185	109	47	258	95	0	509	2	6	9	8	0	25
2144	Kuhmoinen	1185	48	163	515	65	6	797	2	6	11	8	1	28
3122	Joutsa	1185	6	142	510	139	0	798	2	5	10	10	0	28
3124	Hirvens.	1185	139	113	323	80	0	655	3	4	11	6	0	24
3142	Mikkeli	1185	132	40	187	48	0	407	4	8	11	7	0	30
3144	Sulkava	1185	239	133	170	94	0	636	4	3	13	7	0	27
4122	Pihl.vesi	1185	38	43	238	114	0	433	4	4	11	7	0	26
4124	Punkaharju	1185	95	25	135	176	3	439	4	4	10	9	0	29
1231	Merikarvia	1175	91	18	94	435	0	643	3	2	5	12	0	24
1233	Honkajoki	1175	62	23	255	152	0	495	2	2	9	12	0	27
2211	Parkano	1175	302	56	383	103	0	847	2	9	10	8	0	30
2213	Kuru	1175	276	87	413	117	3	896	2	5	10	8	1	26
2231	Mänttä	1175	274	132	313	101	8	828	2	5	8	7	1	23
2233	Jämsä	1175	102	126	529	46	12	815	2	4	12	8	1	27
3211	Korpilahti	1175	19	136	508	205	0	868	3	3	10	10	0	26
3213	Kangasn.	1175	26	177	279	87	3	572	3	4	11	8	0	27
3231	Haukivuori	1175	166	23	355	11	0	555	4	6	12	5	0	27
3233	Juva	1175	287	43	240	30	2	602	4	3	13	6	0	27
4211	Savonlinna	1175	127	27	397	57	0	608	4	2	11	8	0	25
4213	Kerimäki	1175	58	3	610	121	0	793	6	3	12	9	0	31
4231	Kitee	1175	95	31	270	133	0	529	5	3	10	6	0	24
1232	Kristiina	1164	56	1	127	518	0	702	2	1	7	13	0	23
1234	Isojoki	1164	71	8	245	175	0	499	2	2	12	12	0	28
2212	Karvia	1164	318	47	302	127	0	795	2	6	11	10	0	30
2214	Virrat	1164	596	66	533	79	1	1275	2	5	11	5	1	24
2232	Keuruu	1164	456	58	391	110	3	1018	2	4	11	9	1	27
2234	Petäjävesi	1164	219	130	747	41	7	1145	3	3	10	5	1	23
3212	Jyväskylä	1164	94	76	414	68	6	658	3	5	10	7	1	26
3214	Hankasalmi	1164	13	75	361	174	0	623	5	5	11	9	0	30
3232	Pieksämäki	1164	130	12	385	15	0	542	5	6	13	2	0	26
3234	Varkaus	1164	160	18	326	30	0	534	4	2	14	6	0	26
4212	Savonranta	1164	53	3	286	55	0	397	4	1	13	8	0	26
4214	Rääkkylä	1164	112	0	339	16	0	467	6	0	12	5	0	23
4232	Tohmajärvi	1164	149	41	377	39	0	606	5	1	10	5	0	21
1241	Kaskinen	1154	25	7	210	290	0	532	1	2	6	14	0	23
1243	Kauhajoki	1154	57	41	427	182	0	707	2	3	10	14	0	29
2221	Jalasjärvi	1154	243	40	301	77	0	661	2	5	10	11	0	28
2223	Alavus	1154	467	11	504	62	6	1050	2	4	11	7	1	25
2241	Ähtäri	1154	379	68	581	73	5	1106	2	5	11	8	1	27
2243	Multia	1154	349	124	722	35	2	1232	2	7	9	7	1	26
3221	Äänekoski	1154	383	128	454	77	2	1044	3	4	12	10	1	30
3223	Rautalampi	1154	97	31	404	141	0	673	4	5	12	10	0	31
3241	Suonenjoki	1154	179	54	346	27	0	606	5	4	13	9	0	31
3243	Leppävirta	1154	231	12	440	34	0	717	6	3	15	7	0	31
4221	Heinävesi	1154	139	3	402	32	0	576	5	2	11	6	0	24
4223	Joensuu	1154	120	0	235	79	1	435	5	0	10	7	0	23
4241	Kihti.v.	1154	128	3	178	65	2	376	5	1	10	5	0	22
4243	Petkelj.	1154	236	27	215	10	0	488	7	2	10	2	0	21

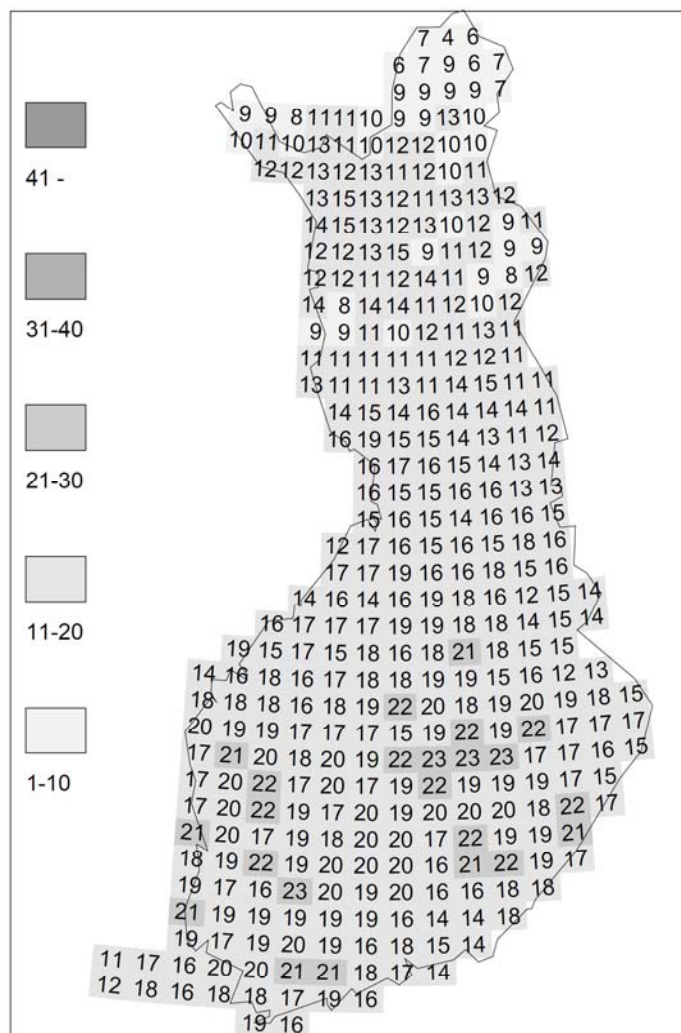
1242	Korsnäs	1143	7	32	194	485	3	721	2	2	6	16	1	27
1244	Jurva	1143	42	27	501	168	0	738	1	3	11	11	0	26
2222	Seinäjoki	1143	175	23	371	120	1	690	2	5	9	9	1	26
2224	Kuortane	1143	159	28	618	45	1	851	2	4	11	6	1	24
2242	Soini	1143	272	31	509	52	1	865	2	4	10	6	1	23
2244	Saarijärvi	1143	505	107	530	58	0	1200	2	5	10	7	0	24
3222	Keitele	1143	419	42	384	52	0	897	2	2	11	6	0	21
3224	Karttula	1143	281	52	412	164	0	909	3	4	11	8	0	26
3242	Kuopio	1143	120	30	331	25	0	506	4	5	14	7	0	30
3244	Vehmers.	1143	121	12	299	44	0	476	4	3	14	5	0	26
4222	Outokumpu	1143	135	4	424	48	3	614	5	1	15	8	0	30
4224	Kontiol.	1143	64	1	427	82	1	575	4	1	11	7	0	24
4242	Eno	1143	96	17	408	21	0	542	5	3	12	3	0	23
4244	Ilomantsi	1143	177	4	198	17	0	396	7	3	10	3	0	23
1331	Vaasa	1133	1	2	119	793	11	926	1	2	6	15	1	25
1333	Laihia	1133	22	2	466	244	5	739	2	2	10	10	1	25
2311	Kauhava	1133	74	7	728	116	0	925	2	4	11	7	0	24
2313	Alajärvi	1133	76	4	514	123	1	718	2	4	10	5	1	22
2331	Kyyjärvi	1133	183	69	388	66	0	706	2	2	12	8	0	24
2333	Kivijärvi	1133	477	216	328	60	0	1081	2	5	10	9	0	26
3311	Viitas.	1133	698	99	209	41	0	1047	2	5	12	11	0	30
3313	Vesanto	1133	278	44	280	107	0	709	3	6	10	8	0	27
3331	Siilinj.	1133	18	54	247	43	0	362	3	4	10	7	0	24
3333	Juankoski	1133	11	23	193	78	0	305	4	2	14	6	0	26
4311	Sivakkav.	1133	94	2	261	35	0	392	5	2	13	7	0	27
4313	Koli	1133	144	4	343	59	0	550	4	3	12	7	0	26
4331	Koitere	1133	160	4	273	51	0	488	5	2	11	6	0	24
4333	Naarva	1133	75	3	176	33	2	289	5	2	9	3	1	20
1332	Raippal.	1122	1	0	116	392	0	509	1	0	4	14	0	19
1334	Oravainen	1122	9	0	226	195	0	430	1	0	10	11	0	22
2312	Alahärmä	1122	27	5	602	94	0	728	2	1	12	9	0	24
2314	Evijärvi	1122	45	0	593	50	0	688	2	0	12	8	0	22
2332	Perho	1122	113	41	281	46	0	481	2	2	12	7	0	23
2334	Kinnula	1122	95	266	301	60	0	722	2	6	9	7	0	24
3312	Pihtipudas	1122	411	125	265	25	0	826	2	3	10	9	0	24
3314	Pielavesi	1122	317	22	333	77	0	749	3	3	11	9	0	26
3332	Lapinlahti	1122	52	48	240	33	0	373	3	5	12	6	0	26
3334	Nilsiä	1122	8	23	255	22	0	308	1	3	12	5	0	21
4312	Yläluosta	1122	109	15	197	32	0	353	4	2	11	5	0	22
4314	Juuaka	1122	143	5	144	18	0	310	3	2	9	3	0	17
4332	Lieksta	1122	61	7	110	71	0	249	3	3	9	3	0	18
1343	Vexala	1112	4	1	93	227	3	328	2	1	10	12	1	26
2321	Pietars.	1112	18	1	463	93	0	575	2	1	11	7	0	21
2323	Kaustinen	1112	43	0	644	87	0	774	2	0	12	9	0	23
2341	Lestijärvi	1112	81	48	457	41	0	627	2	2	11	5	0	20
2343	Reisjärvi	1112	58	152	188	28	0	426	3	4	11	7	0	25
3321	Pyhäjärvi	1112	89	54	239	31	0	413	3	2	10	7	0	22
3323	Kiuruvesi	1112	180	36	202	52	0	470	3	3	11	7	0	24
3341	Iisalmi	1112	115	10	228	49	0	402	4	3	13	9	0	29
3343	Rautavaara	1112	22	57	198	18	0	295	4	4	11	5	0	24
4321	Nurmets	1112	38	24	271	79	0	412	2	2	11	5	0	20
4323	Savijärvi	1112	76	6	106	30	0	218	4	1	13	3	0	21
2322	Kokkola	1101	34	0	369	124	1	528	2	0	10	9	1	22
2324	Kannus	1101	140	2	487	102	0	731	2	2	10	9	0	23
2342	Sievi	1101	72	43	688	186	0	989	2	2	10	9	0	23
2344	Nivala	1101	87	114	479	79	0	759	2	4	11	6	0	23
3322	Kärsämäki	1101	66	30	215	97	0	408	3	4	12	7	0	26
3324	Lapinsalo	1101	102	60	383	85	0	630	3	4	12	7	0	26
3342	Vieremä	1101	50	4	178	48	0	280	3	1	13	8	0	25
3344	Pirttimäki	1101	120	65	283	20	0	488	3	5	13	3	0	24

4322	Hiidenp.	1101	43	73	281	103	0	500	2	3	10	4	0	19
4324	Mujejärvi	1101	30	47	323	48	0	448	2	3	11	4	0	20
4342	Ulvinsalo	1101	22	35	130	121	0	308	3	2	10	4	0	19
2413	Kalajoki	1091	62	1	200	78	0	341	1	1	9	8	0	19
2431	Ylivieska	1091	59	3	506	60	0	628	1	2	11	7	0	21
2433	Haapavesi	1091	68	91	526	84	0	769	2	2	8	7	0	19
3411	Piippola	1091	26	64	284	85	0	459	2	3	10	7	0	22
3413	Pyhäntä	1091	31	24	318	110	0	483	2	3	11	10	0	26
3431	Kajaani	1091	25	6	256	37	0	324	4	2	12	7	0	25
3433	Sotkamo	1091	55	28	268	32	0	383	3	3	11	4	0	21
4411	Katerma	1091	141	92	320	96	0	649	2	3	8	3	0	16
4413	Kuhmo	1091	39	44	427	272	0	782	2	3	10	5	0	20
4431	Kotajärvi	1091	10	59	125	152	0	346	4	2	7	6	0	19
2432	Pyhäjoki	1080	48	2	263	210	0	523	1	2	11	9	0	23
2434	Vihanti	1080	17	41	702	214	0	974	1	3	12	7	0	23
3412	Rantsila	1080	20	41	533	155	0	749	1	4	13	7	0	25
3414	Kestilä	1080	17	15	392	63	0	487	1	2	11	8	0	22
3432	Oulujärvi	1080	26	14	352	119	0	511	2	4	8	8	0	22
3434	Ristijärvi	1080	25	34	311	69	0	439	2	6	9	7	0	24
4412	Hirsimäki	1080	24	46	338	187	0	595	2	5	8	5	0	20
4414	Lentiira	1080	47	42	482	163	0	734	2	3	10	7	0	22
2441	Raahe	1069	32	0	327	250	0	609	2	0	7	7	0	16
2443	Ruukki	1069	16	24	717	152	0	909	1	4	10	8	0	23
3421	Tyrnävä	1069	20	69	798	82	0	969	1	3	11	6	0	21
3423	Utajärvi	1069	9	17	499	80	0	605	1	3	11	5	0	20
3441	Puokiov.	1069	24	24	332	81	0	461	2	5	9	5	0	21
3443	Paljakka	1069	8	47	322	63	0	440	2	4	8	6	0	20
4421	Hyrynsalmi	1069	30	44	515	95	0	684	3	4	8	9	0	24
4423	Alavuokki	1069	20	69	428	222	0	739	2	5	8	6	0	21
2444	Oulu	1059	12	9	466	141	0	628	2	1	10	7	0	20
3422	Ylikiim.	1059	16	31	429	110	0	586	1	2	12	7	0	22
3424	Sanginkylä	1059	4	30	532	101	0	667	1	3	9	7	0	20
3442	Puolanka	1059	7	52	443	165	0	667	3	2	9	5	0	19
3444	Joukokylä	1059	30	78	395	237	0	740	2	3	10	7	0	22
4422	Suomuss.	1059	8	73	324	195	0	600	2	3	9	7	0	21
4424	Kianta	1059	26	36	527	104	0	693	3	3	9	5	0	20
2533	Haukipudas	1048	2	14	315	75	0	406	1	1	11	8	0	21
3511	Kiiminki	1048	7	37	485	87	0	616	2	3	9	6	0	20
3513	Kipinä	1048	12	67	295	54	0	428	1	2	9	8	0	20
3531	Jonku	1048	2	22	746	149	0	919	1	3	10	8	0	22
3533	Siikavaara	1048	26	43	756	109	0	934	1	3	11	6	0	21
4511	Piispaj.	1048	16	6	700	99	0	821	2	1	9	6	0	18
4513	Anttila	1048	9	10	417	86	0	522	3	3	7	5	0	18
2534	Kuivaniemi	1037	2	6	251	129	1	389	1	1	10	8	1	21
3512	Yli-Ii	1037	0	89	202	93	0	384	0	4	9	9	0	22
3514	Pudasjärvi	1037	5	40	151	109	0	305	1	4	7	9	0	21
3532	Iinattij.	1037	5	41	361	112	0	519	2	3	8	7	0	20
3534	Taivalk.	1037	3	9	807	40	1	860	1	3	8	6	1	19
4512	Jokijärvi	1037	14	6	592	23	0	635	3	1	7	6	0	17
4514	Hossa	1037	17	13	202	33	0	265	3	1	8	6	0	18
2541	Kemi	1027	1	2	278	98	0	379	1	2	9	9	0	21
2543	Simo	1027	3	60	638	57	0	758	1	1	12	11	0	25
3521	Oijärvi	1027	4	48	310	96	0	458	2	4	8	6	0	20
3523	Haarahilt.	1027	2	33	154	250	0	439	1	4	8	7	0	20
3541	Rytinki	1027	3	72	224	120	0	419	1	3	9	5	0	18
3543	Loukusa	1027	5	49	660	36	0	750	1	2	7	7	0	17
4521	Kuolio	1027	4	11	853	25	0	893	1	4	5	4	0	14
4523	Poussu	1027	22	1	574	14	0	611	2	1	9	4	0	16
2542	Karunki	1016	17	1	163	180	0	361	1	1	7	9	0	18
2544	Runkaus	1016	4	19	517	351	0	891	1	2	9	8	0	20

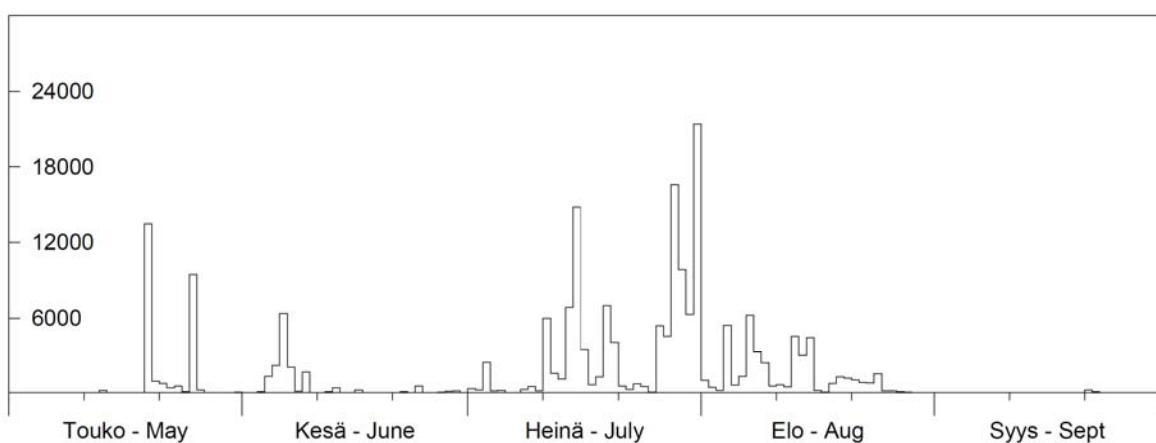
3522 Rov.aho	1016	0	45	288	204	0	537	0	2	10	7	0	19
3524 Ranua	1016	1	41	376	209	1	628	1	4	8	7	1	21
3542 Simojärvi	1016	0	49	391	230	5	675	0	2	9	6	1	18
3544 Posio	1016	3	8	324	71	6	412	1	3	8	6	1	19
4522 Vasaraperä	1016	4	5	659	51	5	724	1	2	9	6	1	19
4524 Kuusamo	1016	8	5	446	36	0	495	2	2	7	4	0	15
2613 Ylitornio	1005	0	2	143	166	0	311	0	1	9	7	0	17
2631 Törmäsj.	1005	2	0	94	219	0	315	1	0	10	4	0	15
2633 Muurola	1005	1	9	299	140	0	449	1	3	6	4	0	14
3611 Inginkiv.	1005	1	18	311	167	0	497	1	3	8	5	0	17
3613 Vanttausk.	1005	1	10	479	122	0	612	1	2	8	4	0	15
3631 Pirttik.	1005	0	17	271	99	7	394	0	2	9	7	1	19
3633 Perä-Posio	1005	1	12	393	112	3	521	1	3	7	8	1	20
4611 Kitka	1005	1	4	400	51	0	456	1	1	8	5	0	15
4613 Ruka	1005	6	9	303	71	0	389	1	2	8	4	0	15
2614 Turtola	994	0	1	169	137	0	307	0	1	10	3	0	14
2632 Meltosj.	994	0	2	174	53	0	229	0	1	9	4	0	14
2634 Sinettä	994	0	20	385	26	0	431	0	2	8	4	0	14
3612 Rovaniemi	994	1	25	722	67	0	815	1	2	9	3	0	15
3614 Misi	994	0	12	386	75	0	473	0	2	8	5	0	15
3632 Luusua	994	0	39	281	82	0	402	0	3	8	5	0	16
3634 Karhujärvi	994	0	30	258	81	0	369	0	3	9	4	0	16
4612 Aholanv.	994	0	8	377	51	0	436	0	2	8	5	0	15
2623 (Pello)	983	37	1	286	11	0	335	1	1	8	2	0	12
2641 Pello	983	10	3	322	23	0	358	1	1	8	2	0	12
2643 Meltaus	983	3	6	338	35	0	382	1	2	9	3	0	15
3621 Perunkaj.	983	0	15	415	40	0	470	0	3	9	1	0	13
3623 Nampa	983	0	12	264	66	0	342	0	2	10	4	0	16
3641 Kemijärvi	983	1	9	222	58	0	290	1	3	7	3	0	14
3643 Kursu	983	0	56	233	42	0	331	0	4	10	3	0	17
4621 Salla	983	0	251	447	55	0	753	0	3	7	4	0	14
2624 Sieppij.	973	58	5	85	2	0	150	1	3	12	2	0	18
2642 Pasmajärvi	973	69	6	103	11	0	189	1	1	6	2	0	10
2644 Lohiniva	973	41	6	198	42	0	287	1	3	10	4	0	18
3622 Unari	973	2	31	264	78	0	375	1	3	11	3	0	18
3624 Luosto	973	0	47	366	45	0	458	0	3	8	3	0	14
3642 Pelkosenn.	973	2	12	227	88	0	329	1	4	7	4	0	16
3644 Ahvenselkä	973	1	191	283	73	0	548	1	3	6	3	0	13
4622 Saija	973	0	195	148	119	0	462	0	3	8	4	0	15
2713 Kolari	962	29	9	257	39	0	334	1	1	12	1	0	15
2731 Kurtakko	962	29	0	198	9	0	236	1	0	9	5	0	15
2733 Kaukonen	962	46	20	170	29	0	265	1	2	8	3	0	14
3711 Syväjärvi	962	47	41	161	105	0	354	1	2	9	3	0	15
3713 Sodankylä	962	11	130	198	90	0	429	2	3	10	3	0	18
3731 Kelujärvi	962	5	51	338	146	0	540	2	3	6	3	0	14
3733 Savukoski	962	0	4	442	76	0	522	0	2	7	3	0	12
4711 Maltiot.	962	0	7	305	48	0	360	0	2	6	3	0	11
4713 Sorsat.	962	0	15	133	35	0	183	0	2	8	5	0	15
2714 Kihlanki	951	18	47	909	30	0	1004	1	3	9	3	0	16
2732 Ylläs	951	20	36	840	20	0	916	1	2	10	2	0	15
2734 Kittilä	951	8	21	400	13	0	442	1	4	9	3	0	17
3712 Tepsa	951	8	73	349	45	0	475	2	2	11	4	0	19
3714 Petkula	951	5	125	347	120	0	597	1	2	6	3	0	12
3732 Tanhua	951	18	137	287	124	0	566	2	3	6	3	0	14
3734 Seitajärvi	951	9	32	375	154	0	570	2	3	7	3	0	15
4712 Ruuvaaja	951	1	38	202	70	0	311	1	2	7	2	0	12
4714 Värriot.	951	1	54	220	59	0	334	1	2	6	3	0	12
2723 Muonio	940	0	61	395	35	0	491	0	4	9	5	0	18
2741 Keimiöt.	940	13	139	210	23	0	385	1	3	9	6	0	19
2743 Kiistala	940	8	44	164	5	0	221	1	3	10	3	0	17

3721	Pomokaira	940	0	68	207	23	0	298	0	3	10	3	0	16
3723	Pomovaara	940	0	84	259	67	0	410	0	3	10	4	0	17
3741	Lokka	940	0	108	398	34	0	540	0	3	6	4	0	13
3743	Alaponku	940	2	93	190	41	0	326	1	3	8	4	0	16
4721	Naltiot.	940	0	63	199	65	0	327	0	2	7	3	0	12
4723	Nuorttit.	940	1	36	292	69	0	398	1	2	8	3	0	14
2724	Ounast.	929	13	47	369	205	0	634	1	3	8	5	0	17
2742	Raattama	929	13	48	447	68	0	576	1	2	10	6	0	19
2744	Pulju	929	3	60	640	47	0	750	1	3	9	4	0	17
3722	Pokka	929	1	18	938	22	0	979	1	2	9	3	0	15
3724	Porttip.	929	0	46	362	5	0	413	0	2	10	2	0	14
3742	Vuotso	929	0	47	319	50	0	416	0	2	11	4	0	17
3744	Sokosti	929	0	38	183	32	0	253	0	2	9	6	0	17
4722	Talkkunap.	929	0	15	214	12	0	241	0	3	8	4	0	15
1833	(Karesuv.)	918	0	55	829	611	0	1495	0	2	7	6	0	15
1811	Kaaresuv.	918	0	29	512	795	0	1336	0	2	8	6	0	16
2813	Enontekiö	918	0	45	366	403	0	814	0	2	10	5	0	17
2831	Peltovuoma	918	0	14	596	217	0	827	0	1	9	5	0	15
2833	Korsat.	918	1	18	608	111	0	738	1	3	8	5	0	17
3811	Jänispää	918	0	21	567	74	0	662	0	3	8	3	0	14
3813	Kuttura	918	0	47	317	16	0	380	0	2	10	3	0	15
3831	Saariselkä	918	0	86	198	40	0	324	0	3	8	2	0	13
3833	Raja-Joos.	918	0	74	162	55	0	291	0	2	7	5	0	14
1832	Ropi	907	0	66	92	112	0	270	0	2	7	4	0	13
1834	Tarju	907	0	7	160	93	0	260	0	2	7	5	0	14
2812	Urtivaara	907	0	1	358	302	0	661	0	1	7	5	0	13
2814	Jierstiv.	907	0	1	324	270	2	597	0	1	9	6	1	17
2832	Porrast.	907	0	9	368	295	0	672	0	2	8	4	0	14
2834	Kietsimä	907	0	4	611	195	0	810	0	1	9	3	0	13
3812	Lemmenjoki	907	0	3	863	65	0	931	0	1	8	6	0	15
3814	Menesjärvi	907	0	14	741	47	0	802	0	3	8	4	0	15
3832	Ivalo	907	0	77	349	18	0	444	0	2	8	3	0	13
3834	Sarmijärvi	907	0	163	277	105	0	545	0	3	6	4	0	13
1841	Kilpisj.	896	0	7	236	132	0	375	0	1	7	3	0	11
1843	Tsaibma	896	0	21	402	195	0	618	0	1	7	3	0	11
2821	Kautokeino	896	1	0	404	128	0	533	1	0	6	3	0	10
2823	Lavvuoaivi	896	1	0	406	94	2	503	1	0	9	3	1	14
2841		896	0	1	131	74	0	206	0	1	7	6	0	14
2843	Galmat	896	0	8	95	100	0	203	0	1	9	3	0	13
3821	Kaisavarri	896	0	2	265	42	0	309	0	2	8	2	0	12
3823	Palloaivi	896	0	2	348	62	0	412	0	1	6	4	0	11
3841	Inari	896	0	17	188	66	0	271	0	2	8	6	0	16
3843	Nellimä	896	0	106	80	39	0	225	0	2	5	6	0	13
3822	Muotka	885	0	0	76	142	0	218	0	0	7	5	0	12
3824	Peltot.	885	0	0	70	248	0	318	0	0	7	4	0	11
3842	Paksumaa	885	0	1	63	173	0	237	0	1	7	3	0	11
3844	Partakko	885	0	8	36	193	0	237	0	2	5	5	0	12
4822	Surnujärvi	885	0	27	27	114	0	168	0	2	3	4	0	9
3911	Outakoski	874	0	0	15	130	0	145	0	0	4	4	0	8
3913	Kuivi	874	0	1	7	274	0	282	0	1	4	4	0	9
3931	Mieras	874	0	0	10	279	0	289	0	0	7	4	0	11
3933	Iijärvi	874	0	0	12	202	0	214	0	0	2	6	0	8
4911	Sevettij.	874	0	1	11	55	0	67	0	1	3	5	0	9
3914	Kevo	863	0	1	4	45	0	50	0	1	3	5	0	9
3932	Utsjoki	863	0	2	0	32	0	34	0	1	0	4	0	5
3934	Kalddoaivi	863	0	11	2	188	0	201	0	2	2	4	0	8

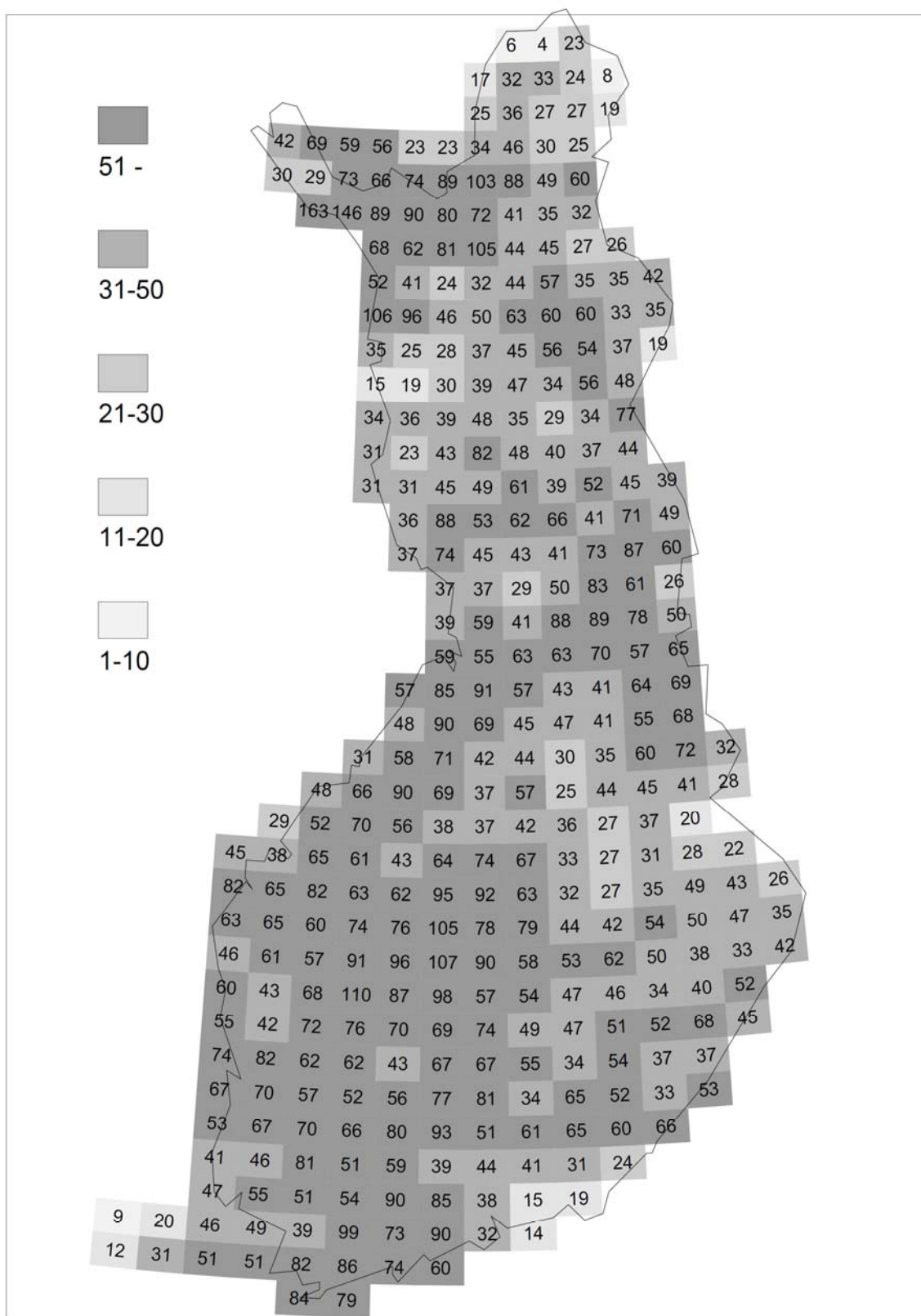
Koko maa 26101 15346117083 42338 364 201305



Kuva 5. Taulukosta 1 korjatut ukkospäiväluvut 2014.  
Fig. 5. Thunder day numbers corrected from Table 1 in 2014.



Kuva 6. Vuorokautiset paikannettujen salamoiden määrit Suomessa (kuva 5 kartalla) 2014.  
Fig. 6. Daily numbers of located flashes in Finland (the area shown in Fig. 5) in 2014.



Kuva 7. Paikannetut salamat/100 km<sup>2</sup> v. 2014. Kartan alueella paikannettiin 201 305 salamaa.

*Fig. 7. Located flashes per 100 km<sup>2</sup> in 2014. The total number of located flashes on the map is 201,305.*

Taulukossa 1 on paikannetut maasalamat ja vastaavat ukkospäiväluvut jaettu paikalliskarttaruudukolle ilman havaintotehokkuuskorjausia. Kullekin riville on merkity vastaava karttanumero, kuvaava paikannimi ja pinta-ala. (Numerot ja nimet näkyvät kartoilla kahdella ylimäärisellä sivulla tämän kirjasen lopussa.) Ala on isompi kuin sellainen alue, jolta aistihavainnot (näkö- ja kuulohavainnot) saadaan, joten taulukon 1 ukkospäiväluvut ovat liian suuria. Ukkospäiväkorjausta on käsitelty aikaisemmassa vuosikirjassa (Salamahavainnot 2001); taulukon 1 luvut esitetään korjattuina kuvassa 5.

Taulukko 1 kattaa nimellisesti vain touko-syyskuun, vaikka merkittävää, tosin vähäistä salamointia esiintyy usein huhti- ja lokakuussa.

Päivittäiset paikannetut koko maan salamamäärit näkyvät kuvassa 6. Taulukosta 1 lasketut koko kauden salamatiheydet ( $100 \text{ km}^2$  kohti) esitetään kuvassa 7. Kuvissa 32 ja 33 on kuvaa 7 vastaavat, mutta hienojakoisemmat tiheyskartat värikuvina.

Hyvän herkyyden ja suuren anturimäään takia laitteisto paikantaa joskus olemattomia salamoita. Ne ovat yleensä vain kahden tai kolmen anturin havaitsevia. Useampi paikannettu salama samalla alueella merkitsee todellista ukkosta, jollaisesta ei mahdollisia harhoja voi yleensä erottella. Vain yksittäisiä paikannettuja salamoita, varsinkin epätodennäköisessä säätilanteessa, on tarkistettu tutkatiedon avulla. Harhoiksi todetutkin on kuitenkin säilytetty tiedostoissa, koska vaikutus ainakin salamatiheyteen on vähäinen.

Kesän ensimmäinen kunnon ukkonen koettiin Suomessa 13.5., kun maan itäosissa (Ilomantsi) esiintyi noin 200 maasalamaa. Toukokuun merkittävin

In Table 1, located ground flashes and corresponding thunder-day numbers have been distributed on local map squares without detection-efficiency corrections. Each row includes the map number, a descriptive name and the area. (The numbers and names are shown on maps on two extra pages at the end of this issue.) The area is larger than that of human (visual and aural) observations, so the thunder-day numbers of Table 1 are too high. The thunder-day correction has been discussed in a previous yearbook (Lightning Observations 2001); Fig. 5 shows the numbers from Table 1 corrected.

Table 1 nominally covers only the period May-September, although there is often significant (but sparse) lightning in April and October.

The daily numbers of located flashes in the whole country are seen in Fig. 6, and the flash densities (per  $100 \text{ km}^2$ ) for the whole season, calculated from Table 1, are shown in Fig. 7. Appendix 3 shows a colour map with higher resolution corresponding to Fig. 7.

Because of the high sensitivity and large number of sensors, the system sometimes locates false lightning, generally detected by two or three sensors only. Several flashes in the same area mean a true thunderstorm, from which possible false flashes cannot usually be distinguished. Only single located flashes, especially in an improbable weather, have been checked against radar data. The found false flashes have, however, been retained in the files because their effect on at least the flash density is negligible.

The first decent thunderstorm of the year occurred on May 13<sup>th</sup> in the eastern Finland (about 200 ground flashes). The most noticeable day of

päivä oli 19.5., jolloin Suomessa paikannettiin noin 13 500 maasalamaa; voimakkaita ukkasia esiintyi laajalti Oulun eteläpuolisessa Suomessa. Tämän jälkeen toukokuussa ukkostilähes päivittääin, ja 25.5. salamoita havaittiin lähes 10 000. Toukokuun kokonaissalamamäärä (26 000) oli noin kolminkertainen kuun keskimäärään (kuva 1). Kesäkuun 10:s lähtien lähes ennätysellisen viileää säätyyppi ei suosinut ukkasia ja salamointi oli vähäistä (kuva 2): noin 15 000 maasalamaa on hieman alle puolet kuun keskimäärästä.

Heinäkuu on salamoinniltaan keskimäärin runsain kuukausi (59 500). Pitkän hellejakson myötä vuonna 2014 salamamäärä oli suuri (117 000) ja noin kaksinkertainen keskiarvoon (kuva 3). Runsaimpia päiviä olivat 31.7. (21 000 maasalamaa), 28.7. (16 000) sekä 15.7. (14 000). Myös elokuun salamamäärä (42 000) ylsi yli keskimääräisen (30 000). Syyskuussa salamointi oli vähäistä: noin 400 maasalamaa on reilusti alle keskiarvon (4600). Vuoden kokonaissalamamäärä, 201 300, on selvästi yli keskimääräisen (137 000). Myös ukkospäiväluku (kuva 5) 15,1 on yli keskiarvon (11,7).

Vertaamalla kuvia 7 ja 30 (tai kuvia 32 ja 33) nähdään kuinka vuosi 2014 poikkesi keskimääräisestä: salamoita esiintyi laajalti koko maassa sen sijaan, että ukkosit olisivat painottuneet vain maan tiettyihin osiin.

### **3 Kesän 2014 tärkeimmät ukkosjaksot**

Edellisissä vuosikirjoissa on kesän ukkosjaksot esitelyt pääosin tekstimuodossa. Tässä kirjassa tekstit on korvattu värikuvilla, jotta lukijalle kävisi paremmin selväksi kunkin tilanteen luonne. Salamakartoilla on esitetty kaikki vuorokauden (muodossa KKPP) aikana

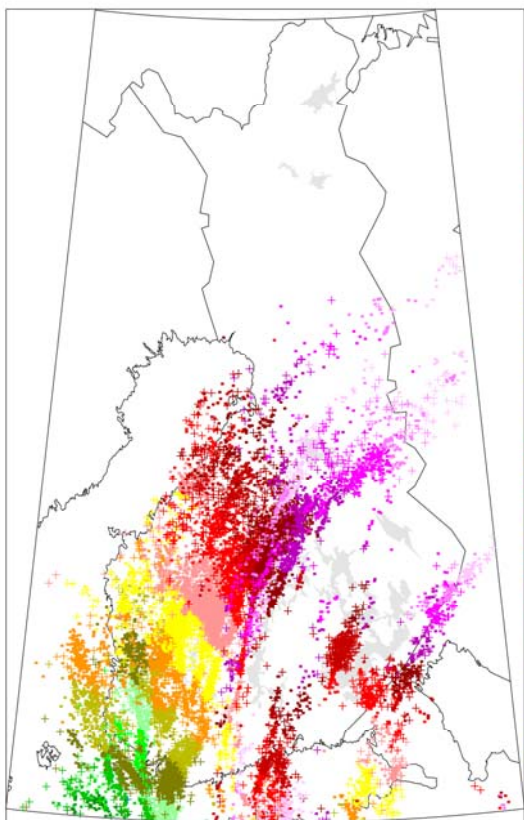
May was the 19<sup>th</sup> with 13,500 ground flashes; intense thunderstorms occurred widely within the country besides the Lapland. The activity in May continued practically daily, and for example on 25<sup>th</sup> there were almost 10,000 flashes. The overall number of flashes in May (26,000) was about triple the average. Since 10<sup>th</sup> of June (Fig. 2) until early July, the activity was extremely low due to the exceptionally cool weather type. The total number of flashes in June (15,000) is about half the average.

Generally, July is the most flash abundant month of the year (59,500 flashes). In 2014, the total number (117,000, Fig. 3) was large and about double the average. This was related to the long hot period. Also in August, the activity remained high with a monthly total of 42,000 flashes; this is above the average (30,000). In September the activity was low: about 400 ground flashes are much below the average (4,600). The yearly sum of flashes, 201,300, is clearly above the average (137,000). The average thunder day number (Fig. 5), 15.1, is also above the average (11.7).

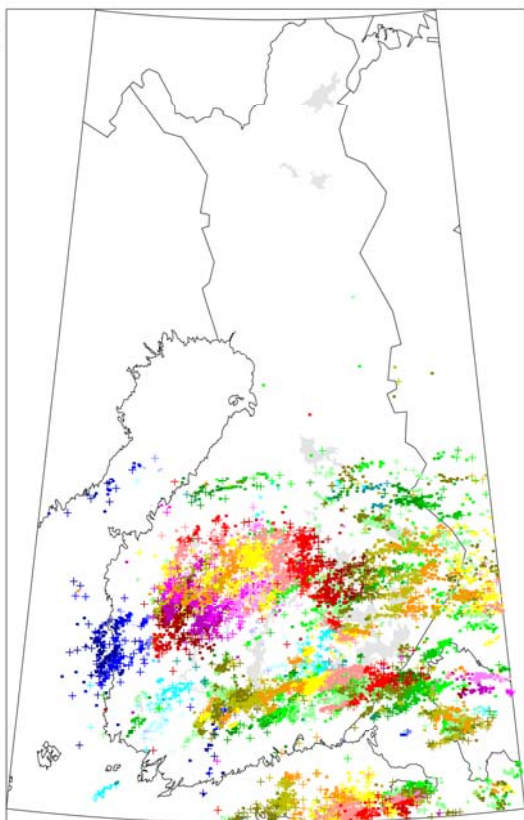
Comparing Figures 7 and 30 (or 32 and 33) it can be clearly seen how year 2014 differed from the average; in 2014 the activity was intense practically in all of the country, including Lapland.

### **3 Main thunderstorm periods in summer 2014**

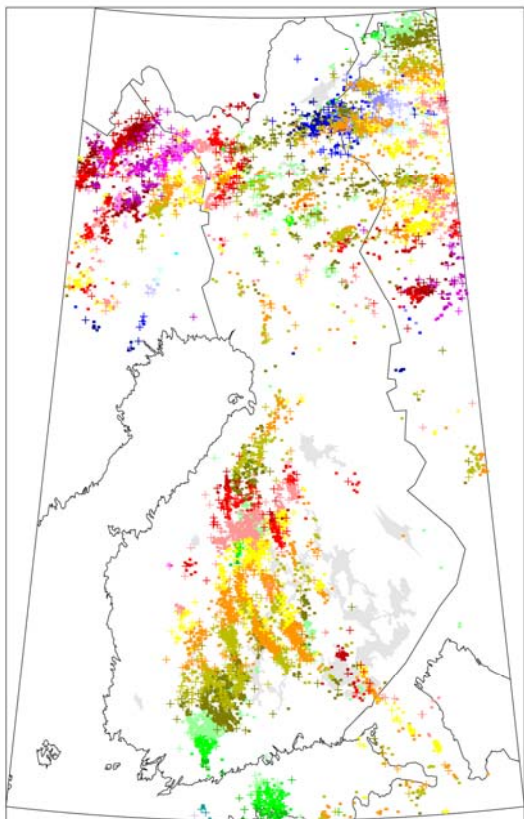
In the previous yearbooks the thunderstorm episodes were described mainly in a text format. In this yearbook, text has been replaced with colour figures to emphasize the nature of the episodes. The figures show all located ground flashes during a day (MMDD) with the



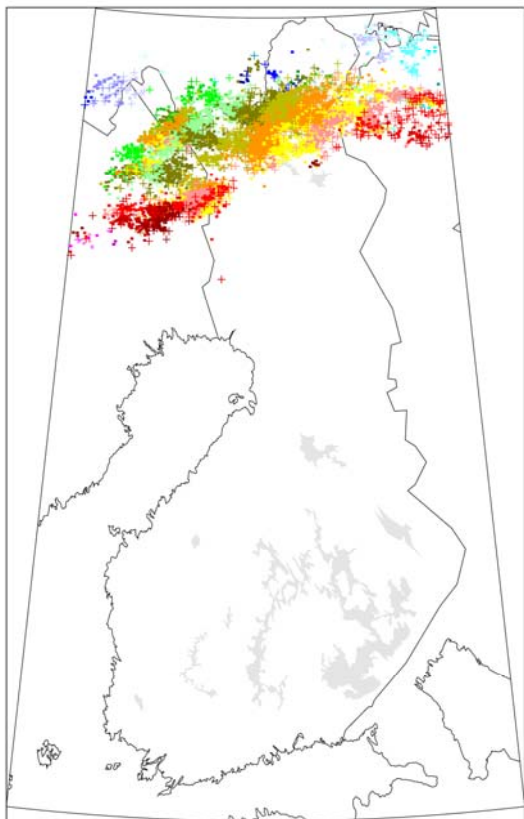
Kuva 8. Päivä 0519, 15521 salamaa.  
Fig. 8. Day 0519, 15521 flashes.



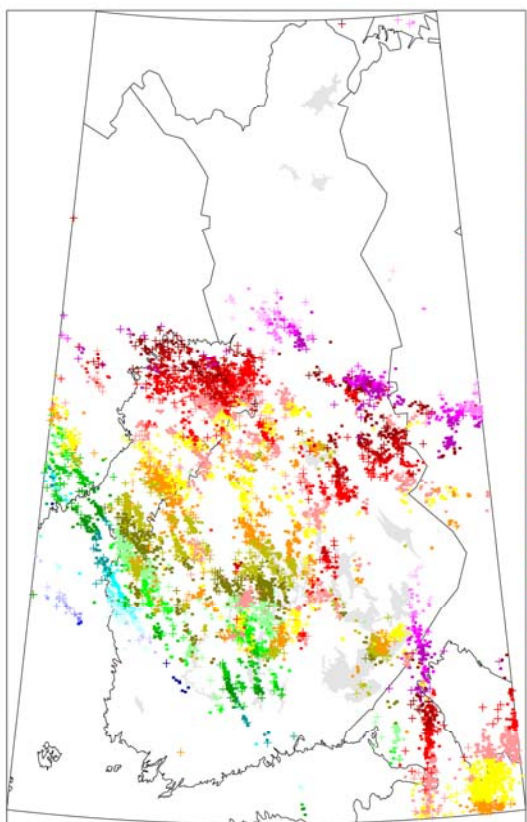
Kuva 9. Päivä 0525, 12927 salamaa.  
Fig. 9. Day 0525, 12927 flashes.



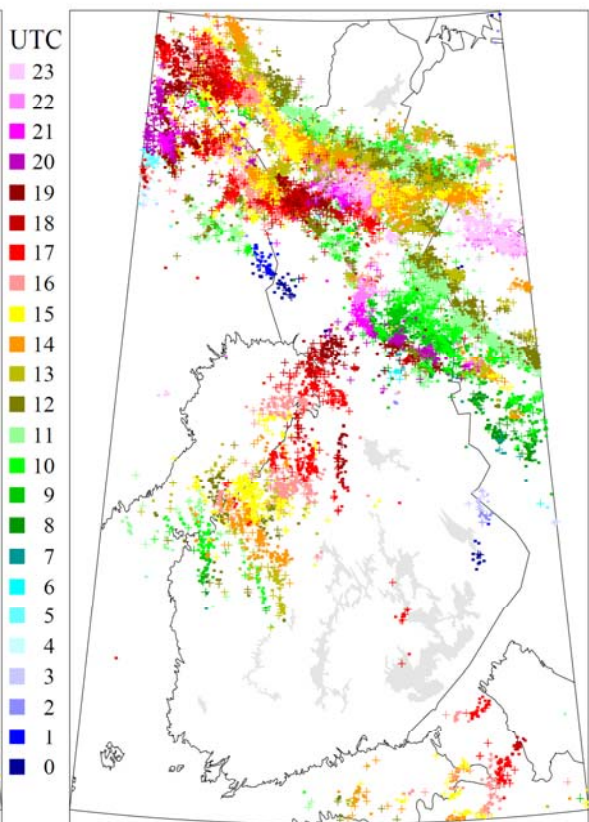
Kuva 10. Päivä 0606, 10458 salamaa.  
Fig. 10. Day 0606, 10458 flashes.



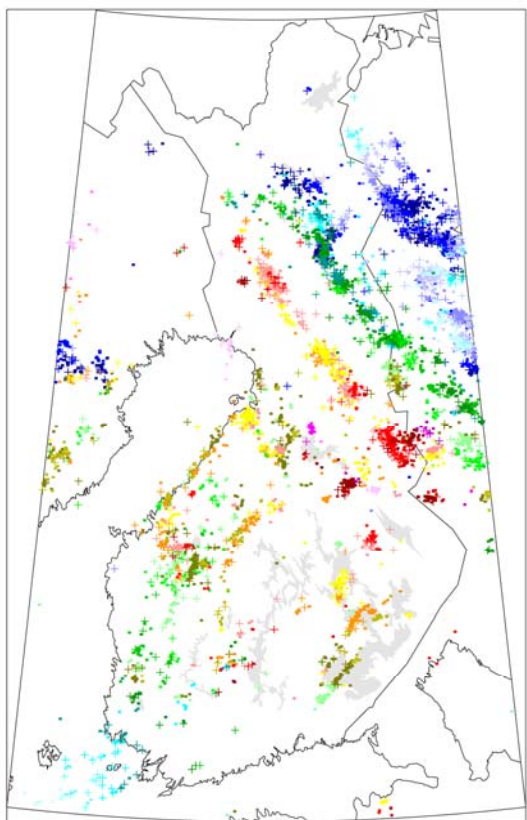
Kuva 11. Päivä 0711, 8809 salamaa.  
Fig. 11. Day 0711, 8809 flashes.



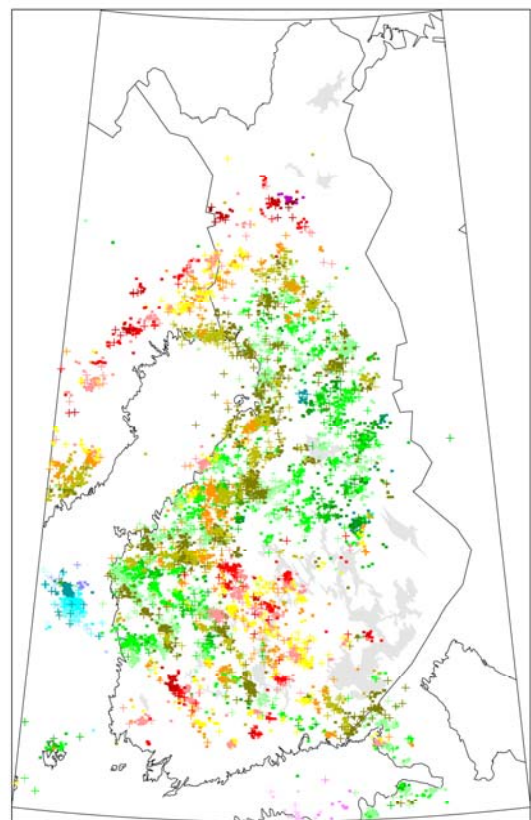
Kuva 12. Päivä 0714, 11236 salamaa.  
Fig. 12. Day 0714, 11236 flashes.



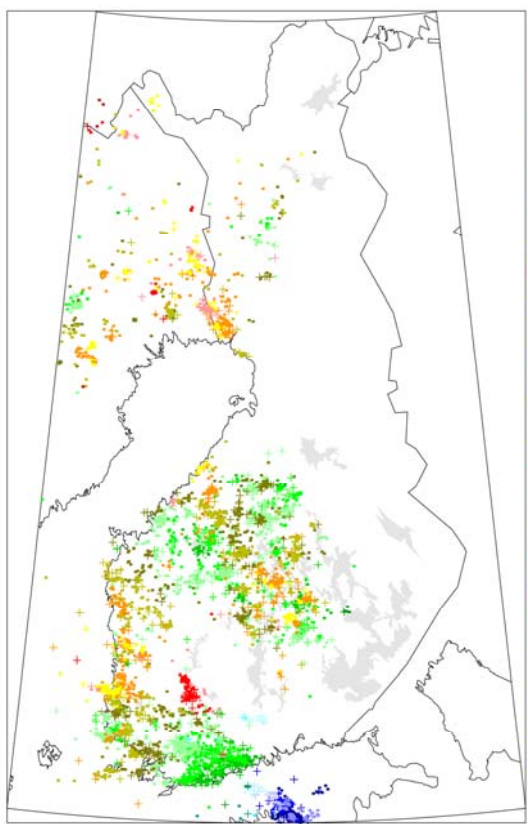
Kuva 13. Päivä 0715, 22942 salamaa.  
Fig. 13. Day 0715, 22942 flashes.



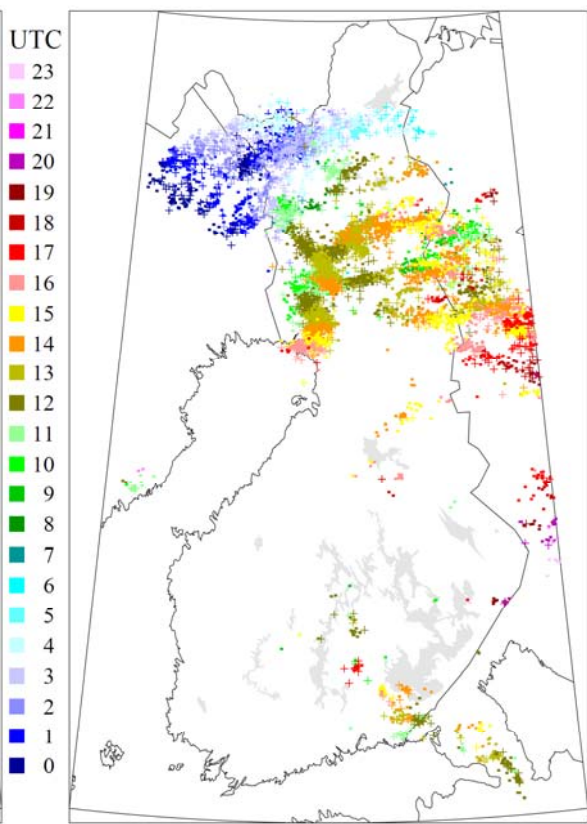
Kuva 14. Päivä 0716, 5966 salamaa.  
Fig. 14. Day 0716, 5966 flashes.



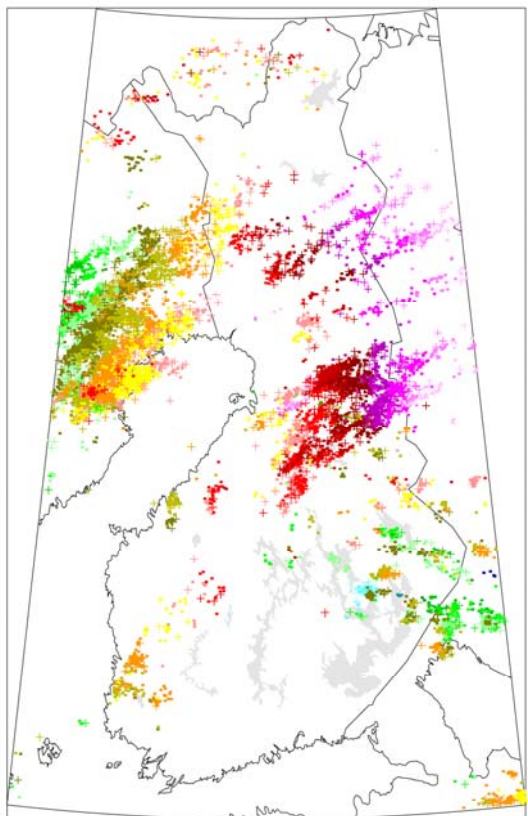
Kuva 15. Päivä 0719, 8606 salamaa.  
Fig. 15. Day 0719, 8606 flashes.



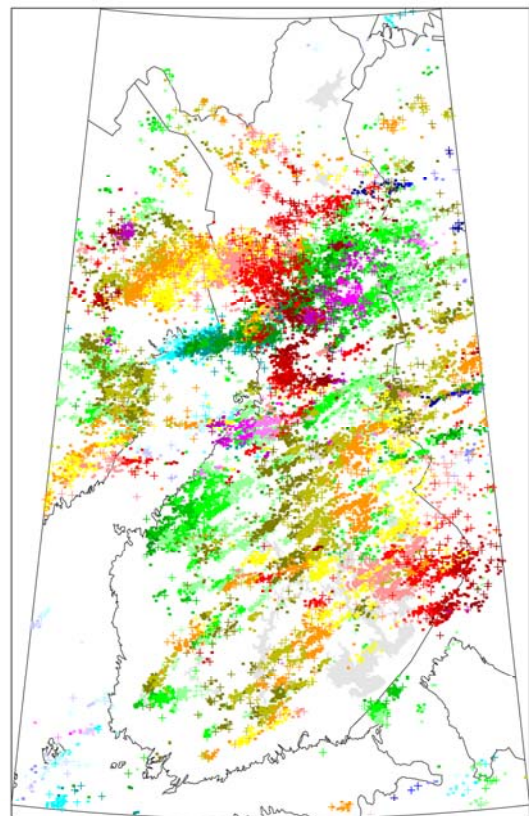
Kuva 16. Päivä 0720, 5035 salamaa.  
Fig. 16. Day 0720, 5035 flashes.



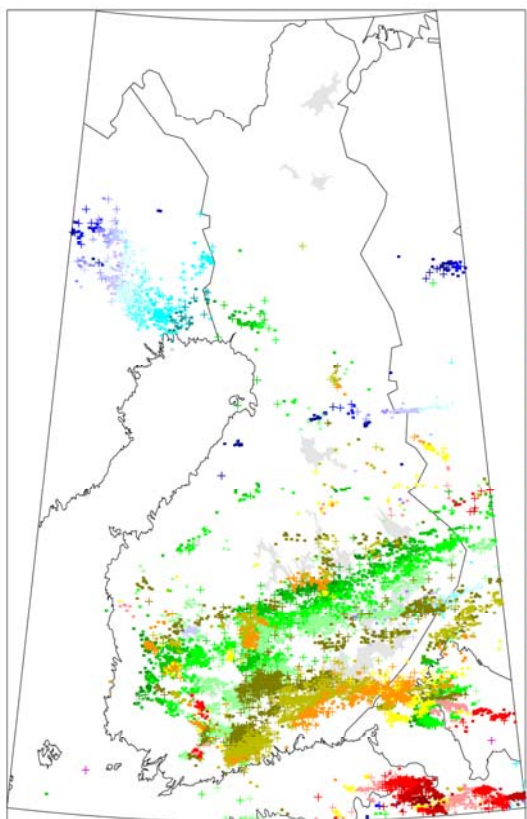
Kuva 17. Päivä 0726, 7775 salamaa.  
Fig. 17. Day 0726, 7775 flashes.



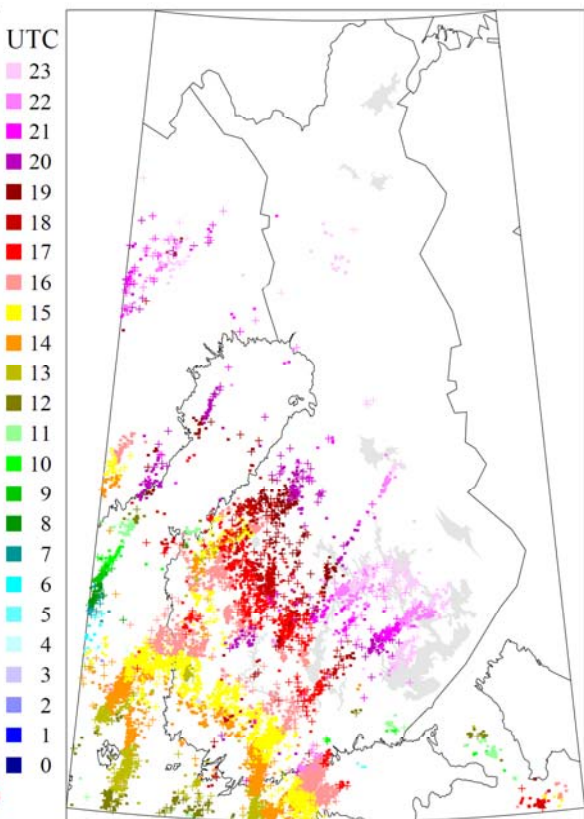
Kuva 18. Päivä 0727, 11120 salamaa.  
Fig. 18. Day 0727, 11120 flashes.



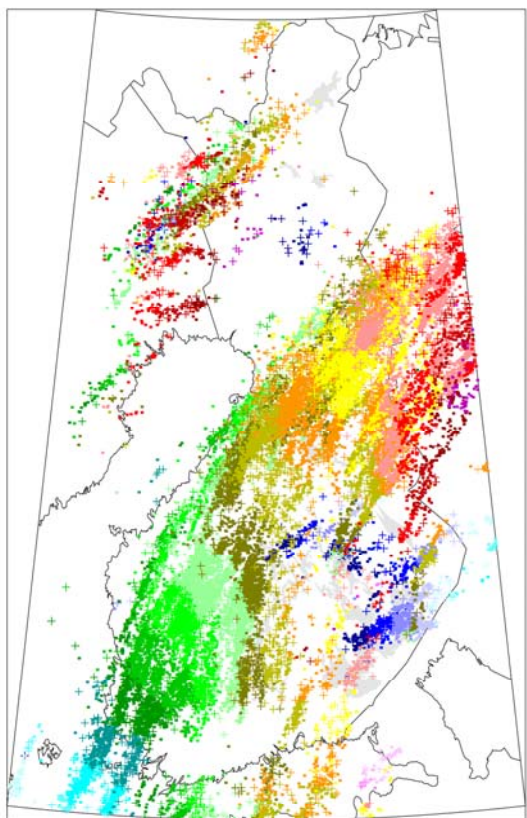
Kuva 19. Päivä 0728, 23726 salamaa.  
Fig. 19. Day 0728, 23726 flashes.



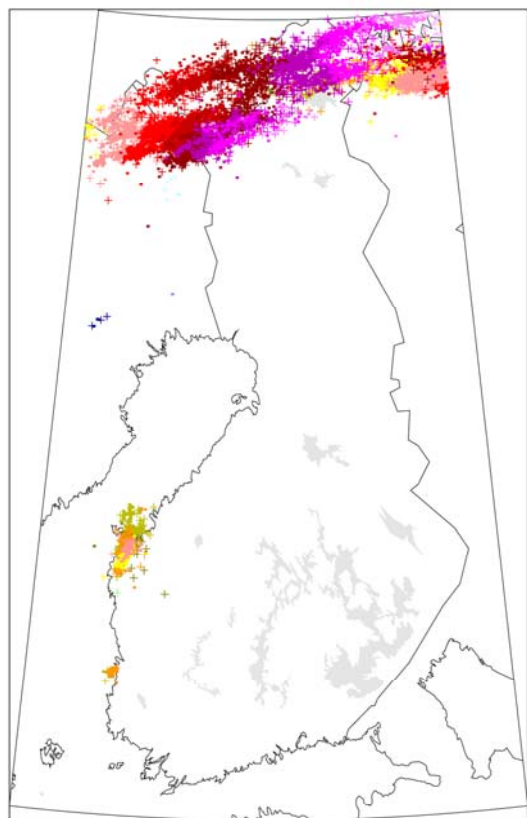
Kuva 20. Päivä 0729, 13619 salamaa.  
Fig. 20. Day 0729, 13619 flashes.



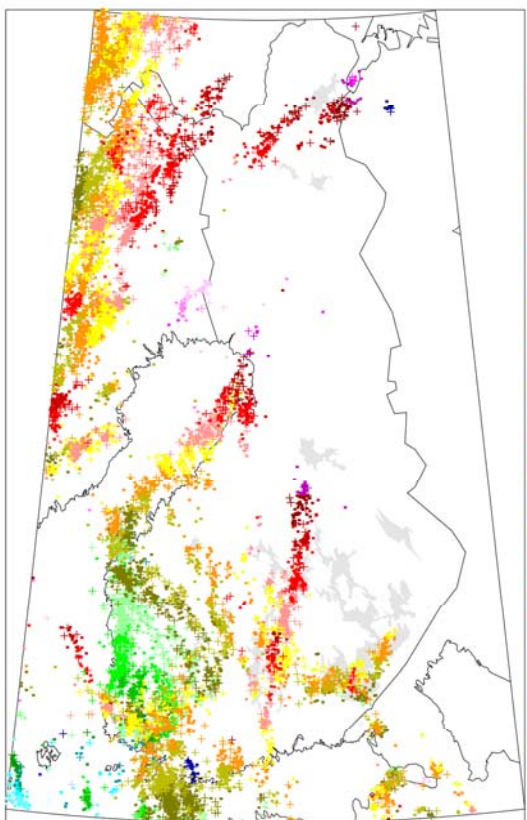
Kuva 21. Päivä 0730, 9671 salamaa.  
Fig. 21. Day 0730, 9671 flashes.



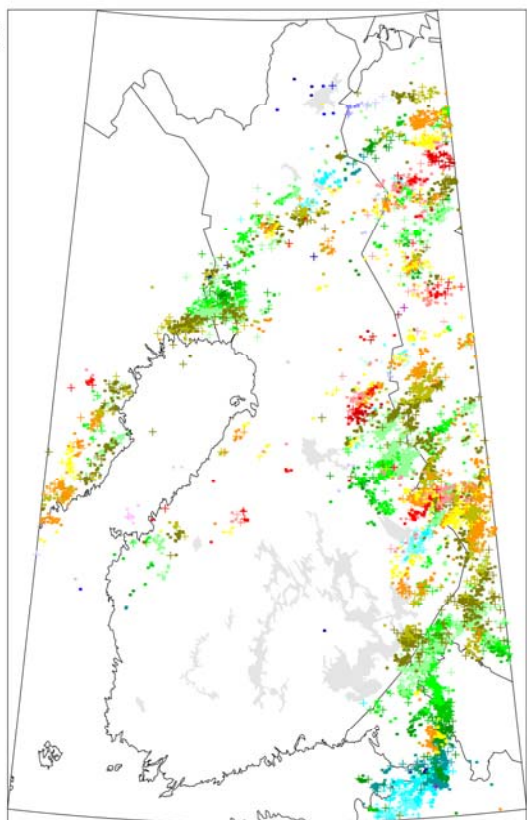
Kuva 22. Päivä 0731, 26445 salamaa.  
Fig. 22. Day 0731, 26445 flashes.



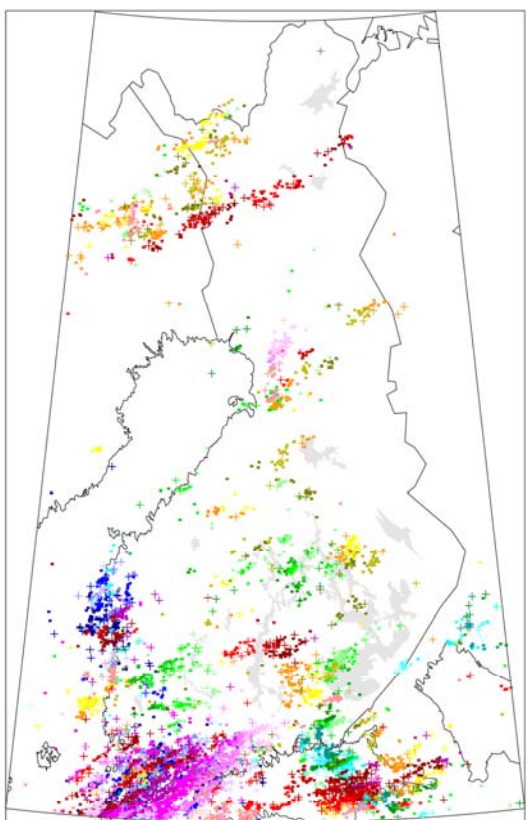
Kuva 23. Päivä 0804, 9603 salamaa.  
Fig. 23. Day 0804, 9603 flashes.



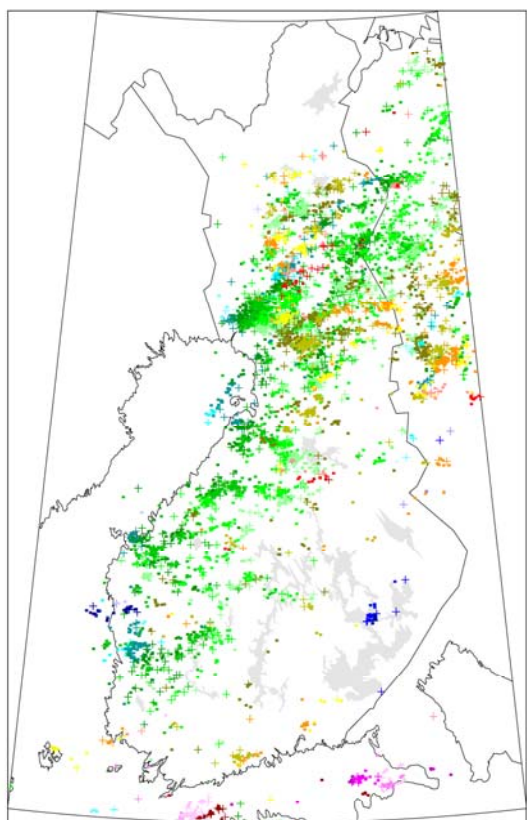
Kuva 24. Päivä 0807, 12480 salamaa.  
Fig. 24. Day 0807, 12480 flashes.



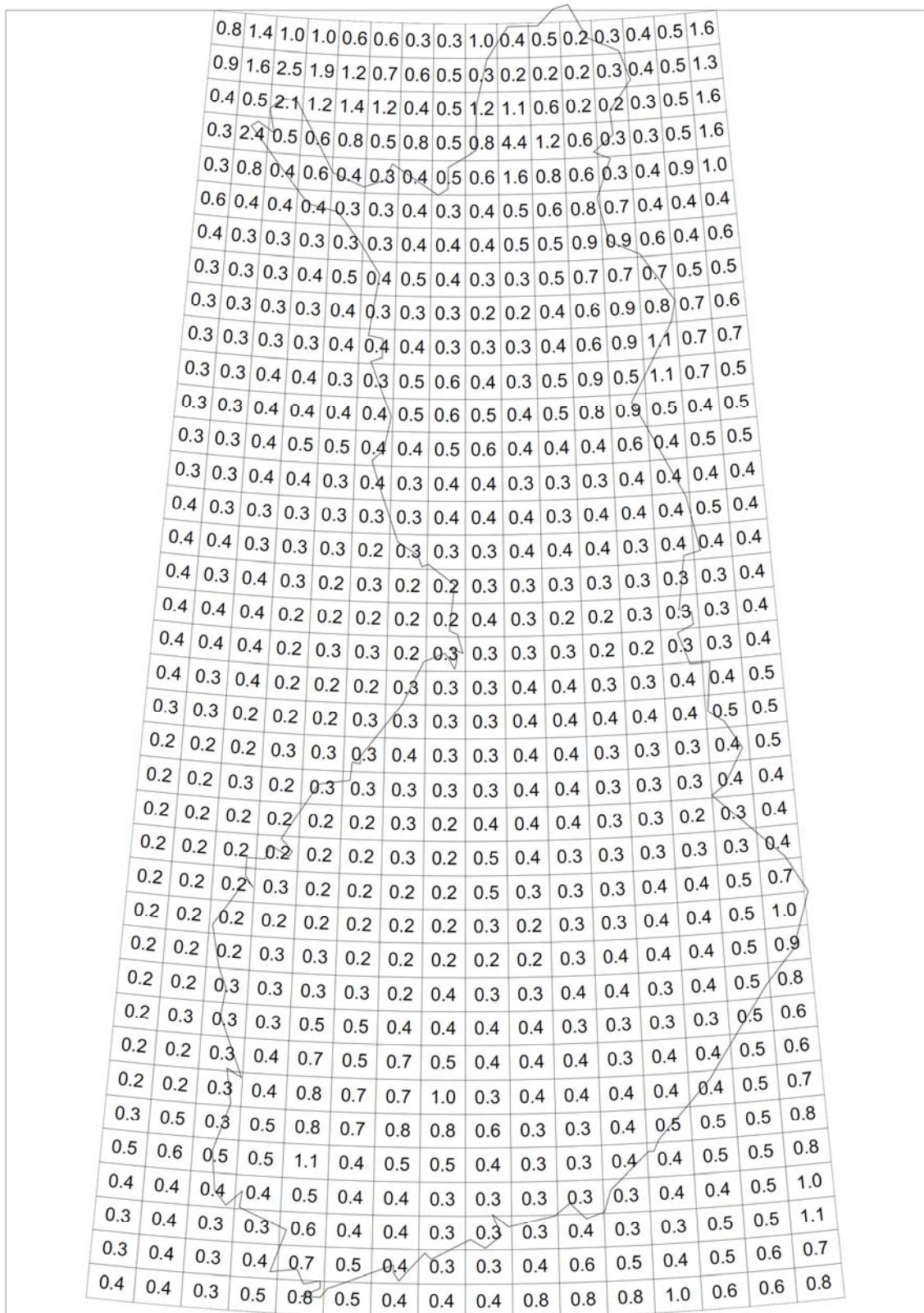
Kuva 25. Päivä 0808, 9836 salamaa.  
Fig. 25. Day 0808, 9836 flashes.



Kuva 26. Päivä 0813, 8062 salamaa.  
Fig. 26. Day 0813, 8062 flashes.

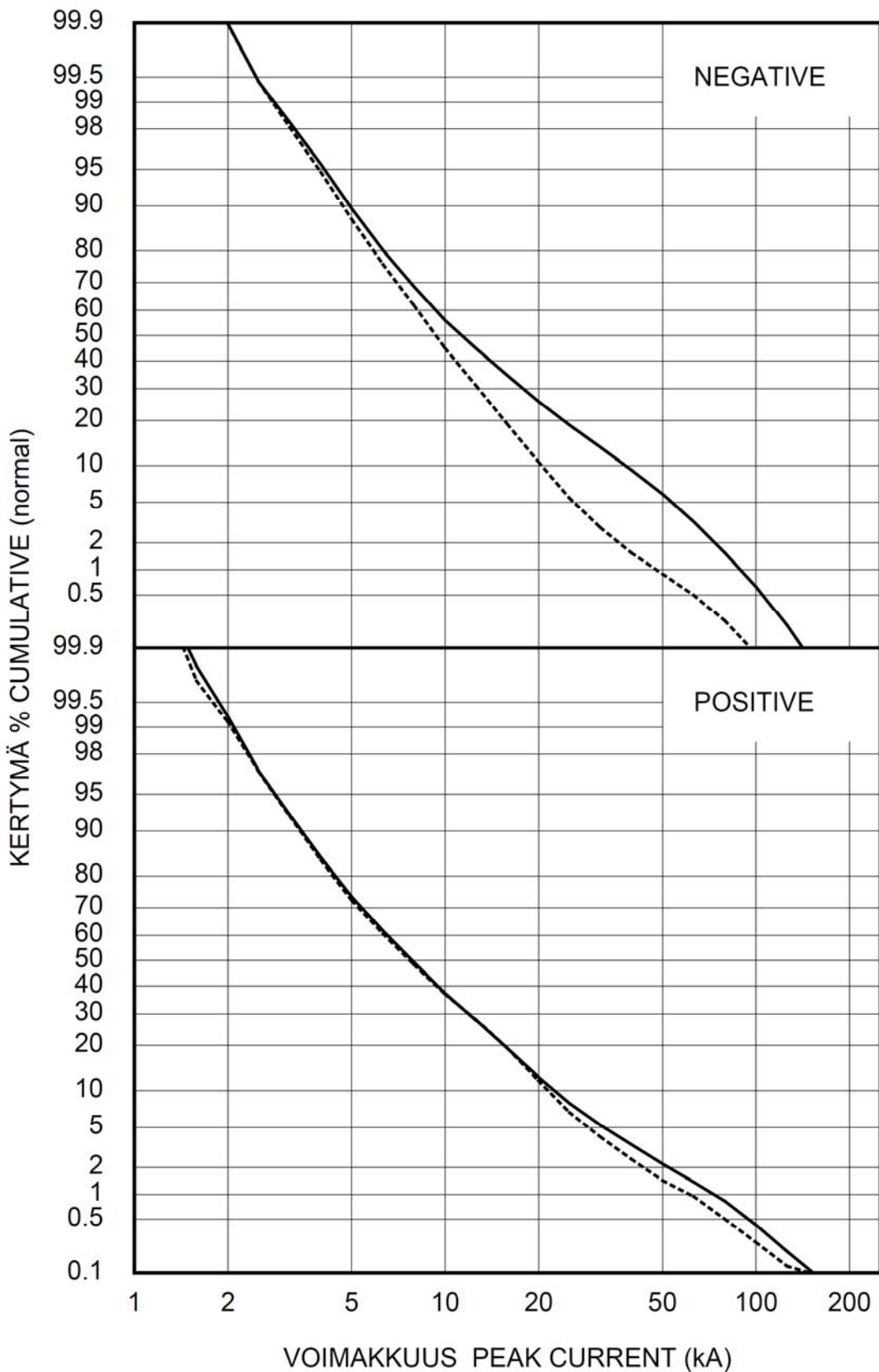


Kuva 27. Päivä 0815, 5989 salamaa.  
Fig. 27. Day 0815, 5989 flashes.



Kuva 28. Paikannustarkkuuden mediaani (km) 2014. Ruutujen keskiarvo on 0.4 km.

Fig. 28. Median location errors (km) in 2014. The mean value of the squares is 0.4 km.



Kuva 29. Voimakkuuksien (kA) kertymäjakautumat: osuus (%) jolla arvo ylitetään. Ehyt viiva: ensimmäiset osaiskut; katkoviiva: myöhemmät osaiskut.

*Fig. 29. Cumulative distributions of strengths (kA): percentage of value exceeded. Solid line: first strokes; dashed line: subsequent strokes.*

paikannetut maasalamat siten, että värit kuvavaat eri UTC-tunteja (Suomen kesääika on UTC+3 tuntia).

Ukkoset jaetaan syntytapansa mukaan rintama- ja ilmamassaukkosiin. Rintamaukkoset syntyvät kylmän, lämpimän tai okluusiorintaman yhteydessä. Ilmamassaukkosista erotetaan kolme lajia: lämpöukkonen, joka syntyy lämpimässä ilmamassassa; polaariukkonen, joka syntyy viileässä ilmamassassa; pintasolaukko (tai kuuronauhaukko), joka liittyy matalan paineen pintasolaan useimmiten kylmän rintaman etupuolella.

#### **4 Salamoiden kerrannaisuudet ja voimakkuudet**

Koska paikannin havaitsee salaman osaiskut erikseen, se käsittelee koko-nesta salamaa toissijaisena suureena, joka saadaan ryhmittelemällä iskuja tietyjen ehtojen puitteissa. Paikan-nusvirheiden takia samaan pisteeeseen maassa osuvat iskut paikantuvat hieman eri kohtiin, mutta usein salaman eri iskut myös todella haarukoituvat ja voivat osua jopa kilometrien päähän toisistaan. Paikantimessa on etäisyys-rajaksi asetettu 10 km. Paikkaeron lisäksi tärkeä on aikaero: peräkkäisille iskuille oletetaan enintään 0,5 sekuntia. Haarukoitumista on käsitelty vuosikir-jassa (Salamahavainnot 1999).

Maasalamat ovat napaisuudeltaan negatiivisia tai positiivisia riippuen siitä, kumman merkkisestä pilven varaus-alueesta ne tuovat varausta. Negatiivinen päävaraauus on pilven keskellä syntyi-vissä (lumi)rakeissa ja positiivinen pil-ven huipussa pienissä jääliteissä. Jonkin verran positiivista varausta on myös aivan pilven alaosassa. Erinapaisten salamoiden purkausme-kanismi on hieman erilainen, ja niinpä negatiivinen on usein moni-iskuinen, kun taas positiivinen salama on useim-

colours representing different UTC-hours (Finnish local time is UTC+3 hours).

Thunderstorms can be classified into frontal and air-mass types. Frontal thunderstorms are associated with cold, warm, or occluded fronts. Air-mass thunderstorms (i.e., those not associated with fronts) are divided into three types: warm-mass storm, developing in warm air mass; polar thunderstorm, developing in cool air mass; surface-trough storm (or squall-line storm), associated with a low pressure surface trough, usually preceding a cold front.

#### **4 Flash multiplicities and peak currents**

Because the location system detects the strokes separately, it treats a whole flash as a secondary quantity, which is obtained by grouping strokes under certain conditions. Due to location errors, strokes to the same point at the ground are located slightly separated, but often different strokes of a flash indeed undergo forking and may hit at points several kilometers apart. In the location system, 10 km has been set as a limit for a flash. In addition to the strike-point separation, the interstroke interval is assumed to be at most 0.5 seconds. Forking has been discussed in Lightning Observations 1999.

Ground flashes are negative or positive depending on the polarity of their source region in the cloud. The main negative charge resides on graupel particles in the middle of the cloud, and the main positive charge is carried by small ice crystals at the cloud top. There is also some positive charge near the lower edge of the cloud. The dis-charge mechanisms of negative and positive lightning are slightly different, and a negative flash is often multiple while a positive flash usually consists

miten vain yksi-iskuinen. Osaiskujen lukumäärää salamassa sanotaan kerrannaisuudeksi. Salamoissa esiintyy toisinaan kummankin merkkisiä osaiskuja, jolloin napaisuuden määrää ensimmäinen osaisku.

Salamasuureiden tilastot vuodelle 2014 näkyvät taulukossa 2. Tunnusluvut on laskettu ensimmäisille osaiskuille.

Salaman voimakkuutta kuvataan osaiskun (pääsalaman) sähkövirran huippuarvolla, yksikkönä kiloampeeri (kA). Mittaus ei ole suora vaan se perustuu anturien havaitseman salamasignaalilominaisuuksiin. Keskusyksikkö normittaa signaalil 100 km etäisyydelle ja muuntaa pulssin voimakkuuden virta-arvioksi melko yksinkertaisella muunnoskaavalla. Mittauksilla on voitu todeta, että paikantimen ilmoittama arvio on hyvin lähellä totuutta, mutta varsinkin virtajakautuman ääripäiden osalta osuvuudessa on hajontaa.

*Taulukko 2. Tilastoja negatiivisille, positiivisille ja kaikille salamoille.*

	Neg.	Pos.	Kaikki
<b>Voimakkuus [kA]</b>			
mediaani	-10,9	7,5	10,0
keskiarvo	-17,0	11,3	15,6
Kerrannaisuus	2,1	1,3	1,9
1-iskuiset [%]	50,6	81,0	58,0
Napaisuus [%]	75,7	24,3	
>100 kA [#/ %]	842 / 0,58	181 / 0,39	1023 / 0,53
>160 kA [#/ %]	46 / 0,032	33 / 0,07	79 / 0,04
Anturiluku	6,0	3,9	5,5
<b>Tarkkuus [km]</b>			
mediaani	0,3	1,2	0,4
keskiarvo	1,5	3,2	1,9

Kuva 29 esittää negatiivisten ja positiivisten salamoiden (1. osaiskujen) voimakkuusjakautumat siten, että pystyasteikko on normaalijakautuman kerty-

of only one stroke. The number of strokes in a flash is called the multiplicity. Sometimes, strokes of both polarities may occur in a flash; then the polarity of the flash refers to that of its first stroke.

Statistics for flash (i.e., first stroke) parameters for year 2014 are shown in Table 2.

The strength of a lightning discharge is described as the peak electric current of the (return) stroke, in units of a kiloampere (kA). The measurement is an estimate based on the characteristics of the lightning waveform. The system computes it by normalizing the signal strength to the range of 100 km and conversing this value to peak current with a fairly simple equation. Based on several field studies, the peak current seems to be a realistic estimation, although some discrepancy occurs for the very lowest and highest currents.

*Table 2. Statistics of flash parameters for negative, positive and all flashes.*

	Neg.	Pos.	All
<b>Peak current [kA]</b>			
median	-10,9	7,5	10,0
mean	-17,0	11,3	15,6
Multiplicity	2,1	1,3	1,9
Single stroke [%]	50,6	81,0	58,0
Polarity [%]	75,7	24,3	
>100 kA [#/ %]	842 / 0,58	181 / 0,39	1023 / 0,53
>160 kA [#/ %]	46 / 0,032	33 / 0,07	79 / 0,04
ANSR	6,0	3,9	5,5
<b>Accuracy [km]</b>			
median	0,3	1,2	0,4
mean	1,5	3,2	1,9

Fig. 29 shows the peak-current distributions of negative and positive flashes (first strokes) so that the vertical scale is normal cumulative and the

mä ja vaaka-asteikko on voimakkuus logaritmisenä. 50 % negatiivisista salamoista ylittää 10,9 kA ja positiivisten mediaaniarvo on 7,5 kA. Negatiivisista salamoista 0,58 % (842 kpl) ylitti voimakkuudeltaan (itseisarvo) 100 kA, positiivisista 0,39 % (181 kpl). Voimakkuuden 160 kA ylitti 46 kpl negatiivista ja 33 kpl positiivista salamaa.

Negatiivisten salamoiden (eli ensimmäisten osaiskujen) keskiarvo on  $-17,0$  kA ja positiivisten  $11,3$  kA. Myöhempää osaiskuja ei enää erikseen tilastoida, mutta niiden voimakkuus negatiivilla salamoilla on keskimäärin  $0,7$  ensimmäisestä osaiskusta, positiivilla vain hieman heikompi.

Paikantimen havaintotehokkuutta kuvaavat keskimääräinen anturiluku, eli monikko anturi keskimäärin on mukana salaman paikannuksessa (ks. Salamahavainnot 2008). Suomessa ja lähiympäristössä keskilukumäärä vuonna 2014 oli 5,5 anturia: negatiivilla salamoilla 6,0 ja positiivilla 3,9. Anturiluku 5,0 vastaa karkeasti havaintotehokkuutta  $> 90\%$ , mutta tällä on alueellista vaihtelua.

## **5 Salama- ja iskutiheydet vuosina 1960 – 2014**

Aikaisemmassa vuosikirjassa (Salamahavainnot 2001) esitettiin vuodesta 1960 lähtien kootut salamatiheyksien yhteenvedot  $315\,000\text{ km}^2$  pinta-alalle, joka vastaa 5-asemaisen maasalamapaikantimen havaintoalueita vuosina 1998–2001. Vuodesta 2002 tehokas havaintoalue on käsittänyt koko maan, jolloin karttaruutujen yhteispinta-ala on  $377\,000\text{ km}^2$ . Jos vuoden 2014 keskihavaintotehokkuudeksi oletetaan 96 %, lasketaan salamatiheys ( $100\text{ km}^2$  kohti) jakamalla paikannettu salamamäärä luvulla 3619. Salamatiheys, eikä salamoiden kokonaismäärä, säilyttää vertailukelpoisuuden niihin vuosiin, jolloin Lappi oli huonommin katettu.

horizontal scale is logarithmic peak current. 50 % of negative flashes exceed  $10.9$  kA, and for positive flashes the median value is  $7.5$  kA. Of the negative flashes, 0.58 % (842) exceeded the (absolute) value  $100$  kA; of the positive flashes, 0.39 % (181). The peak current  $160$  kA was exceeded by 46 negative and 33 positive flashes.

The mean peak current of the negative flashes (i.e. first strokes) is  $-17.0$  kA, and for positive flashes it is  $11.3$  kA. Subsequent stroke statistics are made no more, but their peak current for negative flashes is 0.7 of the first stroke on the average; for positive flashes, only slightly lower.

The detection efficiency (DE) of the location system is characterized by the average number of sensors reporting (ANSR) a flash (see Lightning Observations 2008). In Finland and surroundings, the mean in 2014 was 5.5 sensors; 6.0 for negative, and 3.9 for positive flashes. ANSR 5.0 suggests a DE of  $> 90\%$ , with some regional variation.

## **5 Flash and stroke densities in 1960 – 2014**

In a previous report (Lightning Observations 2001) the summaries of flash densities since 1960 were given for an area of  $315,000\text{ km}^2$ , corresponding to the detection area of the 5-sensor location system in 1998–2001. Since 2002, the high-efficiency area has covered the whole country, for which the total map-square area is  $377,000\text{ km}^2$ . If the mean detection efficiency for 2014 is assumed 96 %, the flash density (per  $100\text{ km}^2$ ) is calculated by dividing the number of located flashes by 3619. Flash density, rather than the total number of flashes, preserves the comparability with the years when Lapland was worse covered.

Vuosien 1960-2014 kuukausittaiset salamatihedet sekä vuotuiset ukkospäiväluvut ovat taulukossa 3 (iskutihes on 1,8 kertaa salamatihes). Vuoden 2014 ukkospäiväluku 15,1 on kuvan 5 lukujen keskiarvo.

Kuvassa 30 on salamanpaikantimen tulosten vuosikeskiarvo jaksolta 1998-2014. Ukkospäiväluvut on korjattu kuten kuvassa 5. Vuodesta 2000 lähtien salamatihedet ovat korjaamattomia, aikaisemmat on kerrottu 1,34:llä. Pohjois-Lapin luvut ovat liian pieniä (samoin koko maan keskisalamamäärä), koska sieltä on paikannettuja salamoita vain vuodesta 2002 lähtien. Vuorokautiset keskiarvot kuvan 30 alaosassa ovat hyvin vaihtelevia, koska runsaimmat ukkoseet osuvat eri vuosina yleensä eri päiville.

Useissa aikaisemmissa Salamahavainnoissa (1999, 2000, 2001, 2003) on tarkasteltu käsitetty "ukkosen voimakuus". Vaikka rajuilmalla tuhoja aiheuttavat myös rankkasade ja voimakas tuuli, ukkosen kannalta luonteva ja selkeä voimakkauussuure on salamatihes, jonka yksikkönä tässä käytetään (paikannettuja maa-)salamoita/100 km<sup>2</sup>. Ukkoskautta kuvataan myös ilmoittamalla *erittäin rajujen ukkosten määrä*. Tätä varten etsitään suurimmat vuorokautiset salamatihedet. Tässä vuosikirjassa tilastointiin käytettyt noin 1000 km<sup>2</sup>:n kokoiset paikalliskarttaruudut kuitenkin tasoittavat salamoiden huipputihetyksiä liiaksi. Salamasolun kokoa vastaava sopiva karttaruutu on kooltaan 20 km x 20 km. "Ukkonen" tässä mielessä määritellään salamoiden esiintymisenä mainitussa ruudussa vuorokauden aikana (0-24 UTC). Jos tiheys ylittää 80 salamaa/100 km<sup>2</sup>, ukkosta sanotaan erittäin rajuksi. Vuodesta 2000 lähtien niitä on esiintynyt seuraavasti:

The monthly flash densities for 1960-2014 and the annual thunder day numbers are given in Table 3 (the stroke density is 1.8 times the flash density). The thunder-day number, 15.1, in 2014 is the mean of the numbers in Fig. 5.

Fig. 30 shows the annual mean of the location results for 1998-2014. The thunder-day numbers have been corrected as in Fig. 5. The flash densities since 2000 are uncorrected and the earlier ones have been multiplied by 1.34. The numbers in northern Lapland (as well as the total mean number of flashes in the country) are still too small, because there flashes were not detected until 2002. The daily means in the lower panel of Fig. 30 are very variable because the most active days are generally different in different years.

In several previous issues of this series (1999, 2000, 2001, 2003), the concept "thunderstorm intensity" has been discussed. Although damages are also caused by heavy precipitation and strong wind, a natural and clear measure of thunderstorm intensity is the flash density, which is here expressed in units of (located ground) flashes/100 km<sup>2</sup>. The thunderstorm season is also characterized by giving the *number of exceptionally violent thunderstorms*. For this, the maximum daily flash densities are sought. However, the local map squares of about 1000 km<sup>2</sup> size, used as the basis for the statistics in this yearbook, smooth down the peak flash densities too much. A map square appropriate for the size of a flash cell is 20 km x 20 km. A "thunderstorm" in this sense is defined as the occurrence of flashes in this square during a day (0-24 UTC). If the density exceeds 80 flashes/100 km<sup>2</sup>, the storm is called exceptionally violent. Since 2000, such cases have occurred as follows:

vuosi	ruutuja	päiviä	suurin tih.	year	squares	days	max dens.
2000	3	1	194	2000	3	1	194
2001	7	2	137	2001	7	2	137
2002	0	0	74	2002	0	0	74
2003	23	4	233	2003	23	4	233
2004	3	1	95	2004	3	1	95
2005	0	0	67	2005	0	0	67
2006	0	0	62	2006	0	0	62
2007	2	1	84	2007	2	1	84
2008	0	0	80	2008	0	0	80
2009	0	0	50	2009	0	0	80
2010	12	3	119	2010	12	3	119
2011	2	2	190	2011	2	2	190
2012	6	2	101	2012	6	2	101
2013	1	1	94	2013	1	1	94
2014	4	3	97	2014	4	3	97

Esiintymispaikat olivat Tornion lähialue (2000, 2005), Etelä-Suomi (2001), Pohjois-Lappi (2002), Pohjanmaa (2003), Pohjoisin Lappi (2004), Häme (2006) sekä Espoo ja Kotka (2007), Oulu (2008), Suomenlahti (2009), Keski-Suomi (2010 ja 2011), Varsinais-Suomi ja Kainuu (2012), sekä Päijät-Häme (2013). Vuonna 2014 esiintymisalueet olivat Lappi (15.7.), Uusimaa (29.7.) ja Pohjois-Pohjanmaa (31.7.).

The regions were the north end of the Gulf of Bothnia (2000, 2005), southern Finland (2001), northern Lapland (2002), Ostrobothnia (2003), northernmost Lapland (2004), SW inland (2006), the south coast (2007), Oulu (2008), the Gulf of Finland (2009), Central Finland (2010-2011), the SW Finland and the Kainuu region (2012), and the SW inland (2013). In 2014 the regions were Lapland (July 15<sup>th</sup>), southern coast (July 29<sup>th</sup>) and the Northern Ostrobothnia (July 31<sup>st</sup>).

## Lähdeviitteet

Cummins, K.L., M.J. Murphy, E.A. Bardo, W.L. Hiscox, R.B. Pyle, ja A.E. Pifer, 1998. A combined TOA/ MDF technology upgrade of the U.S. National Lightning Detection Network. *J. Geophys. Res.* 103, 9035-9044.

Jokinen, P., 2013. Mihin ovat salamat kadonneet? *Ilmastokatsaus*, 8/2013.

Mäkelä, A., 2011: Thunderstorm climate and lightning location applications in northern Europe. *Finnish Meteorological Institute Contributions*, 91.

Mäkelä, A., T.J. Tuomi, ja J.

## References

Cummins, K.L., M.J. Murphy, E.A. Bardo, W.L. Hiscox, R.B. Pyle, and A.E. Pifer, 1998. A combined TOA/ MDF technology upgrade of the U.S. National Lightning Detection Network. *J. Geophys. Res.* 103, 9035-9044.

Jokinen, P., 2013. Mihin ovat salamat kadonneet? *Ilmastokatsaus*, 8/2013.

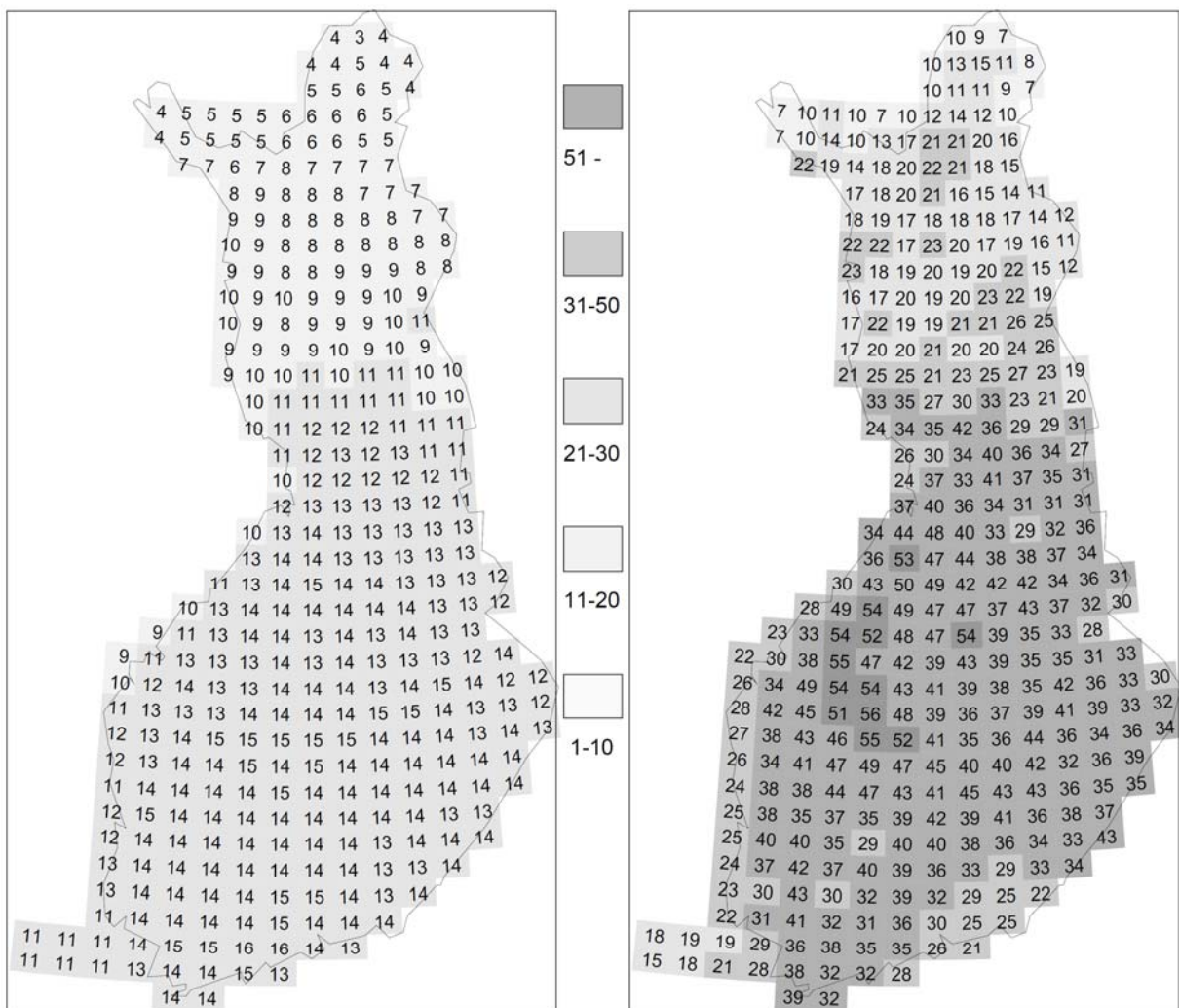
Mäkelä, A., 2011: Thunderstorm climate and lightning location applications in northern Europe. *Finnish Meteorological Institute Contributions*, 91.

Mäkelä, A., T.J. Tuomi, and J.

Taulukko 3. Keskimääräiset salamatiheydet (sataa neliökilometriä kohti) ja ukkospäivät.

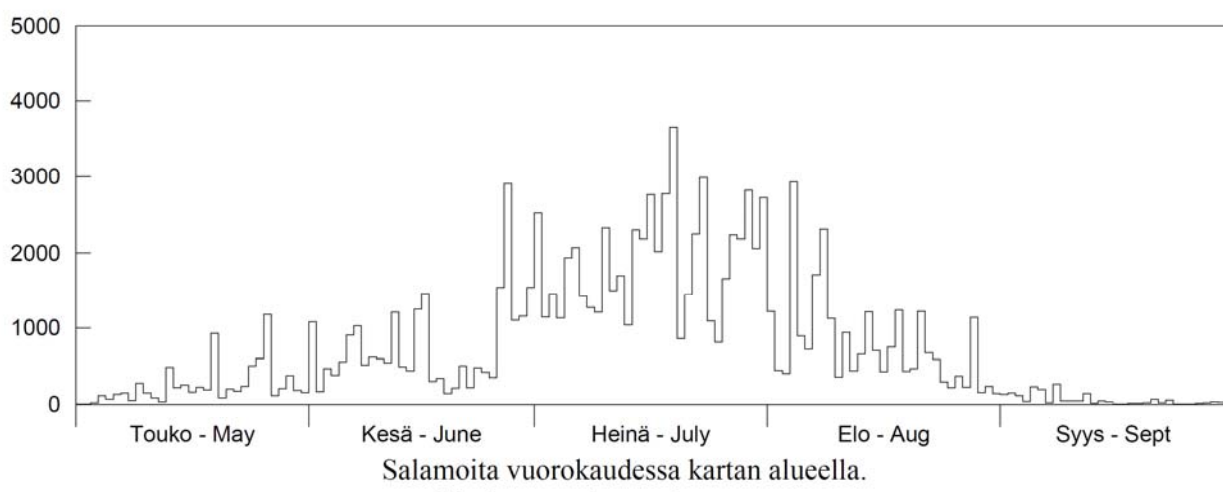
*Table 3. Mean flash densities (per one hundred square kilometres) and thunder days.*

Vuosi Year	Touko May	Kesä June	Heinä July	Elo Aug	Syys Sept	Kausi Season	Ukkospv Th days
1960	0,3	3,3	20,2	3,7	0,3	27,7	11,5
1961	0,0	25,8	18,6	13,2	0,0	57,7	15,0
1962	0,5	5,3	8,5	4,1	0,8	19,2	10,0
1963	10,5	4,5	7,5	9,2	5,5	37,2	11,0
1964	1,9	4,7	4,0	8,2	0,6	19,5	7,0
1965	0,3	5,2	5,3	4,2	1,5	16,5	8,0
1966	0,9	7,1	14,0	3,0	0,4	25,4	10,0
1967	2,9	4,8	9,2	11,4	3,7	31,9	10,0
1968	0,4	8,7	2,9	20,3	5,5	37,8	8,5
1969	2,1	8,7	14,2	7,6	0,3	33,0	8,0
1970	2,0	6,2	23,6	2,8	2,9	37,4	9,5
1971	3,5	10,1	7,7	14,8	0,5	36,5	10,0
1972	4,7	11,3	65,6	23,5	3,6	108,7	16,0
1973	2,0	9,1	42,2	23,1	0,6	76,9	12,5
1974	0,1	22,9	27,3	9,4	4,0	63,7	15,0
1975	4,5	3,2	19,3	6,0	3,3	36,4	10,0
1976	0,8	10,7	6,6	2,1	1,2	21,4	6,0
1977	4,5	9,4	17,4	11,0	1,3	43,7	10,0
1978	0,9	7,0	13,2	15,5	0,3	37,0	9,5
1979	3,8	11,0	28,9	9,9	1,1	54,8	16,5
1980	0,4	26,8	6,6	14,6	0,6	49,0	11,0
1981	1,8	18,4	35,8	4,5	0,1	60,6	13,0
1982	2,7	6,2	11,8	14,2	1,7	36,6	14,0
1983	7,1	12,7	8,8	1,1	2,0	31,8	10,5
1984	9,1	14,9	20,1	6,5	0,7	51,3	21,5
1985	1,3	19,2	8,4	16,1	1,5	46,4	15,5
1986	1,1	4,3	5,5	13,0	1,7	25,6	11,5
1987	1,8	3,2	8,0	3,3	0,6	17,0	9,2
1988	4,4	52,1	38,2	3,2	1,1	99,0	18,1
1989	0,6	21,9	3,8	4,6	3,7	34,6	11,6
1990	1,5	1,8	6,5	2,9	0,0	12,6	9,8
1991	0,7	10,3	8,8	14,0	0,5	34,2	12,9
1992	0,7	6,5	13,8	9,3	2,9	33,2	12,6
1993	2,3	2,1	11,3	2,0	0,1	17,7	10,5
1994	0,1	1,7	34,1	14,9	1,5	52,3	10,9
1995	9,9	34,8	4,1	2,4	2,6	53,8	11,5
1996	0,0	1,0	7,9	1,8	0,0	10,8	6,0
1997	0,2	5,7	31,6	3,0	0,5	41,1	17,2
1998	0,5	16,9	16,5	2,7	0,1	36,7	12,0
1999	0,6	17,6	17,4	2,3	1,5	39,4	11,5
2000	1,1	11,2	18,5	4,8	0,4	35,9	13,3
2001	0,3	1,7	22,3	3,7	0,2	28,3	10,6
2002	2,4	9,1	12,6	10,1	1,9	36,1	15,6
2003	5,9	1,5	47,3	10,1	0,6	65,4	16,7
2004	3,8	3,3	15,7	14,3	1,6	38,7	17,5
2005	1,6	2,6	12,5	2,4	0,2	19,3	11,7
2006	0,8	1,7	10,8	5,3	0,1	18,9	8,5
2007	2,8	0,6	4,2	8,6	0,6	16,9	9,0
2008	0,2	5,1	5,3	6,6	0,2	17,5	9,5
2009	1,8	2,9	5,5	4,4	0,3	14,8	9,0
2010	4,4	1,7	20,0	20,2	0,1	46,3	10,5
2011	0,7	12,9	31,4	4,6	0,3	49,8	11,8
2012	0,6	1,9	14,6	3,6	0,8	21,6	9,2
2013	1,6	21,9	6,0	2,7	0,5	32,7	10,2
2014	7,2	4,2	32,4	11,7	0,1	55,6	15,1
60-14	2,3	9,8	16,6	8,2	1,2	38,3	11,7



Ukkospäivät (pinta-alakorjatut). Keskiarvo on 11.4.  
Thunder days (area-corrected). The mean is 11.4.

Salamat sataa neliökilometriä kohti.  
Flashes per one hundred square kilometres.



Kuva 30. Vuosikesiarvoja jaksolta 1998-2014 (kokonaismäärä 116879 salamaa vuodessa).  
Fig. 30. Annual means for the period 1998-2014 (total number 116879 flashes per year).

Haapalainen, 2010. A decade of high-latitude lightning location: effects of the evolving location network in Finland. *J. Geophys. Res.*,  
doi:10.1029/2009JD012183.

Tuomi, T.J., ja A. Mäkelä, 2008. Thunderstorm climate of Finland 1998-2007. *Geophysica*, 44(1-2), 29-42.

Tuomi, T.J., ja A. Mäkelä, 2009. *Ukkosta ilmassa*. Ursala. (In Finnish)

Haapalainen, 2010. A decade of high-latitude lightning location: effects of the evolving location network in Finland. *J. Geophys. Res.*,

doi:10.1029/2009JD012183.

Tuomi, T.J., and A. Mäkelä, 2008. Thunderstorm climate of Finland 1998-2007. *Geophysica*, 44(1-2), 29-42.

Tuomi, T.J., and A. Mäkelä, 2009. *Ukkosta ilmassa*. Ursala. (In Finnish)

## Liite 1: Salamanpaikannin

Salamanpaikantimien suurin valmistaja on Vaisala Oyj. Ilmatieteen laitoksen nykyinen maasalamanpaikannin hankittiin 1997, jolloin se elokuusta lähtien korvasi vanhemman mallin (ks. Salamahavainnot 1997). Paikannin koostuu pohjoismaihin sijoitetuista ns. IMPACT-tyyppisistä matalataajuusantureista (noin 30 kpl, kuva 34).

IMPACT-anturi koostuu sähkömagneettisten aaltojen suuntimesta sekä satelliittipaikantimen (GPS) vastaanottimesta. IMPACT-anturi käsittää matalataajuusalueen (LF) magneetti- ja sähkökentän antennit sekä signaalia testaavan ja muokkaavan elektronikan. Jos signaali näyttää olevan peräisin maasalamasta, tiedot siitä, mm. tulosuunta ja voimakkuus, lähetetään keskusyksikölle. GPS-kellon avulla muukaan liitetään tarkka aikaleima. Jos vähintään kahdelta anturilta tulee tarpeeksi yhtäaikainen havainto, keskusyksikkö laskee suuntien leikkauuspisteen, ja käyttää lisäksi aikaeroja paikannuksen tarkentamiseen sekä paikannusvirheen arvioimiseen. IMPACT-anturin nimitys, IMProved Accuracy by Combined Technology, viittaa näiden kahden riippumattoman paikannusmenetelmän (suuntimisen ja aikaeron) yhdistämiseen. Ks. Cummins *et al.* (1998). Jaksolla 2001-2010 Suomessa

## Appendix 1: Lightning location system

The largest manufacturer of lightning location systems is Vaisala Inc. FMI purchased the present system for ground lightning in 1997; since August, it replaced the older model (see Lightning Observations 1997). It is based on about 30 so called IMPACT-type low frequency sensors situated all around the Nordic countries.

A sensor of the location system consists of a direction finder of electromagnetic waves and a GPS satellite receiver. The IMPACT sensor has magnetic and electric low-frequency (LF) antennae and electronics for testing and processing the signal. If the signal seems to have originated from a ground stroke, its data, e.g. azimuth of arrival and strength, are sent to the central processor. The GPS clock provides an accurate time stamp for the event. If sufficiently simultaneous observations arrive from at least two sensors, the central unit computes the intersection of the directions, and utilizes also the time-of-arrival differences to improve the location accuracy and to estimate the error. The name of the IMPACT sensor, IMProved Accuracy by Combined Technology, refers to a combination of these two independent methods (direction finding and time-of-arrival). See Cummins *et al.* (1998). In

oli käytössä myös VHF-taajuuksilla toimiva ns. SAFIR-verkko erityisesti pilvisalamoiden havainnointiin. Laitteisto on kuitenkin purettu liian monen anturin hajottua.

Osa matalataajuus-antureilla havaituista salamoista järjestelmä tulkitsee pilvisalamoiksi niiden lyhyemmän pulssinpituuden perusteella. Näiden voimakkuus ei kuitenkaan selkeästi eroa maasalamoista. Tällaiset pilvisalamaluokitellut paikannukset on jätetty pois tämän julkaisun tilastoista. Näiden osuus on noin 20-50 % kaikista paikan nettista salamoista, mutta lukua ei kuitenkaan tule tulkitta aivan suoraviivaisesti. Jos ajallisesti ja paikallisesti yhtenäisessä iskuryppäässä on maaiskuiksi tulkittuja, näistä kootaan maasalama, jonka kerrannaisuus on maaiskujen lukumäärä. Jos mukana on pilviluokiteltuja iskuja, näistä jokainen erikseen ilmoitetaan pilvisalamaksi. Nämä siis tapaus, joka koostuu maasalamasta ja siihen liittyvistä pilvensisäisistä purkauksista, on fysikaalisesti vain maasalama, mutta mukana on myös näennäisesti erillisiä pilvisalamoita (syy-yhteyden paljastaa yleensä helppoimmin sekuntia pienempi aikaero). Maa- ja pilvisalamahavaintojen suhteita on käsitelty Salamahavainnot 2009 - julkaisussa.

Salamanpaikantimen havaintotehokkuus eli paikannettujen ja todellisten salamoiden lukumäärien suhde on vaikea määrittää, ja pääosa tuloksista esitetäänkin ilman korjauksia. Joka tapauksessa paikannukseen tarvitaan vähintään kahden anturin havainto (kun kyse on suuntimisesta; pelkässä aikateripaikannuksessa tarvittaisiin neljä). Vuosien saatossa havaintotehokkuus on parantunut huomattavasti (ks. Salamahavainnot 2008).

Myös paikannustarkkuus on parantunut. Uusien anturien mukaantulon jälkeen

2001-2010 a SAFIR VHF interferometer system was also operated, but because of too many broken sensors the system has now been removed.

A fraction of all low frequency observations are classified as cloud flashes according to their shorter pulse length; their strength does not differ clearly from ground flashes. Locations with this interpretation have been removed from the statistics of this publication. However, the percentage should not be interpreted in a straightforward way; if a cluster of temporally and spatially coherent strokes contain some interpreted as ground strokes, these are grouped into a ground flash with the appropriate multiplicity. If there are cloud-classified strokes, each of them is separately interpreted as a cloud flash. Hence, a case consisting of a ground flash with associated cloud discharges is physically just a ground flash, but it is apparently accompanied by separate cloud flashes (the causal connection is best revealed by a time difference less than a second). The ratio between cloud and ground flashes in Finland has been discussed in an earlier yearbook (Lightning Observations 2009).

The detection efficiency of the location system, or the ratio of located to true flashes, is difficult to estimate, and therefore most of the results are given uncorrected. In any case, finding a location requires the detection by at least two sensors (in direction finding; mere time-of-arrival would need four). The detection efficiency has improved during the years, and this topic has been discussed in Lightning Observations 2008.

The location accuracy has also improved. After the addition of new

tarkkuuden mediaani on lähes koko maassa alle 1 km. Kuten huippuvirta, tarkkuuskin on arvio eikä suora mittaus. Tarkkuudella tarkoitetaan sellaisen ellipsin isoakselin puolikasta, jonka keskipiste on laskettu paikka ja jonka sisällä todellinen iskupaikka on 50 % todennäköisyydellä. Todellisen ja arviodun iskupaikan välinen ero on voitu määrittää vain muutamissa tapauksissa, joissa todellinen iskupaikka on tiedossa. Näiden perusteella on voitu todeta, että paikantimen ilmoittama paikka-arvio on realistinen ja käyttökeloinen mm. vahinkotapaustutkimuksissa. Tätä on käsitelty vuoden 2010 Salamahavainnoissa.

Laitteisto paikantaa jonkin verran myös harhoja, esim. Etelä-Euroopan ukkosesita voi jokin paikannus harhautua Suomen alueelle, tai Suomessa oleva salama voi paikantua reilusti virhearviota etäämmäksi. Vähäsalamaisessa tilanteessa asia voidaan tarkistaa säättukista, mutta yleensä harhojen tunnistaminen on toivoton tehtävä. Ne ovat tavallisesti 2-3 anturin paikanniukseja, mutta toisaalta kaikki tällaiset eivät ole harhoja. Pääosa harhoista on saatu poistumaan mm. rajoittamalla etäisyyttä antureilta, joilta paikanniukset hyväksytään.

## **Liite 2: Ukkosten pitkän jakson tilastot**

Jakson 1998-2007 ukkosisia on tarkasteltu ilmastollisesta näkökulmasta julkaisussa *Tuomi ja Mäkelä (2008)*. Väitöskirja käsittelee niin ikään Suomen ukkosilmastoa sekä salaman-paikantimen tehokkuutta ja sovelluksia (*Mäkelä, 2011*).

Korkeilla leveysasteilla sään luonnollinen vaihtelu on suurta, ja tämä näkyy hyvin myös Suomen ukkosissa, sillä erot vuosittaisissa salamamääriissä sekä rajuimpien ukkosten esiintymisalueissa

sensors, the median error in almost the whole country is below 1 km. The error is defined as the semi-major axis of an ellipse whose centre is the calculated location and within which the true location is with 50 % probability. The difference between the actual and estimated strike point is possible to determine only in a few cases per year. However, the comparison has revealed that the location accuracy estimate given by the central processor is a realistic and usable parameter for example in damage surveys. This has been discussed more precisely in Lightning observations 2010.

The system locates also a number of outliers, say a flash in a south-European thunderstorm may be located in the Finnish territory, or a flash in Finland may be located well beyond the range of the estimated error. In a quiet situation the matter can be checked by weather radars, but generally the identification of outliers is hopeless. They are usually detected by 2-3 sensors, but all of these are not outliers. Most of the outliers have disappeared by decreasing the limit of allowed location error (now 25 km).

## **Appendix 2: Long-period time series of thunderstorms**

The thunderstorms of 1998-2007 have been studied from the climatic point of view by *Tuomi and Mäkelä (2008)*. Also, a PhD thesis discusses the thunderstorm climate and lightning location applications (*Mäkelä, 2011*).

Climate in the high latitudes contains high year-to-year variation, which is clearly visible also in the Finnish thunderstorms; the variation of annual flash counts and the positioning of the most violent storms varies

vaihtelevat huomattavasti. Kuvassa 31 on esitetty Suomen keskimääräinen vuotuinen maasalamatiheys jaksolla 1960-2014, sekä ukkospäiväluku 1887-2014. Kuvista käy selvästi ilmi huomattava vuosivaihtelu. Aineisto sisältää useiden eri mittalaitteiden havaintoja (havainnon tekijät, salamanlaskijat, ensimmäinen salamanpaikannin, nykyinen paikannin), joten tuloksissa on epävarmuksia, mutta aikasarja on pyritty yhtenäistämään mahdollisimman hyvin.

Salamoinniltaan jakson huippuvuodet ovat olleet 1972 ja 1988, jolloin keskimääräiset tiheydet olivat luokkaa 1 maasalama  $\text{km}^{-2}$  tai jopa enemmän. Viime vuosista kesät 2003, 2010, 2011 ja 2014 ovat olleet selvimmin erottuvat, mutta nekään eivät yltäneet ennätyksiin. Kuvassa esitetty 10-vuoden liukuva keskiarvo näyttää heikon laskevan trendin salamamäärissä. Toisaalta ukkospäivissä trendi on heikko nouseva. Koska trendit ovat hyvin heikkoja, aikasarjasta on vaikea tehdä johtopäätöksiä. Asiaa on käsitelty tarkemmin *Jokinen (2013)*.

### Liite 3: Salamatiheys

Salamatiheys voidaan laskea eri tavoin. Kun pienennetään hilakokoa tai aluetta johon salamoita lasketaan, salamamäärä ruutua kohti pienenee, jolloin ilmas-tollisen ja maastollisen vaihtelon päälle tulee satunnaisempi sään vaihtelun ai-heuttama kohina, jonka tasoittamiseksi tarvittaisiin kymmenien vuosien aikasarja. 1 km x 1 km ruuduilla kohina on täysin hallitseva tekijä, ja lisäksi paikannustarkkuus aiheuttaa salamoiden siirtymistä ”väärin” ruutuihin.

Kiinteän hilan ohella tilastot voidaan laskea liukuvasti tietyn pisteen ympäristössä tietyllä säteellä. Tulos on oleellisesti sama, mutta tästä tehty kuvatulkinta on huomattavasti luonnollisemman näköinen kuin

considerably. Figure 31 shows the average annual ground flash density in Finland in 1960-2014, and the average thunderstorm day number of Finland in 1887-2014. Figures illustrate well the substantial year-to-year variation. It should be noted that the data set contains uncertainties related to different observation methods (human observations, flash counters, old LLS, the present LLS), but these have been corrected as well as possible.

Regarding the number of flashes, the highest peaks are summers 1972 and 1988, during which the density was about 1 ground flash  $\text{km}^{-2}$  or even above. From the latest years, summers 2003 and 2011 are the most clearly distinguishable, but they still did not reach record levels. The moving 10-year average shown in Fig. 31 indicates a weak negative trend; however, in the thunderstorm day statistics the trend is a weak positive. However, it is difficult to make any solid conclusions about the trends. This issue has been discussed thoroughly in *Jokinen (2013)*.

### Appendix 3: Flash density

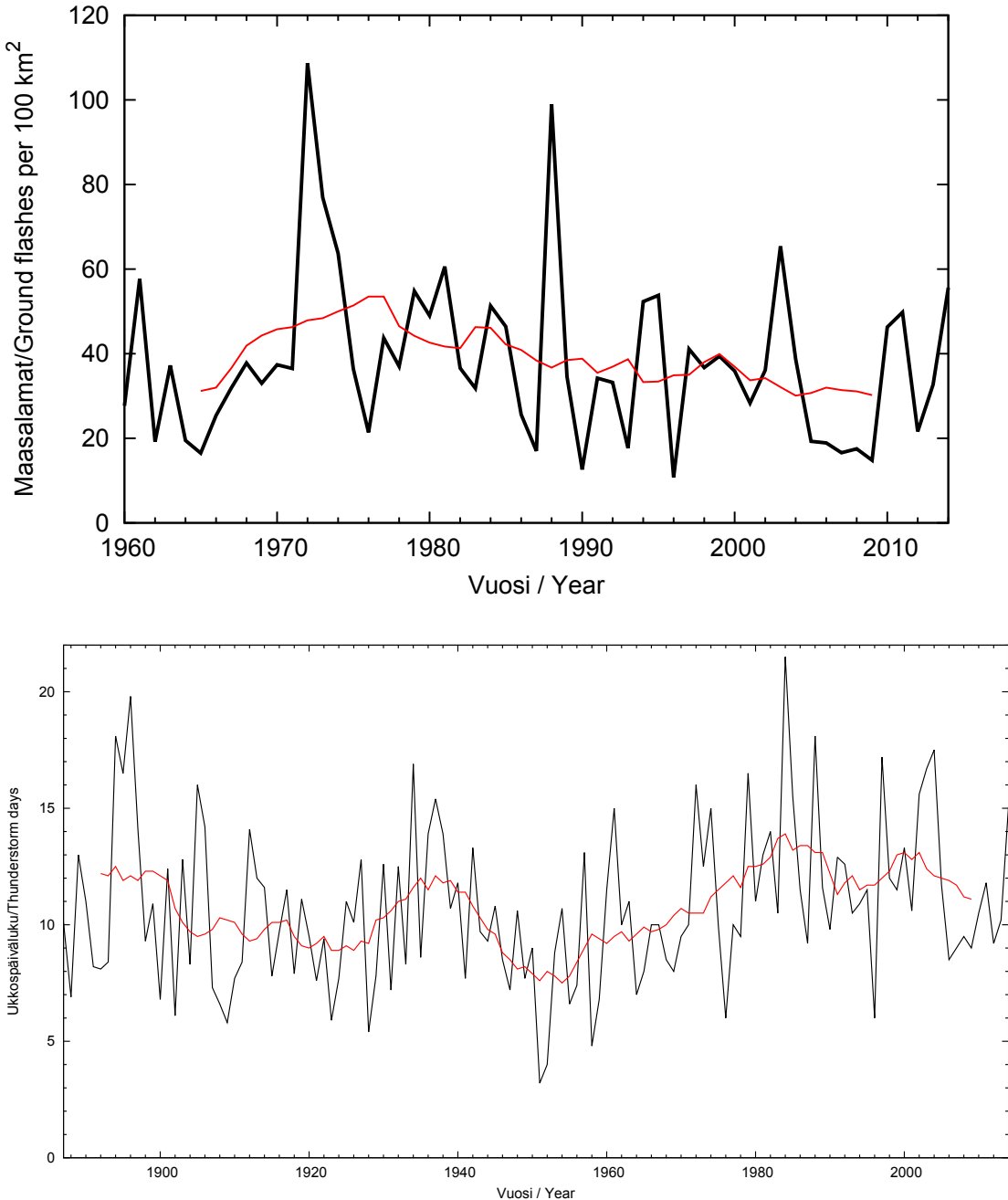
Flash density can be calculated in various ways. When the grid size or the area into which the flashes are calculated is small, then the number of flashes per square is reduced, causing noise from random weather variation, superposed on the climatic and topographic variation. A 17-year mean does not yet smooth out this noise. In a 1 km x 1 km grid, the noise is dominant, and also the location error makes the flashes to be located in “wrong” squares.

Besides a fixed grid, the density can be calculated in the surroundings of any fixed point within any radius. The result is essentially the same, but the resulting images are smooth and more natural than based on the grid.

kiinteän hilan tapauksessa.

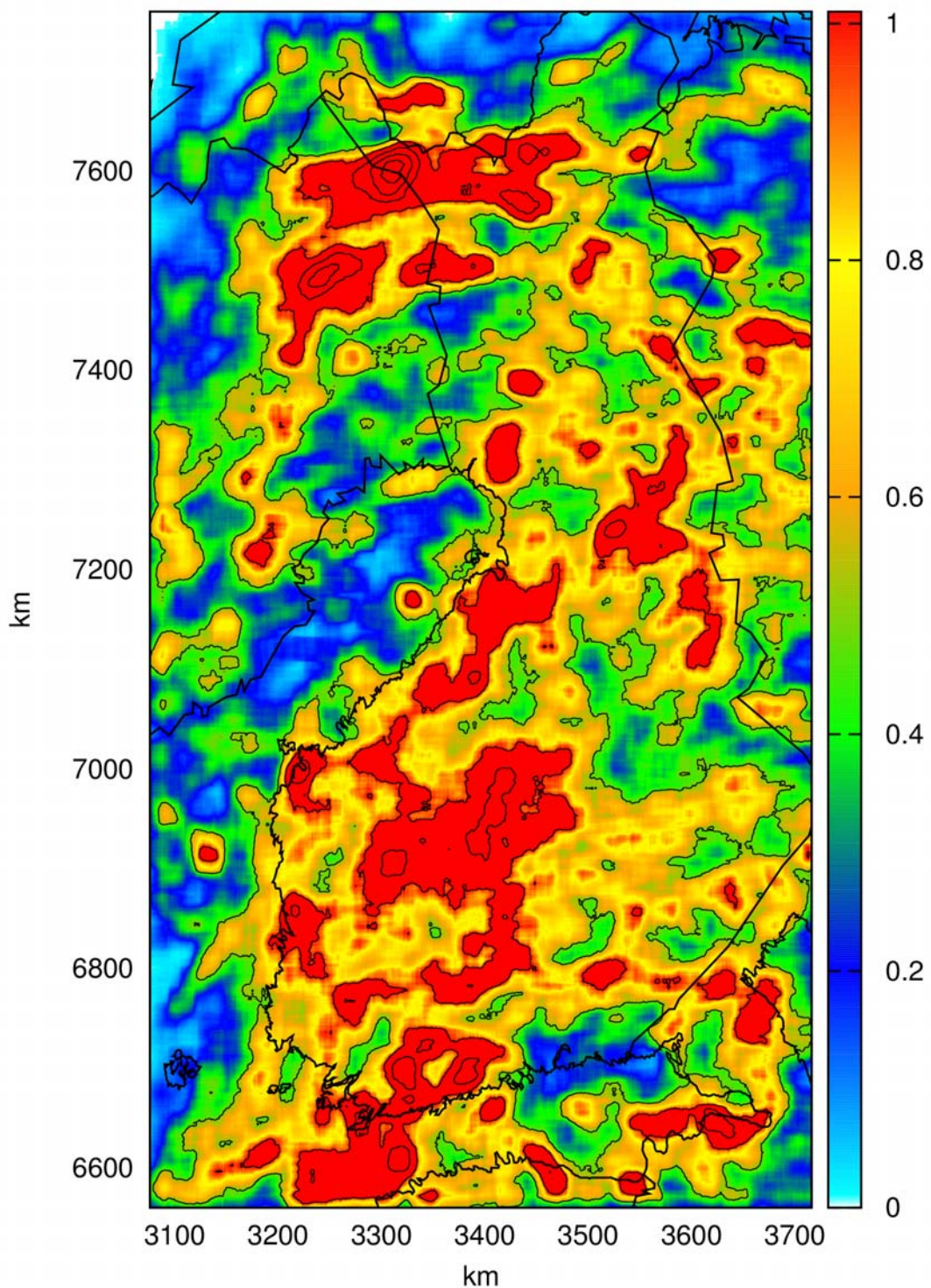
Kuvissa 32 (vuosi 2014) ja 33 (vuosien 1998-2014 keskiarvo) on esitettyinä tiheydet liukuvan menetelmän mukaan.

In Figs. 32 (year 2014) and 33 (average of 1998-2014) is presented the annual flash density calculated with the above mentioned sliding circle-method.



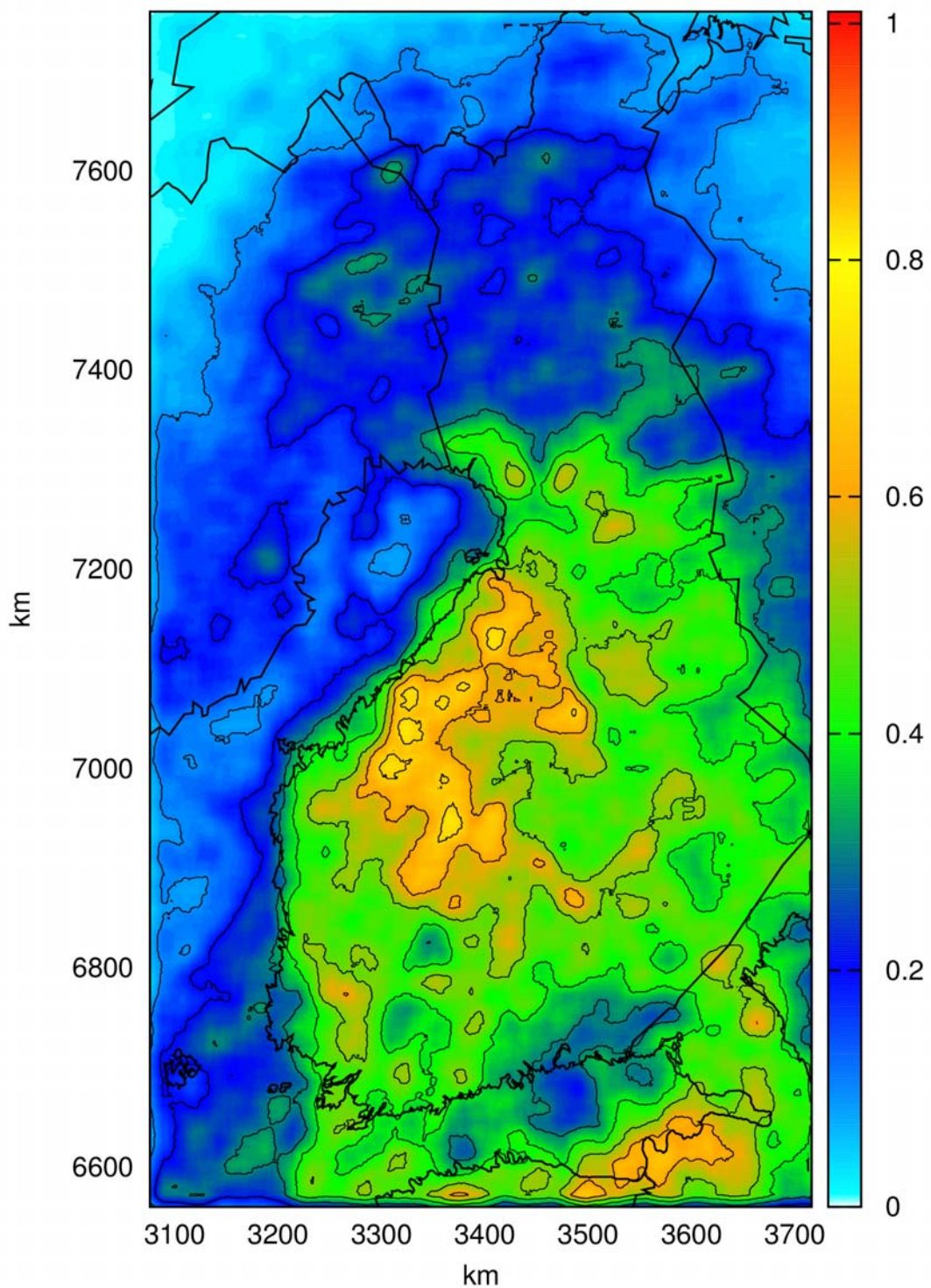
Kuva 31. Keskimääräinen vuotuinen maasalamatiheys Suomessa 1960-2014 (yllä) ja keskimääräinen ukkospäiväluku 1887-2014 (alla). Punainen viiva on 10-vuoden liukuva keskiarvo.

*Fig. 31. Average annual ground flash density in Finland in 1960-2014 (upper) and the average thunderstorm day number in 1887-2014 (lower). Red line is the 10-year moving average.*



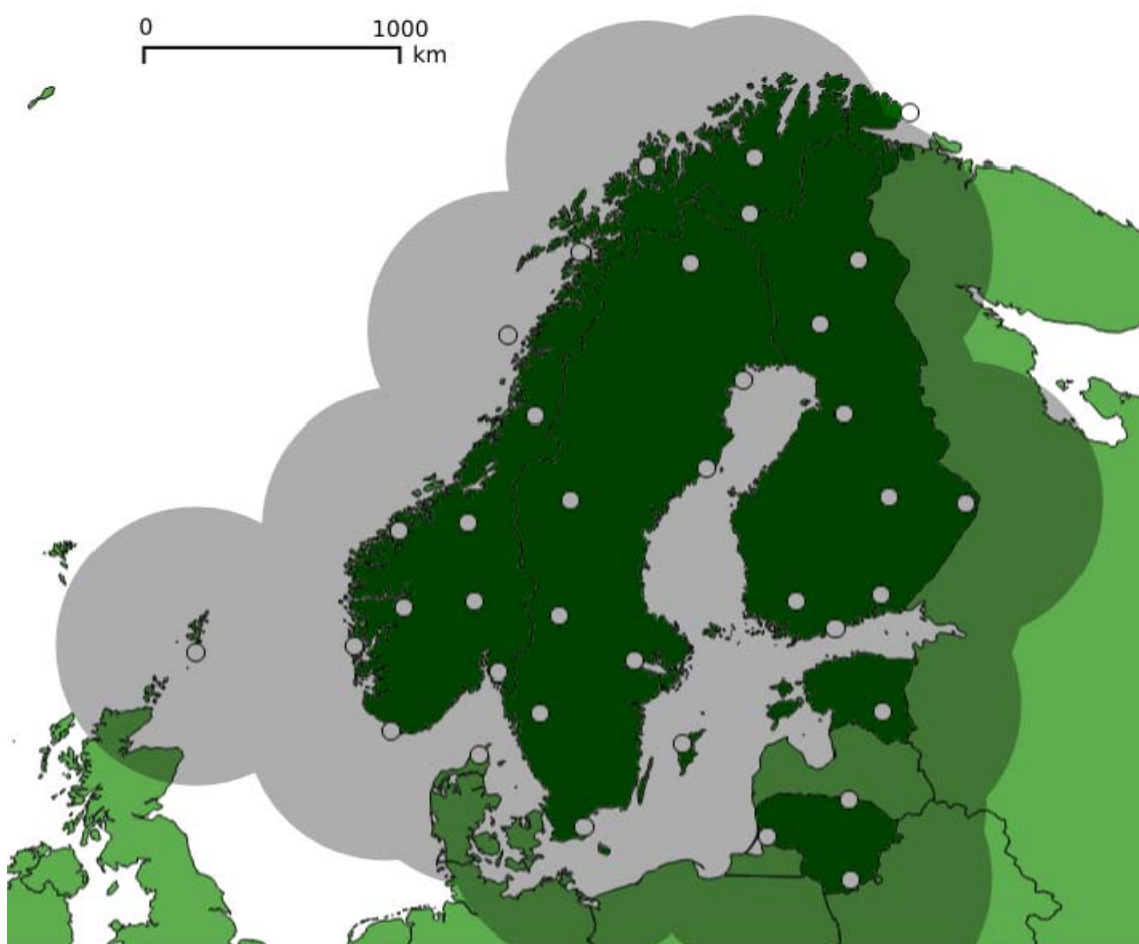
Kuva 32. Maasalamatiheys 2014 neliökilometriä kohden  $100 \text{ km}^2$  keruualueelta.

*Fig. 32. Ground flash density per  $km^2$  in 2014 calculated using a  $100 \text{ km}^2$  collecting area.*



Kuva 33. Maasalamatiheys 1998 – 2014 neliökilometriä kohden  $100 \text{ km}^2$  keruualueelta.

*Fig. 32. Ground flash density 1998 – 2014 per  $\text{km}^2$  calculated using a  $100 \text{ km}^2$  collecting area.*



Kuva 34. Pohjoismainen salamanpaikannusverkko NORDLIS. Harmaa alue kuvaaa tehokasta havaintoalueutta, valkoiset ympyrät ovat antureita.

*Fig. 34. The Nordic lightning location system NORDLIS. The shaded area is the efficient coverage area, and the white circles are the sensor locations.*

Kilpisj.	Tsaibma	Kautokeino	Lavvuolai	Norjaagalmat	Kaisavanni	Palloalvi	Inari	Nelimä
Ropi	Tarju	Urtivaara	Jiersiv.	Porrast.	Kietsimä	Menesjärvi	Ivalo	Sarmijärvi
(Kare-suv.)	Kaare-suv.	Enon-lekiö	Pelto-vuoma	Korsa-tunt.	Jänis-pää	Kut-tura	Saari-selkä	Raja-Joos.
Ounas-tunt.	Raattama	Pulju	Pokka	Portip.	Vuot-so	Sokoti	Talk-kunap.	
Muonio	Keimiöt.	Kiis-tala	Pomo-kaira	Pomo-vara	Lokka	Ala-ponku	Naltio-tunt.	Nuort-tit.
Kih-lanki	Ylläs	Kittilä	Tepsa	Pet-kula	Tanhua	Seita-järvi	Ruuvaoja	Vär-riöt.
Kolari	Kurtakko	Kauko-nen	Syvää-järvi	Sodan-kylä	Kelu-järvi	Savu-koski	Malt-tiot.	Sorsa-tunt.
Sieppi	Pasma-järvi	Lohi-niva	Unari	Luosto	Pelko-senn.	Ahven-selkä	Saija	
(Pello)	Pello	Meltaus	Perunkaj.	Nampa	Kemi-järvi	Kursu	Salla	
Turto-la	Meltos-järvi	Sinet-tä	Rova-niemi	Misi	Luusua	Karhu-järvi	Aho-lanv.	
Yli-tornio	Törmä-sjärvi	Muuro-la	Ingin-kävalo	Vantausk.	Pirtti-koski	Perä-Posio	Kitka	Ruka
Karunki	Runkaus	Rovaho	Ranua	Simo-järvi	Posio	Vasaraperä	Kuusamo	
Kemi	Simo	Oijärvi	Haara-hilti	Ryti-ki	Loukusa	Kuolio	Poussu	
Kuivaniemi	Ylli	Pudas-järvi	linat-tij.	Taival-koski	Joki-järvi	Hossa		
Haukipudas	Kii-minki	Kipi-na	Jonku	Siika-vaara	Piispajärvi	Anttila		
Oulu	Yli-kiim	Sangin-kylä	Puo-lanka	Jouko-kylä	Suomus-salmi	Kianta		
Raahere	Ruukki	Tyrnävää	Uta-järvi	Puokio-vaara	Paljakka	Hyrynsalmi	Alavuokki	
Pyhä-joki	Vihan-ti	Rant-sila	Kestilä	Oulu-järvi	Risti-järvi	Hirsijärvi	Lentiira	
Kalajoki	Yli-phieska	Haapa-vesi	Piip-polä	Pyhäntä	Kajaani	Sotkamo	Kater-ma	Kotajärvi
Kokko-la	Kannus	Sievi	Nivala	Kärsämäki	Lapinsalo	Viere-mä	Pirttimäki	Hiiden-portti
Vexala	Pietarsaari	Kausti-nen	Lesti-järvi	Reis-järvi	Pyhä-järvi	Kiuru-vesi	Rautavaara	Nurmes
Raippaluoto	Ora-vänen	Alahärmä	Evi-järvi	Perho	Kinnula	Pielavesi	Lapin-lahti	Nilsiä
Vaasa	Laihia	Kauhava	Ala-järvi	Kyy-järvi	Kivi-järvi	Vesanto	Siilin-järvi	Juan-koski
Kors-näs	Jurva	Seinä-joki	Kuor-tane	Soini	Saari-järvi	Keitele	Kart-tula	Sivakkav.
Kaski-nen	Kauha-joki	Jalas-järvi	Alavus	Ähtäri	Multia	Ääne-koiski	Rauta-lampi	Suonen-joki
Kristiina	Iso-joki	Karvia	Virrat	Keuruu	Petäjä-vesi	Jyväskylä	Hanka-salmi	Pieksämäki
Merikarvia	Honka-joki	Parka-no	Kuru	Mänttä	Jämsä	Korpi-lahti	Hauki-vuori	Varkaus
Ahla-nen	Po-markku	Ikaa-linen	Teisko	Ori-vesi	Kuhmoi-nen	Joutsa	Hirvensalmi	Mikkeli
Luvia	Pori	Vamma-la	Tam-pe	Kangas-ala	Padas-joki	Sysmä	Mänty-harju	Leppä-virta
Rauma	Koke-mäki	Huit-tinen	Toijala	Hauho	Lammi	Heino-la	Jaala	Savitaip.
Uusi-kaup.	Yläne	Loimaa	Forssa	Hämeen-linna	Kärkö-lä	Lahti	Kouvo-la	Luu-mäki
Vehmaa	Mynä-mäki	Mart-tila	Somero	Karki-kila	Hyvin-kää	Lapin-järvi	Anjal-koski	Hamina
Geta	Kum-linge	Iniö	Turku	Salo	Suomus-järvi	Lohja	Kerava	Porvoo
Marie-hamn	Föglö	Korppoo	Nauvo	Kemiö	Tammi-saari	Esposo	Helsinki	Kotka
						Hanko	Jus-särä	

Nelinumeristen karttaruutujen nimitykset.      *Names of four-digit map squares.*

1841	1843	2821	2823	2841	2843	3821	3823	3841	3843	3914	3932	3934	4911	
1812	1834	2812	2814	2832	2834	3812	3814	3832	3834	3822	3824	3842	3844	4822
1833	1811	2813	2831	2833	3811	3813	3831	3833						
2724	2742	2744	3722	3724	3742	3744	4722							
2723	2741	2743	3721	3723	3741	3743	4721	4723						
2714	2732	2734	3712	3714	3732	3734	4712	4714						
2713	2731	2733	3711	3713	3731	3733	4711	4713						
2624	2642	2644	3622	3624	3642	3644	4622							
2623	2641	2643	3621	3623	3641	3643	4621							
2614	2632	2634	3612	3614	3632	3634	4612							
2613	2631	2633	3611	3613	3631	3633	4611	4613						
2542	2544	3522	3524	3542	3544	4522	4524							
2541	2543	3521	3523	3541	3543	4521	4523							
2534	3512	3514	3532	3534	4512	4514								
2533	3511	3513	3531	3533	4511	4513								
2444	3422	3424	3442	3444	4422	4424								
2441	2443	3421	3423	3441	3443	4421	4423							
2432	2434	3412	3414	3432	3434	4412	4414							
2413	2431	2433	3411	3413	3431	3433	4411	4413	4431					
2322	2324	2342	2344	3322	3324	3342	3344	4322	4324	4342				
1343	2321	2323	2341	2343	3321	3323	3341	3343	4321	4323				
1332	1334	2312	2314	2332	2334	3312	3314	3332	3334	4312	4314	4332		
1331	1333	2311	2313	2331	2333	3311	3313	3331	3333	4311	4313	4331	4333	
1242	1244	2222	2224	2242	2244	3222	3224	3242	3244	4222	4224	4242	4244	
1241	1243	2221	2223	2241	2243	3221	3223	3241	3243	4221	4223	4241	4243	
1232	1234	2212	2214	2232	2234	3212	3214	3232	3234	4212	4214	4232		
1231	1233	2211	2213	2231	2233	3211	3213	3231	3233	4211	4213	4231	4233	
1142	1144	2122	2124	2142	2144	3122	3124	3142	3144	4122	4124			
1141	1143	2121	2123	2141	2143	3121	3123	3141	3143	4121	4123			
1132	1134	2112	2114	2132	2134	3112	3114	3132	3134	4112				
1131	1133	2111	2113	2131	2133	3111	3113	3131	3133					
1042	1044	2022	2024	2042	2044	3022	3024	3042						
1021	1023	1041	1043	2021	2023	2041	2043	3021	3023					
1012	1014	1032	1034	2012	2014	2032	2034							
		2011	2013											

Nelinumeroiden karttaruutujen numerot.

Numbers of four-digit map squares.

## **Salamahavainnot - Lightning Observations in Finland**

### **Geofysikaalisia julkaisuja - Geophysical Publications - Geofysikaliska publikationer**

Tuomi, Tapio J., 1987. Salamahavainnot 1984-1986 - Lightning Observations in Finland 1984-1986. 4, 47 p.

Tuomi, Tapio J., 1988. Salamahavainnot 1987 - Lightning Observations in Finland 1987. 5, 37 p.

Tuomi, Tapio J., 1989. Salamahavainnot 1988 - Lightning Observations in Finland, 1988. 8, 34 p.

Tuomi, Tapio J., 1989. Salamahavainnot 1989 - Lightning Observations in Finland, 1989. 11, 39 p.

Tuomi, Tapio J., 1990. Salamahavainnot 1990 - Lightning Observations in Finland, 1990. 18, 28 p.

Tuomi, Tapio J., 1991. Salamahavainnot 1991 - Lightning Observations in Finland, 1991. 25, 28 p.

Tuomi, Tapio J., 1992. Salamahavainnot 1992 - Lightning Observations in Finland, 1992. 29, 36 p.

Tuomi, Tapio J., 1993. Salamahavainnot 1993 - Lightning Observations in Finland, 1993. 34, 33 p.

Tuomi, Tapio J., 1994. Salamahavainnot 1994 - Lightning Observations in Finland, 1994. 37, 32 p.

Tuomi, Tapio J., 1995. Salamahavainnot 1995 - Lightning Observations in Finland, 1995. 40, 32 p.

Tuomi, Tapio J., 1996. Salamahavainnot 1996 - Lightning Observations in Finland, 1996. 42, 36 p.

Tuomi, Tapio J., 1997. Salamahavainnot 1997 - Lightning Observations in Finland, 1997. 44, 40 p.

Tuomi, Tapio J., 1998. Salamahavainnot 1998 - Lightning Observations in Finland, 1998. 47, 45 p.

Tuomi, Tapio J., 1999. Salamahavainnot 1999 - Lightning Observations in Finland, 1999. 50, 43 p.

Tuomi, Tapio J., 2000. Salamahavainnot 2000 - Lightning Observations in Finland, 2000. 51, 44 p.

Tuomi, Tapio J., 2001. Salamahavainnot 2001 – Lightning Observations in Finland, 2001. 55, 41 p.

Tuomi, Tapio J., 2002. Salamahavainnot 2002 – Lightning Observations in Finland, 2002. 56, 42 p.

Tuomi, Tapio J., 2003. Salamahavainnot 2003 – Lightning Observations in Finland, 2003. 57, 42 p.

Tuomi, Tapio J., 2004. Salamahavainnot 2004 – Lightning Observations in Finland, 2004. 58, 40 p.

Tuomi, Tapio J., 2005. Salamahavainnot 2005 – Lightning Observations in Finland, 2005. 59, 40 p.

### **Raportteja - Reporter - Reports**

Tuomi, Tapio J. & Mäkelä, Antti, 2006. Salamahavainnot 2006 - Lightning observations in Finland, 2006. 2006:6, 39 p.

Tuomi, Tapio J. & Mäkelä, Antti, 2007. Salamahavainnot 2007 - Lightning observations in Finland, 2007. 2007:5, 47 p.

Tuomi, Tapio J. & Mäkelä, Antti, 2008. Salamahavainnot 2008 - Lightning observations in Finland, 2008. 2008:4, 49 p.

Mäkelä, Antti & Tuomi, Tapio J., 2009. Salamahavainnot 2009 - Lightning observations in Finland, 2009. 2009:5, 51 p.

Mäkelä, Antti, 2010. Salamahavainnot 2010 - Lightning observations in Finland, 2010. 2010:5, 50 p.

Mäkelä, Antti, 2011. Salamahavainnot 2011 - Lightning observations in Finland, 2011. 2011:7, 50 p.

Mäkelä, Antti, 2012. Salamahavainnot 2012 - Lightning observations in Finland, 2012. 2012:5, 59 p.

Mäkelä, Antti, 2013. Salamahavainnot 2013 - Lightning observations in Finland, 2013. 2013:5, 58 p.

Mäkelä, Antti & Laurila, Terhi, 2015. Salamahavainnot 2014 - Lightning observations in Finland, 2014. 2015:1, 47 p.

## RAPORTTEJA — RAPPORTER — REPORTS

- 1986:
1. Savolainen, Anna Liisa et al., 1986. Radioaktiivisten aineiden kulkeutuminen Tshernobylin ydinvoimalaonnettomuuden aikana. Väliaikainen raportti. 39 s.
  2. Savolainen, Anna Liisa et al., 1986. Dispersion of radioactive release following the Chernobyl nuclear power plant accident. Interim report. 44 p.
  3. Ahti, Kari, 1986. Rakennussääpalvelukokeilu 1985-1986. Väliraportti Helsingin ympäristön talvikokeilusta 18.11.-13.3.1986. 26 s.
  4. Korhonen, Ossi, 1986. Pintatuulen vertailumittauksia lentoasemilla. 38 s.
- 1987:
1. Karppinen, Ari et al., 1987. Description and application of a system for calculating radiation doses due to long range transport of radioactive releases. 50 p.
  2. Venäläinen, Ari, 1987. Ilmasto havaintoihin perustuva arvio jyrstinturpeen tuotantoedellytyksistä Suomessa. 35 s.
  3. Kukkonen, Jaakko ja Savolainen, Anna Liisa, 1987. Myrkkylisten kaasujen päästöt ja leväminen onnettomuustilanteissa. 172 s.
  4. Nordlund, Göran ja Rantakrans, Erkki, 1987. Matemaattisfysikaalisten ilmanlaadun arvointimallien luotettavuus. 29 s.
  5. Ahti, Kari, 1987. Rakennussää tutkimuksen loppuraportti. 45 s.
  6. Hakola, Hannele et al., 1987. Otsonin vaihtelista Suomessa yhden vuoden havaintoaineiston valossa. 64 s.
  7. Tammelin, Bengt ja Erkiö, Eero, 1987. Energialaskennan säätiöt – suomalainen testivuosi. 108 s.
- 1988:
1. Eerola, Kalle, 1988. Havaintojen merkityksestä numeerisessa säännennustuksessa. 36 s.
  2. Fredrikson, Liisa, 1988. Tunturisääprojekti 1986-1987. Loppuraportti. 31 s.
  3. Salmi, Timo and Joffre, Sylvain, 1988. Airborne pollutant measurements over the Baltic Sea: meteorological interpretation. 55 p.
  4. Hongisto, Marke, Wallin, Markku ja Kaila, Juhani, 1988. Rikkipäästöjen vähentämistointimenpiteiden taloudellisesti tehokas valinta. 80 s.

5. Elomaa, Esko et al., 1988. Ilmatieteen laitoksen automaattisten merisääsemien käyttövarmuuden parantaminen. 55 s.
6. Venäläinen, Ari ja Nordlund, Anneli, 1988. Kasvukauden ilmastotiedotteen sisältö ja käyttö. 63 s.
7. Nieminen, Rauno, 1988. Numeeristen paine- ja ja korkeuskenttäennusteiden objektiivinen verifiointisysteemi sekä sen antamia tuloksia vuosilta 1985 ja 1986. 35 s.
- 1989: 1. Ilvessalo, Pekko, 1989. Yksittäisestä piipusta ilmaan pääsevien epäpuhtauksien suurimpien tuntipitoisuksien arvointimenetelmä. 21 s.
- 1992: 1. Mhita, M.S. and Venäläinen, Ari, 1991. The variability of rainfall in Tanzania. 32 p.
2. Anttila, Pia (toim.), 1992. Rikki- ja typpilaskeuman kehitys Suomessa 1980-1990. 28 s.
- 1993: 1. Hongisto, Marke ja Valtanen Kalevi, 1993. Rikin ja typen yhdisteiden kaukokulkeutumismallin kehittäminen HIRLAM-sääennustemallin yhteyteen. 49 s.
2. Karlsson, Vuokko, 1993. Kansalliset rikkidioksidin analyysivertailut 1979 - 1991. 27 s.
- 1994: 1. Komulainen, Marja-Leena, 1995. Myrsky Itämerellä 28.9.1994. Säätilan kehitys Pohjois-Itämerellä M/S Estonian onnettomuusyönä. 42 s.
2. Komulainen, Marja-Leena, 1995. The Baltic Sea Storm on 28.9.1994. An investigation into the weather situation which developed in the northern Baltic at the time of the accident to m/s Estonia. 42 p.
- 1995: 1. Aurela, Mika, 1995. Mikrometeorologiset vuomittausmenetelmät - sovelluksena otsonin mittaaminen suoralla menetelmällä. 88 s.
2. Valkonen, Esko, Mäkelä, Kari ja Rantakrans, Erkki, 1995. Liikenteen päästöjen leväminen katkuilussa - AIG-mallin soveltuvuus maamme oloihin. 25 s.
3. Virkkula, Aki, Lättilä, Heikki ja Koskinen, Timo, 1995. Otsonin maanpintapitoisuuden mittaaminen UV-säteilyn absorbiolla: DOAS-menetelmän vertailu suljettua näytteenottotilaan käyttävään menetelmään. 29 s.
4. Bremer, Pia, Ilvessalo, Pekko, Pohjola, Veijo, Saari, Helena ja Valtanen, Kalevi, 1995. Ilmanlaatuennusteiden ja -indeksin kehittäminen Helsingin Käpylässä suoritettujen mittausten perusteella. 81 s.
- 1996: 1. Saari, Helena, Salmi, Timo ja Kartastenpää, Raimo, 1996. Taajamien ilmanlaatu suhteessa uusiin ohjeearvoihin. 98 s.

- 1997: 1. Solantie, Reijo, 1997. Keväthallojen alueellisista piirteistä ja vähän talvipakkastenkin. 28 s.
- 1998: 1. Paatero, Jussi, Hatakka, Juha and Viisanen, Yrjö, 1998. Concurrent measurements of airborne radon-222, lead-210 and beryllium-7 at the Pallas-Sodankylä GAW station, Northern Finland. 26 p.
2. Venäläinen, Ari ja Helminen, Jaakko, 1998. Maanteiden talvikunnossapidon säädinaksi. 47 s.
3. Kallio, Esa, Koskinen, Hannu ja Mälkki, Anssi, 1998. VII Suomen avaruustutkijoiden COSPAR-kokous, Tiivistelmät. 40 s.
4. Koskinen, H. and Pulkkinen, T., 1998. State of the art of space weather modelling and proposed ESA strategy. 66 p.
5. Venäläinen, Ari ja Tuomenvirta Heikki, 1998. Arvio ilmaston lämpenemisen vaikutuksesta teiden talvikunnossapidon kustannuksiin. 19 s.
- 1999: 1. Mälkki, Anssi, 1999. Near earth electron environment modelling tool user/software requirements document. 43 p.
2. Pulkkinen, Antti, 1999. Geomagneettisesti indusoituvat virrat Suomen maakaasuverkostossa. 46 s.
3. Venäläinen, Ari, 1999. Talven lämpötilan ja maanteiden suolauksen välinen riippuvuus Suomessa. 16 s.
4. Koskinen, H., Eliasson, L., Holback, B., Andersson, L., Eriksson, A., Mälkki, A., Nordberg, O., Pulkkinen, T., Viljanen, A., Wahlund, J.-E., Wu, J.-G., 1999. Space weather and interactions with scacecraft : spee final report. 191 p.
- 2000: 1. Solantie, Reijo ja Drebs, Achim, 2000. Kauden 1961 - 1990 lämpöoloista kasvukautena alustan vaikutus huomioiden, 38 s.
2. Pulkkinen, Antti, Viljanen, Ari, Pirjola, Risto, and Bear working group, 2000. Large geomagnetically induced currents in the Finnish high-voltage power system. 99 p.
3. Solantie, R. ja Uusitalo, K., 2000. Patoturvallisuden mitoitussadannat: Suomen suurimpien 1, 5 ja 14 vrk:n piste- ja aluesadantojen analysointi vuodet 1959 - 1998 kattavasta aineistosta. 77 s.
4. Tuomenvirta, Heikki, Uusitalo, Kimmo, Vehviläinen, Bertel, Carter, Timothy, 2000. Ilmastonmuutos, mitoitussadanta ja patoturvallisus: arvio sadannan ja sen ääriarvojen sekä lämpötilan muutoksista Suomessa vuoteen 2100. 65 s.
5. Viljanen, Ari, Pirjola, Risto and Tuomi, Tapio, 2000. Abstracts of the

URSI XXV national convention on radio science. 108 p.

6. Solantie, Reijo ja Drebs, Achim, 2000. Keskimääräinen vuoden ylin ja alin lämpötila Suomessa 1961 - 90. 31 s.
  7. Korhonen, Kimmo, 2000. Geomagneettiset mallit ja IGRF-appletti. 85 s.
- 2001:
1. Koskinen, H., Tanskanen, E., Pirjola, R., Pulkkinen, A., Dyer, C., Rodgers, D., Cannon, P., Mandeville, J.-C. and Boscher, D., 2001. Space weather effects catalogue. 41 p.
  2. Koskinen, H., Tanskanen, E., Pirjola, R., Pulkkinen, A., Dyer, C., Rodgers, D., Cannon, P., Mandeville, J.-C. and Boscher, D., 2001. Rationale for a european space weather programme. 53 p.
  3. Paatero, J., Valkama, I., Makkonen, U., Laurén, M., Salminen, K., Raittila, J. and Viisanen, Y., 2001. Inorganic components of the ground-level air and meteorological parameters at Hytylä, Finland during the BIOFOR project 1998-1999. 48 p.
  4. Solantie, Reijo, Drebs, Achim, 2001. Maps of daily and monthly minimum temperatures in Finland for June, July, and August 1961-1990, considering the effect of the underlying surface. 28 p.
  5. Sahlgren, Vesa, 2001. Tuulikentän alueellisesta vaihtelusta Längelmävesi-Roine -järvialueella. 33 s.
  6. Tammelin, Bengt, Heimo, Alain, Leroy, Michel, Rast, Jacques and Säntti, Kristiina, 2001. Meteorological measurements under icing conditions : EUMETNET SWS II project. 52 p.
- 2002:
1. Solantie, Reijo, Drebs, Achim, Kaukoranta, Juho-Pekka, 2002. Lämpötilojen eri vuodenaikoina ja eri maastotyyppisissä Alajärven Möksyssä. 57 s.
  2. Tammelin, Bengt, Forsius, John, Jylhä, Kirsti, Järvinen, Pekka, Koskela, Jaakko, Tuomenvirta, Heikki, Turunen, Merja A., Vehviläinen, Bertel, Venäläinen, Ari, 2002. Ilmastonmuutoksen vaikutuksia energiantuotantoon ja lämmitysenergian tarpeeseen. 121 s.
- 2003:
1. Vajda, Andrea and Venäläinen, Ari, 2003. Small-scale spatial variation of climate in northern Finland. 34 p.
  2. Solantie, Reijo, 2003. On definition of ecoclimatic zones in Finland. 44 p.
  3. Pulkkinen, T.I., 2003. Chapman conference on physics and modelling of the inner magnetosphere Helsinki, Finland, August 25 -29, 2003. Book of abstracts. 110 p.

4. Pulkkinen, T. I., 2003. Chapman conference on physics and modelling of the inner magnetosphere Helsinki, Finland, August 25 -29, 2003. Conference program. 16 p.
5. Merikallio, Sini, 2003. Available solar energy on the dusty Martian atmosphere and surface. 84 p.
6. Solantie, Reijo, 2003. Regular diurnal temperature variation in the Southern and Middle boreal zones in Finland in relation to the production of sensible heat. 63 p.
- 2004:
1. Solantie, Reijo, Drebs, Achim and Kaukoranta, Juho-Pekka, 2004. Regular diurnal temperature variation in various landtypes in the Möksy experimental field in summer 2002, in relation to the production of sensible heat. 69 p.
  2. Toivanen, Petri, Janhunen, Pekka and Koskinen, Hannu, 2004. Magnetospheric propulsion (eMPii). Final report issue 1.3. 78 p.
  3. Tammelin, Bengt et al., 2004. Improvements of severe weather measurements and sensors – EUMETNET SWS II project. 101 p.
  4. Nevanlinna, Heikki, 2004. Auringon aktiivisuus ja maapallon lämpötilan vaihtelut 1856 - 2003. 43 s.
  5. Ganushkina, Natalia and Pulkkinen, Tuija, 2004. Substorms-7: Proceedings of the 7th International Conference on Substorms. 235 p.
  6. Venäläinen, Ari, Sarkkula, Seppo, Wiljander, Mats, Heikkilä, Jyrki, Ervasto, Erkki, Poussu, Teemu ja Storås, Roger, 2004. Espoon kaupungin talvikunnossapidon säädintekniikka. 17 s.
  7. Paatero, Jussi and Holmen, Kim (eds.), 2004. The First Ny-Ålesund - Pallas-Sodankylä atmospheric research workshop, Pallas, Finland 1 - 3 March 2004 - Extended abstracts. 61 p.
  8. Holopainen, Jari, 2004. Turun varhainen ilmastollinen havaintosarja. 59 s.
- 2005:
1. Ruuhela, Reija, Ruotsalainen, Johanna, Kangas, Markku, Aschan, Carita, Rajamäki, Erkki, Hirvonen, Mikko ja Mannelin, Tarmo, 2005. Kelimallin kehittäminen talvijalankulun turvallisuuden parantamiseksi. 47 s.
  2. Laurila, Tuomas, Lohila, Annalea, Tuovinen, Juha-Pekka, Hatakka, Juha, Aurela, Mika, Thum, Tea, Walden, Jari, Kuronen, Pirjo, Talka, Markus, Pesonen, Risto, Pihlatie, Mari, Rinne, Janne, Vesala, Timo, Ettala, Matti, 2005. Kaatopaikkojen kaasupäästöjen ja haihdunnan mikrometeorologisten mittausmenetelmien kehittäminen (MIKROMETKAA). Tekesin Streams –ohjelman hankkeen loppuraportti. 34 s.

3. Siili, Tero, Huttunen, Emilia, Koskinen, Hannu ja Toivanen, Petri (toim.), 2005. Kymmenes Suomen avaruustutkijoiden kokous (FinCospar) Kokousjulkaisu. 57 s.
  4. Solantie, Reijo and Pirinen, Pentti, 2005. Diurnal temperature variation in inversion situations. 34 s.
  5. Venäläinen, Ari, Tuomenvirta, Heikki, Pirinen, Pentti and Drebs, Achim, 2005. A basic Finnish climate data set 1961 – 2000 – description and illustrations. 24 p.
  6. Tammelin, Bengt, Säntti, Kristiina, Dobech, Hartwig, Durstewich, Michel, Ganander, Hans, Kury, Georg, Laakso, Timo, Peltola, Esa, Ronsten, Göran, 2005. Wind turbines in icing environment: improvement of tools for siting, certification and operation – NEW ICETOOLS. 127 p.
- 2006:
1. Mälkki, Anssi, Kauristie, Kirsti and Viljanen Ari, 2006. Auroras Now! Final Report, Volume I. 73 p.
  2. Pajunpää, K. and Nevanlinna, H. (eds.), 2006. Nurmijärvi Geophysical Observatory : Magnetic results 2003. 47 p.
  3. Pajunpää, K. and Nevanlinna, H. (eds.), 2006. Nurmijärvi Geophysical Observatory : Magnetic results 2004. 47 p.
  4. Pajunpää, K. and Nevanlinna, H. (eds.), 2006. Nurmijärvi Geophysical Observatory : Magnetic results 2005. 49 p.
  5. Viljanen, A. (toim.), 2006. Sähkömagnetiikka 2006. Tiivistelmät – Abstracts. 30 s.
  6. Tuomi, Tapio J. & Mäkelä, Antti, 2006. Salamahavainnot 2006 - Lightning observations in Finland, 2006. 39 p.
  7. Merikallio, Sini, 2006. Preliminary report of the analysis and visualisation software for SMART-1 SPEDE and EPDP instruments. 70 p.
  8. Solantie, Reijo, Pirinen, Pentti, 2006. Orografian huomioiminen loka-huhtikuun sademäärien alueellisissa analyyseissä. 34 s.
  9. Ruosteenoja, Kimmo, Jylhä, Kirsti, Räisänen, Petri, 2006. Climate projections for the Nordic CE project – an analysis of an extended set of global regional climate model runs. 28 p.
  10. Merikallio, Sini, 2006. Analysis and visualisation software for DEMETER Langmuir Probe instrument. 31 p.
- 2007:
1. Solantie, Reijo, Järvenoja, Simo, Pirinen, Pentti, 2007. Keskimääristen kuukauden minimilämpötilojen alueellinen jakauma kautena 1992 – 2005 Suomessa sekä muutos kaudesta 1961 – 1990. 59 s.

2. Pulkkinen, Tuija, Harri, Ari-Matti, Haukka, Harri, Leinonen, Jussi, Toivanen, Petri, Koskinen, Hannu, André, Mats, Balasis, Georgios, Boscher, Daniel, Dandouras, Iannis, Grande, Mael, De Keyser, John, Glassmeier, Karl-Heinz, Hapgood, Mike, Horne, Richard, Ivchenko, Nikolay, Santolik, Ondrej, Torkar, Klaus; Trotignon, Jean Gabriel, Vennerstrøm, Susanne, 2007. Waves and acceleration of relativistic particles (WARP). 36 p.
  3. Harri, A-M., Leinonen, J., Merikallio, S., Paton, M., Haukka, H., Polkko, J., Linkin, V., Lipatov, V., Pichkadze, K., Polyakov, A., Uspensky, M., Vasquez, L., Guerrero, H., Crisp, D., Haberle, R., Calcutt, S., Wilson, C., Taylor, P., Lange, C., Daly, M., Richter, L., Jaumann, R., Pommereau, J-P., Forget, F., Lognonne, Ph., Zarnecki, J., 2007. MetNet – In situ observational network and orbital platform to investigate the Martian environment. 35 p.
  4. Venäläinen, A., Saku, S., Kilpeläinen, T., Jylhä, K., Tuomenvirta, H., Vajda, A., Ruosteenoja, K., Räisänen, J., 2007. Sääni ääri-ilmiöistä, Suomessa. 81 p.
  5. Tuomi, Tapio J. & Mäkelä, Antti, 2007. Salamahavainnot 2007 - Lightning observations in Finland, 2007. 47 p.
  6. Pajunpää, K. and Nevanlinna, H. (eds), 2007. Nurmijärvi Geophysical Observatory: Magnetic results 2006. 49 p.
- 2008
1. Pajunpää, K. and Nevanlinna, H. (eds), 2008. Nurmijärvi Geophysical Observatory: Magnetic results 2007. 49 p.
  2. Verronen, Pekka T. (ed), 2008. 1st international HEPPA workshop 2008, Book of abstracts. 81 p.
  3. Gregow, Hilppa, Venäläinen, Ari, Laine, Mikko, Niinimäki, Niina, Seitola, Teija, Tuomenvirta, Heikki, Jylhä, Kirsti, Tuomi, Tapio ja Mäkelä, Antti, 2008. Vaaraa aiheuttavista sääilmioistä Suomen muuttuvassa ilmastossa. 99 s.
  4. Tuomi, Tapio J. & Mäkelä, Antti, 2008. Salamahavainnot 2008 - Lightning observations in Finland, 2008. 49 p.
- 2009
1. Nevanlinna, Heikki, 2009: Geoomagnetismin ABC-kirja. 204 p.
  2. Nevanlinna, Heikki (toim.), 2009: Ilmatieteen laitos 170 vuotta 1838-2008. 69 p.
  3. Nevanlinna, Heikki, 2009: Revontulihavainnot Suomessa 1748-2009. 88 p.
  4. Jylhä, K., Ruosteenoja K., Räisänen J., Venäläinen A., Tuomenvirta H., Ruokolainen L., Saku S. ja Seitola T., 2009: Arvioita Suomen muuttuvasta ilmastosta sopeutumistutkimuksia varten. ACCLIM-hankkeen raportti 2009. 102 p.

5. Mäkelä, Antti & Tuomi, Tapio J., 2009. Salamahavainnot 2009 - Lightning observations in Finland, 2009. 51 p.
- 2010
1. Rauhala, J., ja Mäntyniemi, P., 2010: Luonnononnettomuuksien vaikutukset ja niihin varautuminen. Valmisteilla / In Preparation.
  2. Pilli-Sihvola, K., Löwendahl, E., Ollikainen, M., Oort, B. van, Rummukainen, M. Tuomenvirta, H., 2010. Survey of the use of climate scenarios and climate change research information in decision making in Finland, Sweden, and Norway : report for the project Climate change adaption in Norway, Sweden, and Finland - do research, policy and practice meet? (CARePol).
  3. Pajunpää, K. and Nevanlinna, H. (eds), 2010. Nurmijärvi Geophysical Observatory : Magnetic results 2009. 48 p.
  4. Luomaranta, A., Haapala, J., Gregow, H., Ruosteenoja, K., Jylhä, K., and Laaksonen, A., 2010: Itämeren jäätipeitteiden muutokset vuoteen 2050 mennessä. Valmisteilla / In Preparation.
  5. Mäkelä, Antti, 2010: Salamahavainnot 2010 - Lightning observations in Finland, 2010. 50 p.
- 2011
1. Saku, Seppo; Solantie, Reijo, Jylhä, Kirsti, Venäläinen, Ari, Valta, Hannu, 2011. Äärilämpötilojen alueellinen vaihtelu Suomessa. 92 p.
  2. Pajunpää, K. and Nevanlinna, H. (eds), 2011. Nurmijärvi Geophysical Observatory : Magnetic results 2010. 49 p.
  3. Virta, Hanna et al., 2011. Ilmastonmuutoksen ääri-ilmiöihin liittyvän riskienhallinnan kustannushyötyanalyysi osana julkista päätöksentekoa (IRTORISKI). 97 s.
  4. Nevanlinna, H. 2011. Magneettiset havainnot Helsingin magneettis-meteorologisessa observatoriossa, 1844-1910. 54 s.
  5. Gregow, Hilppa, Ruosteenoja, Kimmo, Juga, Ilkka, Näsman, Sigbritt, Mäkelä, Miika, Laapas, Mikko, Jylhä, Kirsti, 2011. Lumettoman maan routaolojen mallintaminen ja ennustettavuus muuttuvassa ilmastossa. 45 s.
  6. Jylhä, Kirsti, Kalamees, Targo, Tietäväinen, Hanna, Ruosteenoja, Kimmo, Jokisalo, Juha, Hyvönen, Reijo, Ilomets, Simo, Saku, Seppo, Hutila, Asko, 2011. Rakennusten energialaskennan testivuosi 2012 ja arviot ilmastonmuutoksen vaikutuksista. 110 s.
  7. Mäkelä, Antti, 2011. Salamahavainnot 2011 – Lightning observations in Finland, 2011.
  8. Riihelä, Aku, Lahtinen, Panu, Hakala, Teemu, 2011. Radiation, snow characteristics and albedo at Summit (RASCALS) expedition report. 48 p.

9. Vajda, A. et al., 2011. Probabilities of adverse weather affecting transport in Europe : climatology and scenarios up to the 2050s. 85 p.
10. Lehto, J., Paatero, J., Koivula, R., Solin, O., Ikäheimonen, T.K., Kekki, T. & Lahtinen, M. (toim.), 2011. Marie Curie symposium 8.-9.12.2011 Helsingissä : Tiivistelmät. 75 s.
- 2012
1. Pirinen, P., Simola, H., Aalto, J., Kaukoranta, J-P., Karlsson, P., Ruuhela, R., 2012. Tilastoja Suomen ilmastosta 1981 – 2010, 83 s.
  2. Harri, A-M., Schmidt, W., Romero, P., Vázquez, L., Barderas, G., Kemppinen, O., Aguirre, C., Vázquez-Poletti, J. L., Llorente, I. M., Haukka, H. and Paton, M., 2012, Phobos eclipse detection on Mars : theory and Practice. 35p.
  3. Nevanlinna, H., 2012. Auringon aktiivisuus ja ilmastonmuutos. 41 s.
  4. Pajunpää, K., Häkkinen, L., (eds), 2012. Nurmijärvi Geophysical Observatory : Magnetic results 2011. 51 p.
  5. Mäkelä, A., 2012. Salamahavainnot 2012 – Lightning Observations in Finland, 2012. 59 s.
- 2013
1. Ruosteenoja, K., Jylhä, K., Mäkelä, H., Hyvönen, R., Pirinen, P., Lehtonen, I., 2013. Rakennusfysiikan testivuosien sääaineistot havaitussa ja arviodussa tulevaisuuden ilmastossa: REFI-B-hankkeen tuloksia. 48 s.
  2. Nurmi, V., Votsis, A., Perrels, A., Leppävirta, S., 2013. Cost-benefit analysis of green roofs in urban areas: case study in Helsinki. 58 p.
  3. Lehtonen, I., Venäläinen, A., Ikonen, J., Puttonen, N., Gregow, H., 2013. Some features of winter climate in Northern Fennoscandia. 20 p.
  4. Ruosteenoja, K., Räisänen, J., Jylhä, K., Mäkelä, H., Lehtonen, I., Simola, H., Luomaranta, A., Weiher, S., 2013. Maailmanlaajuisiin CMIP3-malleihin perustuvia arvioita Suomen tulevasta ilmastosta.
  5. Mäkelä, A., 2013. Salamahavainnot 2013 – Lightning Observations in Finland, 2013. 47 s.
- 2014
1. Mäkelä, A., ja Laurila, T., 2015. Salamahavainnot 2014 – Lightning Observations in Finland, 2014. 47 s.

Ilmatieteen laitos  
Erik Palménin aukio 1, Helsinki  
tel. 029 539 1000  
[www.ilmatieteenlaitos.fi](http://www.ilmatieteenlaitos.fi)

ISBN 987-951-697-856-0  
ISSN 0782-6079 (Raportteja – Rapporter – Reports)  
ISSN 1235-1466 (Salamahavainnot –  
Lightning Observations in Finland)  
Unigrafia  
Helsinki 2015